

TUGAS AKHIR

**OTOMATIS LAMPU DAN BELL DENGAN Pendetksi ORANG DALAM
RUANGAN PERKULIAHAN BERBASIS MIKROKONTROLER AT 89S51**



Disusun Oleh :

**AHMAD FAJAR WIJAYA
08.52.002**

**PROGRAM STUDI TEKNIK LISTRIK D-III
FAKULTAS TEKNOLOGI INDUSTRI
INSTITUT TEKNOLOGI NASIONAL MALANG
2011**

LEMBAR PERSETUJUAN

Otomatisasi Lampu Dan Bell Dengan Pendeksi Orang Dalam Ruangan

Perkuliahian Berbasis Mikrokontroler At 89s51

TUGAS AKHIR

Disusun dan diajukan sebagai salah satu syarat untuk memperoleh

Gelar Diploma III Teknik Listrik

Disusun Oleh :

AHMAD FAJAR WIJAYA

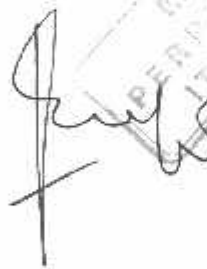
Nim : 08.52.002

Mengetahui
Ketua Program Studi
Teknik Elektro D-III



Ir. H. Taufik Hidayat, MT
NIP.Y 1018700151

Diperiksa dan Disetujui.
Dosen Pembimbing



Ir. Eko Nurcahyo
NIP.Y 1028700172

PROGRAM STUDI TEKNIK LISTRIK D-III
FAKULTAS TEKNOLOGI INDUSTRI
INSTITUT TEKNOLOGI NASIONAL MALANG
2011

LEMBAR PENGESAHAN



Otomatis Lampu Dan Bell Dengan Pendeksi Orang Dalam Ruangan

Perkuliahan Berbasis Mikrokontroler At 89s51

Disusun Oleh :

AHMAD FAJAR WIJAYA
Nim : 08.52.002

Telah dipertahankan di hadapan Majelis Penguji Tugas Akhir Jenjang Program

Diploma Tiga (DIII)

Dosen Penguji I

Dosen Penguji II

A handwritten signature in black ink, appearing to read "Bambang Prio Hartono".

Bambang Prio Hartono, ST, MT
NIP.Y. 1028400082

A handwritten signature in black ink, appearing to read "Yoseph deddy irawan".

Yoseph deddy irawan,ST,MT
NIP.132315178



PT. BNI (PERSERO) MALANG
BANK NTAGA MALANG

PERKUMPULAN PENGELOLA PENDIDIKAN UMUM DAN TEKNOLOGI NASIONAL MALANG
INSTITUT TEKNOLOGI NASIONAL MALANG

FAKULTAS TEKNOLOGI INDUSTRI
FAKULTAS TEKNIK SIPIL DAN PERENCANAAN
PROGRAM PASCASARJANA MAGISTER TEKNIK

Kampus I : Jl. Bendungan Sigura-gura No. 2 Telp. (0341) 551431 (Hunting), Fax. (0341) 553015 Malang 65145
Kampus II : Jl. Raya Karanglo, Km 2 Telp. (0341) 417636 Fax. (0341) 417634 Malang

BERITA ACARA UJIAN TUGAS AKHIR
FAKULTAS TEKNOLOGI INDUSTRI

N a m a : AHMAD FAJAR WIJAYA

N I M : 08.52.002

JURUSAN : TEKNIK LISTRIK D III

JUDUL TUGAS AKHIR : OTOMATISASI LAMPU DAN BELL DENGAN PENDETEKSI
ORANG DALAM RUANG PERKULIAHAN BERBASIS
MIKROKONTROLLER AT 89S51

Dipertahankan di hadapan Tim Penguji Tugas Akhir Jenjang Program Diploma Tiga (DIII), pada :

Hari/Tanggal : 18 -08-2011

Dengan nilai : 77,92 (B+)

Panitia Ujian Tugas Akhir

Ketua

Ir. H. Taufik Hidayat, MT
NIP.Y 1018700151

Sekretaris

Bambang Prio Hartono, ST, MT
NIP.Y. 1028400082

Anggota Penguji

Bambang Prio Hartono, ST, MT
NIP.Y. 1028400082

Yoseph deddy irawan,ST,MT
NIP. 132315178

KATA PENGANTAR

بِسْمِ اللَّهِ الرَّحْمَنِ الرَّحِيمِ

Puji syukur penulis panjatkan kehadirat Tuhan Yang Maha Esa karena atas rahmat dan hidayah Nya sehingga penulis dapat menyelesaikan penyusunan Tugas Akhir ini dengan baik.

Penyusunan Laporan Tugas Akhir ini merupakan salah satu kewajiban dimaksudkan sebagai sarana dalam menyelesaikan program studi Diploma III Institut Teknologi Nasional Malang Jurusan Teknik Listrik.

Laporan ini dapat terselesaikan atas bantuan dari berbagai pihak, untuk itu perkenanakan penulis menyampaikan rasa terima kasih yang sebesar besarnya kepada :

1. Bapak Ir. H. Taufik Hidayat, selaku Kajur DIII Teknik Listrik
2. Bapak Ir. Eko Nurcahyo selaku dosen pembimbing yang telah memberikan bimbingan, motivasi dan masukan kepada penulis dalam menyelesaikan laporan tugas akhir.
3. Bapak atau Ibu dosen Pengajar yang telah memberikan ilmu pelajaran kepada penulis di Institut Teknologi Nasional Malang.
4. Reekan-rekan semua pihak yang telah membantu dalam menyelesaikan Laporan Tugas Akhir ini.

Dalam penyusunan laporan ini penulis menyadari masih banyak kekurangan dan kelemahan serta jauh dari kesempurnaan oleh karena itu penulis mengharap saran dan kritik demi kesempurnaan Laporan Tugas Akhir ini .

Akhir kata semoga Laporan Tugas Akhir ini dapat bermanfaat bagi penulis pada khususnya dan pembaca pada umumnya.

ABSTRAK

OTOMATISASI LAMPU DAN BELL DENGAN PENDETEKSI ORANG DALAM RUANGAN PERKULIAHAN BERBASIS MIKROKONTROLER AT 89S51 .

Ahmad Fajar Wijaya 0852002. Dosen pembimbing Ir. Eko Nurcahyo , Tugas Akhir.Teknik listrik ITN MALANG.

Tugas akhir ini bertujuan untuk membuat alat pengontrol lampu dan bell dengan penghitung orang secara otomatis dalam ruang perkuliahan peralatan yang dikontrol meliputi relay sebagai pengontrol lampu, buzzer untuk tanda bell sebagai peringatan proses pengajaran telah selesai pendeteksiaan dalam ruangan di tampilkan seven segmen (common anoda).

Alat ini menggunakan sensor cahaya sebagai pedeteksi jumlah orang, rangkaianya terdiri dari sensor cahaya menggunakan laser (spetrum cahaya) , Photodioda digunakan sebagai penangkap gelombang cahaya yang dipancarkan oleh laser (spetrum cahaya) dan LM 311(comparator) sebagai driver sensor kesemuanya ada 2 sensor dimana sensor dipintu masuk dan sensor pintu keluar, rangkaian sensor bekerja apabila cahaya sensor dipintu masuk terhalang orang dan kemudian sensor dipintu keluar terhalang juga maka sensor akan memberikan inputan yang terhalang berlogika high namun keadaannya masih (float) mengambang untuk sensor dipintu keluar kebalikan dari sensor pada saat masuk, sensor dipintu keluar digunakan program counter down proses pengolahan pengurangan jumlah orang .

RTC digunakan sebagai pengatur jam pengajaran waktu dalam ruangan yang sudah ditentukan sedangkan kinerja relay untuk menghidupkan dan mematikan lampu berdasar pendeteksian orang saat masuk pertama kali kedua transistor guna menghidupkan lampu dan saat terdeteksi tidak ada orang didalam ruangan perkuliahan maka relay akan mematikan tegangan ac sebagai sumber tegangan lampu sehingga lampu akan padam kesemuanya kendalinya dikontrol oleh Mikrokontroller AT 89S51.

Kata Kunci : Relay,lampu,RTC,buzzer,seven segmen dan MK AT 89S51.

DAFTAR ISI

LEMBAR JUDUL TUGAS AKHIR

LEMBAR PERSETUJUAN DAN PENGESAHAN TUGAS AKHIR

LEMBAR PENGUJI TUGAS AKHIR

LEMBAR KONSULTASI TUGAS AKHIR

KATA PENGANTAR i

ABSTRAKSI ii

DAFTAR ISI iii

DAFTAR TABEL vii

DAFTAR GAMBAR viii

BAB I PENDAHULUAN

1.1. Latar Belakang	1
1.2. Rumusan Masalah	2
1.3. Tujuan	2
1.4. Batasan Masalah	3
1.5. Metodologi	4
1.6. Sistematika Pembahasan	5

BAB II LANDASAN TEORI

2.1. Mikrokontroler AT89S51.....	7
2.1.1. Fitur-fitur AT89S51	7
2.1.2. Konfigurasi Pin AT89S51	9
2.2. RTC (Real Time Clock)	12

2.3. Komparator LM311.....	13
2.4. Relay	14
2.5. buzzer	16
2.6. Lampu.....	16
2.7. Dioda	18
2.7.1 Karakteristik Arus pada Dioda.....	20
2.8. Photodioda.....	21
2.9. laser	23
2.10. 7-segment	25
2.11. Display LCD Character 2x16.....	29
2.12. Keypad	29
2.13. Transistor.....	30
2.13.1 Transistor NPN.....	32
2.13.2 Transistor PNP	34

BAB III PERENCANAAN DAN PEMBUATAN ALAT

3.1. Diagram Blok Rangkaian	36
3.2. Perencanaan hardware.....	40
3.2.1 Sensor Cahaya	41
3.3.2 Hardware AT89S51.....	43
3.3.2.1 Perencanaan Rangkaian clock.....	43
3.3.2. 2 Perencanaan Rangkaian Reset Mikrokontroler.....	43
3.3. 3 Perancangan Rangkaian 7-segment.....	44
3.3. 4 Perancangan Rangkaian <i>Driver</i> relay lampu.....	44
3.3. 5 Perancangan Rangkaian <i>Driver</i> buzzer.....	44
3.3. 6 Perancangan Rangkaian <i>Real Time Clock</i> (RTC).....	46

3.3. 7 Perancangan Rangkaian LCD.....	44
3.3. 8 Perancangan Rangkaian Catu Daya.....	44
3.3. 9 Pinsip kerja Rangkaian alat keseluruhan.....	44
3.3. 9 Flow Chart Rangkaian alat	44

BAB IV PERENCANAAN DAN PEMBUATAN ALAT

4.1. Pengujian Alat Per Blok Rangkaian.....	60
4.2. Pengujian Sensor Cahaya	60
4.2.1 Tujuan.....	60
4.2.2 Perencanaan Yang Digunakan.....	60
4.2.3 Langka Pengujian.....	61
4.2.4 hasil pengukuran rangkaian sensor.....	62
4.3. Pengujian mikrokontroler AT 89S51	62
4.3.1 Tujuan.....	62
4.3.2 Prosedur Pengujian.....	62
4.3.3 Hasil Pengujian.....	64
4.3.4 Analisa hasil pengujian	64
4.3. Pengujian Tampilan Seven Segment.....	64
4.3.1 Tujuan.....	64
4.3.2 Peralataan.....	64
4.3.3 Langka Pengujian	65
4.3.4 Hasil Pengukuran	64
4.3.5 Analisa hasil Pengukuran	65
4.5. Pengujian Relay sebagai pengontrol lampu	67
4.5.1 Tujuan.....	67

4.5.2 Peralataan	68
4.5.3 Langka Pengujian	68
4.5.4 Hasil Langka Pengujian	69
4.5.5 Analisa hasil Pengukuran	69
4.6. Pengujian Buzzer.....	70
4.6.1 Tujuan.....	70
4.6.2 Peralataan.....	70
4.6.3 Prosedur Pengujian	70
4.6.4 Hasil Pengujian	70
4.7. Pengujian LCD.....	71
4.8. Pengujian Catu Daya	72
4. 8.1 Tujuan.....	72
4. 8.2 Peralataan.....	72
4. 8.3 Langka Pengujian	72
4. 8.4 Pengukuran	73
4. 8.5 Analisa hasil Pengujian	74
4.9. Pengujian Alat Keseluruhan.....	74
4.10 . Spesifikasi Alat	76

BAB V PENUTUP

5.1. Kesimpulan	78
5.2. Saran-saran	79

DAFTAR TABEL

TABEL 2 1. Fungsi khusus <i>Port 3</i>	10
TABEL 2 – 2. Fungsi Pin LCD character 2x16	27
TABEL 3 – 1. Pemasangan pin-pin pada mikrokontroler AT89S52	40
TABEL 4 – 1 Hasil Pengujian sensor cahaya	42
TABEL 4 – 2 Hasil Pengujian sistem mikrokontroler	59
TABEL 4 – 3 Perbandingan hasil pengukuran dan perhitungan driver transistor	65
TABEL 4 – 4 Hasil Pengujian Tampilan 7-segment...	59
TABEL 4 – 5 Perbandingan nilai aru dan tegangan pada transistor relay	69
TABEL 4 – 6 Pengujian rangkaian buzzer.....	70
TABEL 4 – 7 Perbandingan hasil pengukuran dan perhitungan pada catu daya	73

DAFTAR GAMBAR

GAMBAR 2 – 1. Blok Diagram AT89S52	8
GAMBAR 2 – 2. Konfigurasi Pin IC AT89S52	9
GAMBAR 2 – 3. RTC DS 1307	12
GAMBAR 2 – 4. IC LM 311	14
GAMBAR 2 – 5 Simbol dan bentuk fisik relay	15
GAMBAR 2 – 6 Bentuk buzzer	16
GAMBAR 2 – 7 Bentuk Lampu	18
GAMBAR 2 – 8 Kurva Karakteristik forward V-I dioda	20
GAMBAR 2 – 9 Dioda	21
GAMBAR 2 – 10 Photodioda	23
GAMBAR 2 – 11 Spectrum cahaya	25
GAMBAR 2 – 12 LASER	21
GAMBAR 2 – 13 (a) Tampilan fisik LED	26
(a) Skema dalam LED	26
GAMBAR 2 – 14 LCD character 2x16	28
GAMBAR 2 – 15 Peta memory LCD character 2x16	28
GAMBAR 2 – 16 konstruksi keypad 4X4	30

GAMBAR 2 – 17 simbol transistor dari berbagai tipe.....	31
GAMBAR 2 – 18 Struktur dan sinyal dari transistor NPN.....	32
GAMBAR 2 – 19 Rangkaian Common Emitter Input AC	33
GAMBAR 2 – 20 Karakteristik Common Transistor	33
GAMBAR 2 – 21 Struktur Dan Sinyal Dari Transistor PNP.....	33
GAMBAR 2 – 22 Rangkaian Common Base Transistor	34
GAMBAR 2 – 22 Karakteristik Kurva Common Base	34
GAMBAR 3 – 1. Blok Diagram alat.....	36
GAMBAR 3 – 2. Pemancar cahaya laser	38
GAMBAR 3 – 3 rangkaian perhitungan	40
GAMBAR 3 – 4 rangkaian sensor cahaya	41
GAMBAR 3 – 5 Rangkaian Clock Untuk MCU AT89S51	42
GAMBAR 3 – 6 Perencanaan rangkaian reset mikrokontroler.....	44
GAMBAR 3 – 7 Rangkaian Mikrokontroller AT89S51	46
GAMBAR 3 – 8 Perancangan Rangkaian Driver 7-segment.....	48
GAMBAR 3 – 9 Perancangan Rangkaian Relay	51
GAMBAR 3 – 10 Perancangan Rangkaian Driver buzzer.....	53
GAMBAR 3 – 11 Perancangan Rangkaian RTC	54

GAMBAR 3 – 12 Perancangan Rangkaian LCD	54
GAMBAR 3 – 13 Perangkaian Rancangan Catu Daya.....	55
GAMBAR 3 – 14 Skema Rangkaian Keseluruhan	55
GAMBAR 3 – 15 Flow Chart	59
GAMBAR 4 – 1 Pengukuran Tegangan saat Photodioda tidak terkena <i>LASER</i>	61
GAMBAR 4 – 2. Pengukuran Tegangan saat Photodioda terkena <i>LASER</i>	61
GAMBAR 4 – 3 Diagram Blok Pengujian Mikrokontroler	62
GAMBAR 4 – 4 Foto Arus basis pada transistor 9012.....	65
GAMBAR 4 – 5 Foto Tegangan 7-segment waktu menyala	65
GAMBAR 4 – 6 Foto Pengukuran Arus basis (Ib) pada transistor 9012.....	68
GAMBAR 4 – 7 Foto Arus basis pada Transistor 9013	68
GAMBAR 4 – 8 Foto pengukuran Relay saat aktif.....	69
GAMBAR 4 – 9 Diagram pengujian driver buzzer	70
GAMBAR 4 – 10 Pengujian driver buzzer	71
GAMBAR 4 – 11 Pengujian LCD	72
GAMBAR 4 - 12 Pengukuran Tegangan Regulator	73
GAMBAR 4 – 13 Pengukuran Arus Total Input.....	73

GAMBAR 4 – 14 Kondisi alat saat Counter Up.....	75
GAMBAR 4 – 15 Kondisi alat saat Counter Down.....	75
GAMBAR 4 – 16 Kondisi Alat Saat Aktif dan Non Aktif	76



BAB I

PENDAHULUAN

1.1 LATAR BELAKANG

Perkembangan IPTEK dewasa ini sangat pesat dan maju disegala bidang salah satunya adalah dibidang kelistrikan hal ini sangat membantu dan mendorong manusia untuk menciptakan suatu hal yang sesuai kebutuhan, tuntutan tersebut sesuai dengan aktifitas manusia sehari - hari dengan demikian manusia berusaha merancang, membuat peralatan yang serba praktis, nyaman dan aman.

Pada umumnya lampu di dalam suatu ruangan masih menggunakan saklar analog, Banyaknya aktifitas yang dilakukan di dalam ruangan sehingga seorang yang masuk atau keluar ruangan harus menyalakan dan mematikan lampu secara manual satu persatu semua gedung di beberapa ruangan perkuliahan, Untuk mencegah terjadinya hal tersebut salah satu solusinya adalah dengan menciptakan sistem pengendali instalasi listrik dan bell yang dapat berkerja pada waktu ruangan terpakai saja.

Pada dasar adanya rangkaian pengontrol perangkat listrik, seorang dalam ruangan perkuliahan dapat mengontrol lampu dengan menyala dan mati lampu secara otomatis dan mengetahui jumlah dalam ruang tersebut sesuai dengan kebutuhan dan dapat mewaktu berapa lama pengajaran berlangsung.

Mikrokontroller AT 89S51 merupakan salah satu alat kontrol otomatis yang digunakan sebagai alat pengendali . Dalam hal ini dapat digunakan dalam dalam pengendalian instalasi listrik pada semuah gedung perkuliahan.. Sistem pengendali instalasi listrik ruangan perkuliahan menggunakan Mikrokontroler berguna untuk mengatur instalasi listrik ruangan perkulian pada mati hidup,

lampu dan bell dengan pendekksi orang pengendali ini berfungsi untuk pengontrolan secara otomatis guna meringankan kerja manusia dalam suatu gedung.

Proses otomatisasi tersebut dikontrol menggunakan pemrograman mikrokontroler sehingga dapat mengerakan relay dan mengontrol lampu, menghitung jumlah orang dalam ruangan dengan tampilan seven segmen juga membunyikan buzzer untuk tanda waktu perkuliahan sudah selesai pada alat yang digunakan.

1.2 Rumusan Masalah

Dalam pembuatan alat "Otomatisasi Lampu Dan Bell Dengan Pendekksi Orang Dalam Ruangan Perkuliahan Berbasis Mikrokontroler AT 89S51" rumusan masalah ditekankan pada:

1. Bagaimana cara mengatur waktu proses pengajaran sesuai pada waktunya.
2. Bagaimana membuat atau merancang rangkaian alat sensor sebagai pendekksi orang dalam ruang perkuliahan .
3. Bagaimana mengaplikasikan mikrokontroler AT 89S51 sebagai pengolah data yang digunakan sebagai pengontrol lampu, bell dan tampilan jumlah orang didalam ruangan perkuliahan .

1.3 Tujuan

Tujuan dilakukan Tugas Akhir ini adalah sebagai berikut:

1. Memanfaatkan mikrokontroller sebagai alat pengontrol lampu dan pcwaktu perkuliahan.
2. Memanfaatkan sensor cahaya sebagai pendekksi gerak seseorang yang akan memasuki ruangan ataupun sebaliknya.
3. Menyalakan lampu secara otomatis dan mewaktu pengajaran dengan menggunakan bell juga mencatat orang yang ada dalam ruang perkuliahan.

1.4 Batasan Masalah

Pada tugas akhir ini sebagai batasan masalah yang akan dibahas adalah sebagai berikut :

- a. Bahwa sensor cahaya menggunakan photodioda untuk pembandingan orang yang masuk maupun keluar memakai comparator type lm 311.
- b. Penggunaan RTC pada mikrokontroller untuk dapat meproses waktu pengajaran yang sedang berlangsung dengan buzzer tanda bell.
- c. Pengotrolan lampu mcnggunakan relay driver dengan transistor type NPN9013 dan PNP 9012.
- d. Penghitungan orang dalam ruangan dengan tampilan seven segmen.
- e. Pintu ruangan hanya di batasi satu persatu orang saja yang masuk maupun keluar agar sensor dapat bekerja efektif.
- f. Tidak membahas adanya pendektsian selain manusia yang masuk dan keluar dalam ruangan.

1.5 Metodologi

Untuk mencapai tujuan di atas maka ditempuh langkah – langkah sebagai berikut :

1. Penentuan dan Pencarian

Mengumpulkan dan mempelajari literatur sehubungan dengan permasalahan yang dihadapi, seperti mikrokontroler, relay dan peralatan pendukung lainnya.

2. Studi Literatur Tentang Teori Penunjang Tugas Akhir

Mempelajari secara teoritis dan praktis tentang Driver relay, relay, Driver segmen dan buzzer pemrograman mikrokontroler, serta alat penunjang lain.

3. Perancangan Sistem

Melakukan perancangan sistem Tugas Akhir secara umum, yaitu mehidupkan dan mematikan lampu pada ruangan juga membunyikan buzzer sebagai alarm dengan deteksi orang yang ada diruangan.

4. Pembuatan Alat

Membuat Tugas Akhir bagian per bagian dimulai dari rangkaian penunjang sampai rangkaian utama.

5. Pengujian Alat.

Melakukan pengujian dan analisa terhadap hasil program untuk menggerakkan masing-masing driver pada alat control yang sudah dibuat.

6. Penyempurnaan Alat

Perbaikan terhadap kerusakan dan penyempurnaan dari sistem yang dibuat agar sesuai dengan harapan.

7. Penyusunan Buku

Menyimpulkan hasil perencanaan dan pembuatan serta penyempurnaan alat agar dengan hasil pengujian, sehingga tersusunlah buku laporan Tugas Akhir.

1.7 SISTEMATIKA PEMBAHASAN

Setelah dilakukan proses pelaksanaan dan pembuatan alat pada Tugas Akhir ini, mulai dari studi literatur, pembuatan, perencanaan, pembuatan, pengujian, dan perbaikan, secara analisa dan hasil-hasil yang didapat, maka untuk pembahasan selengkapnya diwujudkan dalam bentuk buku laporan Tugas Akhir ini dengan sistematika sebagai berikut:

BAB I : PENDAHULUAN

Pada bab ini membahas pendahuluan yang terdiri dari latar belakang, tujuan, rumusan masalah, batasan masalah, tinjauan pustaka, dan sistematika pembahasan.

BAB II : LANDASAN TEORI

Berisi teori dasar yang relevan sesuai dengan permasalahan yang akan dibahas dalam penulisan dan peralatan yang digunakan

BAB III : PERENCANAAN DAN PEMBUATAN ALAT

Bab ini membuat tentang perencanaan mekanik alat, pembuatan alat, skema rangkaian urutan perencanaan alat atau instrument yang digunakan, pengujian atau pengukuran rangkaian dan diagram alir.

BAB IV : PENGUJIAN DAN ANALISA

Pada bab ini memuat uraian pembahasan tentang hasil pengujian yang telah dibuat serta diikuti pengukuran data.

BAB V : PENUTUP

Berisi tentang kesimpulan dan saran.



INSTITUT TEKNOLOGI NASIONAL MALANG

BAB II

LANDASAN TEORI

2.1 Mikrokontroller AT89S51

Mikrokontroller, sesuai dengan namanya adalah suatu alat atau komponen pengontrol atau pengendali yang berukuran kecil (mikro). Mikrokontroller lebih unggul dibandingkan dengan mikroprosesor, hal ini disebabkan karena :

- Tersedia I/O

I/O dalam mikrokontroller sudah tersedia, bahkan untuk AT89S51 ada 32 jalur I/O, sementara pada mikroprosesor dibutuhkan IC tambahan untuk menangani I/O.

- Memori internal

Memori merupakan media untuk menyimpan program dan data sehingga mutlak harus ada. Mikroprosesor belum memiliki memori internal sehingga memerlukan IC memori internal.

(Pemrograman Mikrokontroller AT89S51)

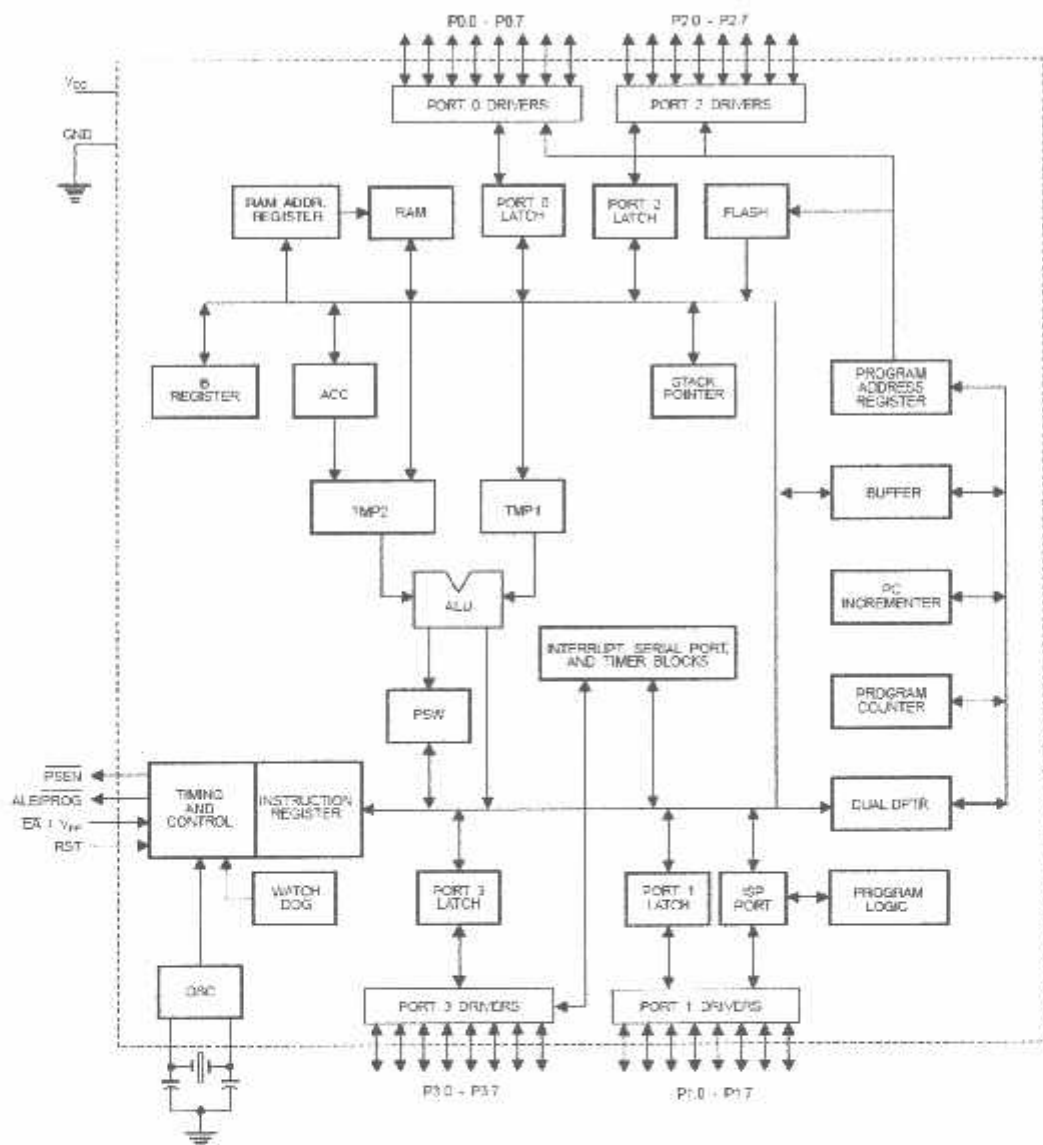
2.1.1 Fitur-fitur AT89S51

Mikrokontroller AT89S51 merupakan produk ATMEL yang memiliki fitur-fitur sebagai berikut :

1. Kompatibel dengan MCS-51
2. 4 kbyte memori program yang dapat ditulis hingga 1000 kali
3. 0 kecepatan clock -33 MHz
4. 128 byte memori RAM internal
5. 32 jalur input – output (4 buah port parallel I/O)
6. 2 data pointer

7. ISP (In System Programmable) Flash memori

8. Port serial full-duplex



Gambar 2.1 Blok Diagram AT89S51

(Sumber : www.atmel.com)

2.1.2 Konfigurasi Pin AT89S51

P1.0	1	40	VCC
P1.1	2	39	P0.0 (AD0)
P1.2	3	38	P0.1 (AD1)
P1.3	4	37	P0.2 (AD2)
P1.4	5	36	P0.3 (AD3)
(MOS) P1.5	6	35	P0.4 (AD4)
(MISO) P1.6	7	34	P0.5 (AD5)
(SCK) P1.7	8	33	P0.6 (AD6)
RST	9	32	P0.7 (AD7)
(RXD) P3.0	10	31	EA/VPP
(TXD) P3.1	11	30	ALE/PROG
(INT0) P3.2	12	29	PSEN
(INT1) P3.3	13	28	P2.7 (A15)
(T0) P3.4	14	27	P2.6 (A14)
(T1) P3.5	15	26	P2.5 (A13)
(WR) P3.6	16	25	P2.4 (A12)
(RD) P3.7	17	24	P2.3 (A11)
XTAL2	18	23	P2.2 (A10)
XTAL1	19	22	P2.1 (A9)
GND	20	21	P2.0 (A8)

Gambar 2.2 Konfigurasi Pin IC AT89S51
(Sumber : www.atmel.com)

Mikrokontroller AT89S51 memiliki pin berjumlah 40 dan umumnya dikemas dalam DIP (*Dual Line Package*). Masing-masing pin mikrokontroller AT89S51 mempunyai kegunaan sebagai berikut :

a. Port 1

Merupakan salah satu port yang berfungsi sebagai *general purpose I/O* dengan lebar 8 bit. Sedangkan untuk fungsi lainnya , port 1 tidak memiliki.

b. RST

Pin ini berfungsi sebagai input untuk melakukan reset terhadap mikro dan jika RST bernilai high selama minimal 2 *machine cycle*, maka nilai internal register akan kembali seperti awal mula bekerja.

c. Port 3

Merupakan port yang terdiri dari 8 bit masukan dan keluaran. Di samping berfungsi sebagai masukan dan keluaran, port 3 juga mempunyai fungsi khusus lainnya.

Port/Pin	Fungsi Alternatif
P3.0	RXD (port serial input)
P3.1	TXD (port serial output)
P3.2	INT0 (interupsi eksternal 0)
P3.3	INT1 (interupsi eksternal 1)
P3.4	T0 (input eksternal timer 0)
P3.5	T1 (input eksternal timer 1)
P3.6	WR (write strobe memori data eksternal)
P3.7	WR (read strobe memori program eksternal)

Tabel 2.1. Fungsi khusus Port 3
(Sumber : www.ATMEL.com)

d. XTAL 1 dan XTAL 2

Merupakan pin inputan untuk kristal osilator

e. GND

Pada kaki berfungsi sebagai pentahanan (ground)

f. Port 2

Merupakan salah satu port yang berfungsi sebagai *general purpose I/O* dengan lebar 8 bit. Fungsi lainnya adalah sebagai *high byte adres bus* (pada penggunaan memori eksternal).

g. PSEN

PSEN (*program Store Enable*) adalah pulsa pengaktif untuk membaca program memori luar.

h. ALE

Berfungsi untuk *demultiplexer* pada saat port 0 bekerja sebagai *multiplexed address/data bus* (pengaksesan memori eksternal). Pada paruh pertama memory cycle, pin ALE mengeluarkan signal latch yang menahan alamat ke eksternal register. Pada paruh kedua memory cycle, port 0 akan digunakan sebagai data bus. Jadi fungsi utama dari ALE adalah memberikan signal ke IC latch (bisa 74HCT573) agar menahan/menyimpan address dari port 0 yang menuju memori eksternal (address 0-7) dan selanjutnya memori eksternal akan mengeluarkan data yang melalui port 0 juga.

i. EA

EA (*External Access*) harus dihubungkan dengan ground jika menggunakan program memori luar. Jika menggunakan program memori internal maka EA dihubungkan dengan VCC. Dalam keadaan ini mikrokontroller bekerja secara *single chip*.

j. Port 0

Merupakan salah satu port yang berfungsi sebagai *general purpose I/O* (dapat digunakan sebagai masukan dan juga sebagai kluaran) dengan lebar 8 bit. Fungsi lainnya adalah sebagai *multiplexed address/data bus* (pada saat mengakses memori eksternal).

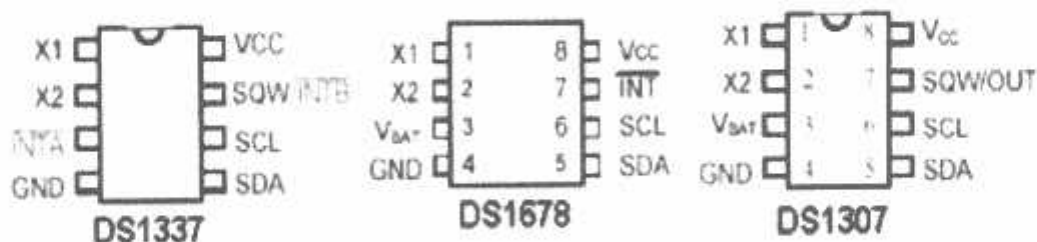
k. VCC

Pada kaki ini bersfungsi sebagai tempat sumber tegangan sebesar +5 Volt.

2.2 REAL TIME CLOCK

Real Time Clock disingkat RTC merupakan suatu chip (IC) yang memiliki fungsi sebagai penyimpan waktu dan tanggal. IC RTC yaitu DS1307 yang memiliki register yg dapat menyimpan data detik, menit, jam, tanggal, bulan dan tahun. sirkuit terpadu yang berfungsi sebagai pemelihara waktu. RTC umumnya memiliki catu daya terpisah dari catu daya. Kebanyakan RTC menggunakan oskulator kristal.

Real Time Clock berhubungan dengan waktu mulai dari detik, menit, jam, hari, tanggal, bulan dan tahun. Untuk hitungan detik, menit, jam, hari, tanggal, bulan dan tahun dengan tahun kabisat yang *valid* sampai 2100 karena *compensation valid up to 2100*. Mode yang dipilih juga bisa *12 or 24 hour clock with AM dan PM in 12 hour mode*.



Gambar 2.3 RTC DS 1307

(Sumber : <http://www.maxim-ic.com>)

2.3 Komparator LM 311

LM111, LM211 dan LM311 adalah komparator tegangan yang memiliki arus masukan hampir seribu kali lebih rendah daripada perangkat seperti LM106 atau LM710. Mereka juga dirancang untuk beroperasi atas berbagai suplai tegangan yang lebih luas: dari standar $\pm 15V$ op amp pasokan ke suplai 5V tunggal yang digunakan untuk logika IC.

Output mereka kompatibel dengan RTL, DTL dan TTL serta sirkuit MOS. Selanjutnya, mereka dapat mendorong lampu atau relay, beralih tegangan hingga 50V pada arus setinggi 50 mA. Baik input dan output dari LM111, LM211 atau LM311 dapat diisolasi dari tanah sistem, dan output dapat mendorong beban disebut tanah, pasokan positif atau pasokan negatif , LM311 memiliki kisaran suhu 0°C sampai $+70^{\circ}\text{C}$

Rangkaian komparator dengan IC LM 311 yang merupakan suatu komparator. Cara kerjanya adalah : jika tegangan pada input $V_{in} (-) = V_{ref} (+)$ maka switch didalam LM 311 akan close (ke ground) sehingga V_o LM 311 = 0 volt , jika kondisi inputnya $V_{in} (-) > V_{ref} (+)$ maka switch akan open maka berlogic 1 dengan nilai tegangan $V_o = 5$ volt.

Komparator digunakan untuk membandingkan dua buah isyarat masukan yaitu tegangan masukan dan tegangan acuan yang dapat *diset*. Ada tiga kemungkinan yang akan terjadi. Tegangan masukan lebih kecil dari tegangan acuan. Penguatannya dianggap tak terhingga karena tanpa *loop* umpan balik sebuah penguat *operasional ideal* mempunyai penguat yang tak terhingga, sehingga :

$$V_{out} = (V_{ref} + V_{in}) \times A$$

$$V_{out} = (V_{ref} + V_{in}) \times \infty$$



Gambar 2.4 IC LM 311
(Sumber : <http://www.national.com>)

2.4 Relay

Relay adalah saklar elektronik yang dapat membuka atau menutup rangkaian dengan menggunakan kontrol dari rangkaian elektronik lain. Sebuah relay tersusun atas kumparan, pegas, saklar (terhubung pada pegas) dan 2 kontak elektronik (normally close dan normally open).

- Normally close (NC) : saklar terhubung dengan kontak ini saat relay tidak aktif atau dapat dikatakan saklar dalam kondisi terbuka.
- Normally open (NO) : saklar terhubung dengan kontak ini saat relay aktif atau dapat dikatakan saklar dalam kondisi tertutup.

Berdasarkan pada prinsip dasar cara kerjanya, relay dapat bekerja karena adanya medan magnet yang digunakan untuk menggerakkan saklar. Saat kumparan diberikan tegangan sebesar tegangan kerja relay maka akan timbul medan magnet pada kumparan karena adanya arus yang mengalir pada lilitan kawat. Kumparan yang bersifat sebagai elektromagnet ini kemudian akan menarik saklar dari kontak NC ke kontak NO. Jika tegangan pada kumparan dimatikan maka medan magnet pada kumparan akan hilang sehingga pegas akan menarik saklar ke kontak NC.

Relay mempunyai beberapa tipe, antara lain :

SPST (*Single Pole Single Throw*)

SPDT (*Single Pole Double Throw*)

DPST (*Double Pole Single Throw*)

DPDT (*Double Pole Double Throw*)

Relay dibedakan menjadi dua jenis menurut tegangan sumber yang digunakan untuk mengaktifkan koilnya, yaitu :

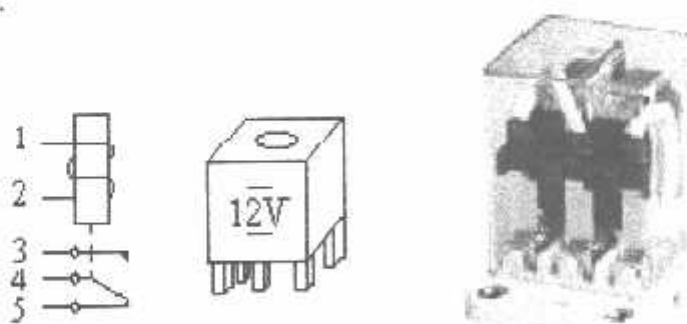
Relay dengan koil AC (*Alternating Current*)

Relay dengan koil DC (*Direct Current*)

Pada umumnya relay banyak digunakan untuk :

- Mengontrol rangkaian tegangan tinggi dengan sinyal tegangan input yang kecil
- Mengontrol rangkaian yang mempunyai arus besar dengan sinyal arus input yang kecil
- Mendeteksi dan mengisolasi jaringan pengiriman dan pendistribusian dengan cara mematikan dan menghidupkan circuit breaker

Adapun gambar fisik dan symbol relay seperti di tunjukkan pada gambar di bawah ini.



Gambar 2.5 Simbol dan Bentuk Fisik Relay
(Sumber : <http://www.germes-online.com>)

2.5 Buzzer

Buzzer adalah piranti elektromagnet yang mengeluarkan bunyi dengung oleh membrane sebagai isyarat. Getaran yang dihasilkan mempunyai amplitudo yang dihasilkan mempunyai amplitudo yang kecil dan frekuensi sekitar ± 10 KHz sehingga terdengar nyaring. Hal inilah yang membedakan Buzzer dengan speaker atau sirine.

Buzzer merupakan komponen elektronika yang system kerjanya sebagai output suatu rangkaian elektronika, misalnya rangkaian alarm. Buzzer yang ada dipasar ada dua macam jenis, yaitu yang bias langsung bunyi bila diberi arus DC Power Supply dan juga ada yang tidak bias bunyi jika hanya diberi arus DC untuk menjalankan seluruh system. Buzzer ini memerlukan supply sebesar 5 Volt.



Gambar 2.6 Bentuk Buzzer

(Sumber : deni Santoso, 2007 Laporan tugas akhir.)

2.6 Lampu

Lampu pijar adalah jenis lampu dengan penyalaan kawat halus dalam bola gelas vakum. Misalnya lampu Edison, yang menggunakan kawat halus berupa kawat arang (karbon). Kini kawat pijar dalam lampu pada umumnya menggunakan bahan dari wolfram. Lampu pijar merupakan sumber cahaya buatan yang dihasilkan melalui penyaluran arus listrik melalui filamen yang kemudian

memanas dan menghasilkan cahaya. Kaca yang menyelubungi filamen panas tersebut menghalangi udara untuk berhubungan dengannya sehingga filamen tidak akan langsung rusak akibat teroksidasi.

Komponen utama dari lampu pijar adalah bola lampu yang terbuat dari kaca, filamen yang terbuat dari wolfram, dasar lampu yang terdiri dari filamen, bola lampu, gas pengisi, dan kaki lampu. Suhu warna cahaya tampak yang dipanjarkkan oleh lampu pijar adalah di antara 2700K sampai dengan 3300K.

Salah satu kelebihan lampu pijar adalah dapat dihasilkannya lampu pijar dalam berbagai besar voltase, dari puluhan hingga ratusan volt, namun karena energi listrik yang diperlukan lampu pijar untuk menghasilkan cahaya yang terang lebih besar dibandingkan dengan sumber cahaya buatan lainnya.

Lampu Fluoresen dan lampu pelepasan gas lainnya yang mempunyai efikasi lebih tinggi , harus lebih banyak digunakan. Lampu pijar memiliki efikasi yang rendah, sehingga penggunaannya dibatasi.

Lampu Fluoresen efikasinya cukup, sangat dianjurkan penggunaannya di dalam bangunan gedung karena hemat energi dan tahan lama. Durasi pemakaian lampunya mencapai 8000 jam, serta mempunyai temperatur warna dan renderasi yang bermacam-macam. Lampu fluoresen menurut jenis temperatur warnanya serta cara pemakaiannya dijelaskan sebagai berikut :

- Warm White* (warna putih kekuning-kuningan) dengan temperatur warna 3300 K.
 - Cool White* (warna putih netral) dengan temperatur warna antara 3300 K sampai dengan 5300 K.
 - Daylight* (warna putih) dengan temperatur warna 5300 K.
-

Jenis temperature warna dari Lampu Fluoresen yang dianjurkan untuk digunakan pada berbagai fungsi ruang dalam bangunan gedung.



Gambar 2.7 Bentuk Lampu
(Rodwell International Corporation, 1999)

2.7 Dioda

Dioda adalah komponen elektronika yang hanya memperbolehkan arus listrik mengalir dalam satu arah sehingga dioda biasa disebut juga sebagai "Penyebarah". Dioda terbuat dari bahan semikonduktor jenis *silicon* dan *germanium*.

Dioda terbuat dari penggabungan dua tipe semikonduktor yaitu tipe P (*Positive*) dan tipe N (*Negative*). Kaki dioda yang terhubung pada semikonduktor tipe P dinamakan "*Anode*" sedangkan yang terhubung pada semikonduktor tipe N disebut "*Katode*".

Pada bentuk aslinya pada dioda terdapat tanda cincin yang melingkar pada salah satu sisinya, ini digunakan untuk menandakan bahwa pada sisi yang terdapat cincin tersebut merupakan kaki Katode.

Arus listrik akan sangat mudah mengalir dari anoda ke katoda hal ini disebut sebagai "*Forward-Bias*" tetapi jika sebaliknya yakni dari katoda ke anoda,

arus listrik akan tertahan atau tersumbat hal ini dinamakan sebagai “*Reverse-Bias*”.

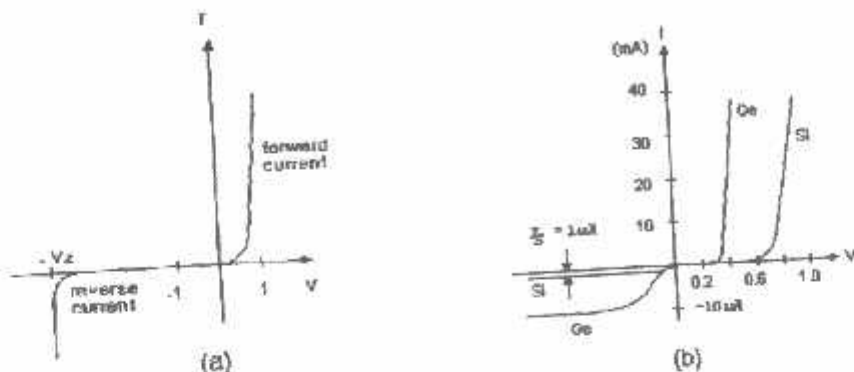
Aplikasi Bentuk

Dioda banyak diaplikasikan pada rangkaian penyerah arus (*rectifier*) power suplai atau konverter AC ke DC. Dipasar banyak ditemukan dioda seperti 1N4001, 1N4007 dan lain-lain. Masing-masing tipe berbeda tergantung dari arus maksimum dan juga tegangan breakdwon-nya. Zener banyak digunakan untuk aplikasi regulator tegangan (*voltage regulator*). Zener yang ada dipasaran tentu saja banyak jenisnya tergantung dari tegangan *breakdown*-nya. Di dalam datasheet biasanya spcsifikasi ini disebut V_z (*zener voltage*) lengkap dengan toleransinya, dan juga kemampuan disipasi daya.

Adapun macam-macam dioda adalah sebagai berikut:

- a) Dioda pemancar cahaya atau LED adalah dioda yang memancarkan cahaya bila dipanjar maju. LED dibuat dari semikonduktor campuran seperti galium arsenida fosfida (GaAsP) dsb.
- b) Dioda foto (fotovoltaic) digunakan untuk mengubah energi cahaya menjadi energi listrik searah.
- c) Dioda laser digunakan untuk membangkitkan sinar laser taraf rendah, cara kerjanya mirip LED
- d) Dioda zener digunakan untuk regulasi tegangan.

2.7.1 Karakteristik Arus Pada Dioda



Gambar 2.8
Kurva Karakteristik forward V-I dioda

Arus yang mengalir pada diode ideal dinyatakan dalam :

$$I_D = I_S (e^{qV_D / \eta kT} - 1)$$

Dimana :

I_D = arus yang mengalir pada dioda

I_S = arus saturasi

e = konstanta culers ($\sim 2,718281828$)

q = electron charge ($1,6 \times 10^{-19}$ C)

V_D = tegangan pada dioda

η = konstanta empiric, 1 untuk Ge, dan 2 untuk Si

k – konstanta boltzmann's ($1,38 \times 10^{-23}$ J/K)

T – temperature junction ($^{\circ}\text{K}$)

$$V_T = k/Tq \text{ (26 mV pada suhu normal)}$$

$V_T = k/Tq$ adalah tegangan yang dihasilkan P-N junction akibat pengaruh temperature, disebut juga thermal voltage(V_t). Pada suhu kamar bernilai 26 mV. Sehingga rumus diatas dapat disederhanakan menjadi :

$$I_D = I_S (e^{V_D/0,026} - 1)$$

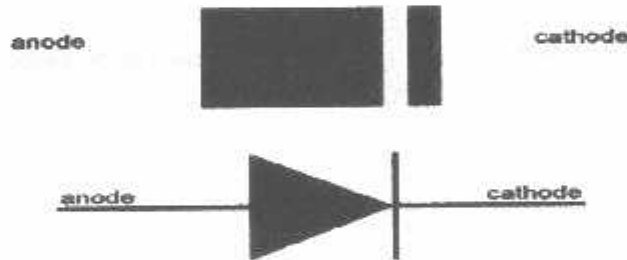
Dimana :

I_D = arus yang mengalir pada dioda

I_S = arus saturasi

e = konstanta eulers ($\sim 2,718281828$)

V_D = tegangan pada dioda



Gambar 2.9 Dioda

(Rodwell International Corporation, 1999)

2.8 PHOTODIODA

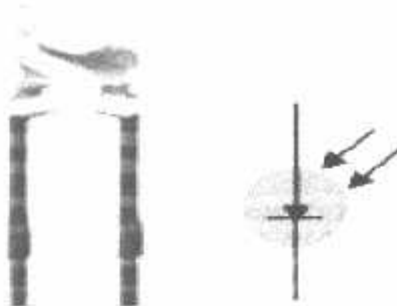
Photo dioda adalah jenis dioda yang berfungsi untuk mendeteksi cahaya. Berbeda dengan dioda biasa. Komponen elektronik ini akan mengubah cahaya menjadi arus listrik. Cahaya yang dapat di deteksi oleh dioda ini,mulai dari

infrared,sinar ultra violet,sampai dengan sinar X. Jenis dioda seperti ini telah di aplikasikan pada alat penghitung kendaraan otomatis di jalan-jalan umum.

PRINSIP KERJA PHOTO DIODA

Photodiode dibuat dari semikonduktor dengan bahan yang populer adalah silicon (Si) atau galium arsenida (GaAs), dan yang lain meliputi InSb, InAs, PbSe. Material ini menyerap cahaya dengan karakteristik panjang gelombang mencakup: 2500 Å - 11000 Å untuk silicon, 8000 Å – 20,000 Å untuk GaAs. Ketika sebuah photon (satu satuan energi dalam cahaya) dari sumber cahaya diserap, hal tersebut membangkitkan suatu elektron dan menghasilkan sepasang pembawa muatan tunggal, sebuah elektron dan sebuah hole, di mana suatu hole adalah bagian dari kisi-kisi semikonduktor yang kehilangan elektron. Arah Arus yang melalui sebuah semikonduktor adalah kebalikan dengan gerak muatan pembawa. cara tersebut didalam sebuah photodiode digunakan untuk mengumpulkan photon, menyebabkan pembawa muatan (seperti arus atau tegangan) mengalir/terbentuk di bagian-bagian elektroda.

Photodiode digunakan sebagai penangkap gelombang cahaya yang dipancarkan oleh Infrared atau laser. Besarnya tegangan atau arus listrik yang dihasilkan oleh photodiode tergantung besar kecilnya radiasi yang dipancarkan oleh infrared atau laser.



Gambar 2.10 PHOTODIODE

(Rodwell International Corporation, 1999)

2.9 LASER

LASER (singkatan dari bahasa Inggris: *Light Amplification by Stimulated Emission of Radiation*) merupakan mekanisme suatu alat yang memancarkan radiasi elektromagnetik, biasanya dalam bentuk cahaya yang tidak dapat dilihat maupun dapat dilihat dengan mata normal, melalui proses pancaran terstimulasi. Pancaran laser biasanya tunggal, memancarkan foton dalam pancaran koheren. Laser juga dapat dikatakan efek dari mekanika kuantum.

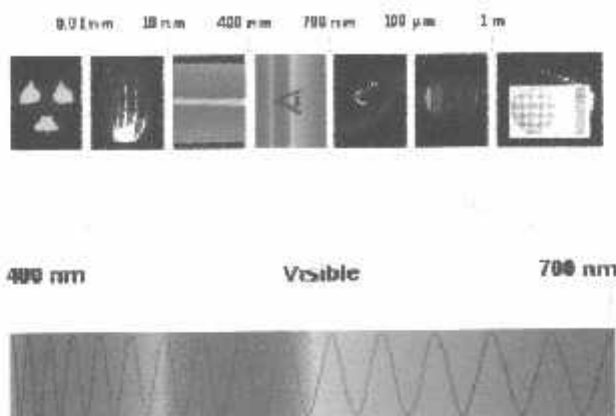
Dalam teknologi laser, *cahaya yang koheren* menunjukkan suatu sumber cahaya yang memancarkan panjang gelombang yang diidentifikasi dari frekuensi yang sama, beda fasa yang konstan dan polarisasinya. Selanjutnya untuk menghasilkan sebuah *cahaya yang koheren* dari medium *lasing* adalah dengan mengontrol kemurnian, ukuran, dan bentuknya. Keluaran yang berkelanjutan dari laser dengan amplituda-konstan (dikenal sebagai *CW* atau *gelombang berkelanjutan*), atau detak, adalah dengan menggunakan teknik *Q-switching*, *modelocking*, atau *gain-switching*.

Dalam operasi detak, dimana sejumlah daya puncak yang lebih tinggi dapat dicapai. Sebuah medium laser juga dapat berfungsi sebagai penguat optik ketika di-*seed* dengan cahaya dari sumber lainnya. Sinyal yang diperkuat dapat menjadi sangat mirip dengan sinyal input dalam istilah panjang gelombang, fasa, dan polarisasi; Ini tentunya penting dalam telekomunikasi srat optik.

Sumber cahaya umum, seperti bola lampu incandescent, memancarkan foton hampir ke seluruh arah, biasanya melewati spektrum elektromagnetik dari panjang gelombang yang luas. Sifat koheren sulit ditemui pada sumber cahaya atau *incoherens*; dimana terjadi beda fasa yang tidak tetap antara foton yang dipancarkan oleh sumber cahaya. Secara kontras, laser biasanya memancarkan foton dalam cahaya yang sempit, terpolarisasi, sinar koheren mendekati monokromatik, terdiri dari panjang gelombang tunggal atau satu warna.

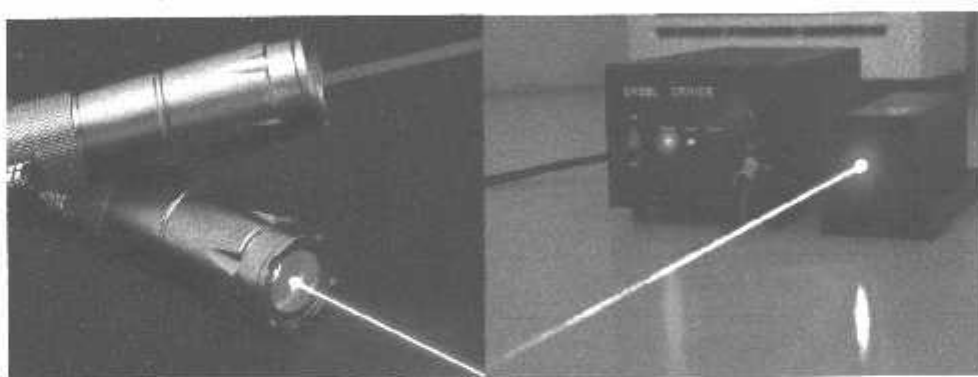
Beberapa jenis laser, seperti *laser dye* dan laser vibronik benda-padat (*vibronic solid-state lasers*) dapat memproduksi cahaya lewat jangka lebar gelombang; properti ini membuat mereka cocok untuk penciptaan detak singkat sangat pendek dari cahaya, dalam jangka femtodetik (10^{-15} detik). Banyak teori mekanika kuantum dan termodinamika dapat digunakan kepada aksi laser, meskipun nyatanya banyak jenis laser ditemukan dengan cara *trial and error*.

Dari kiri ke kanan: sinar gamma, Sinar X, sinar ultraviolet, spektrum tampak, sinar infrared, gelombang mikro, gelombang radio gambar



Gambar 2.11 spectrum cahaya

(Sumber : <http://www.spectrum cahaya.com//datasheet>)



Gambar 2.12 LASER

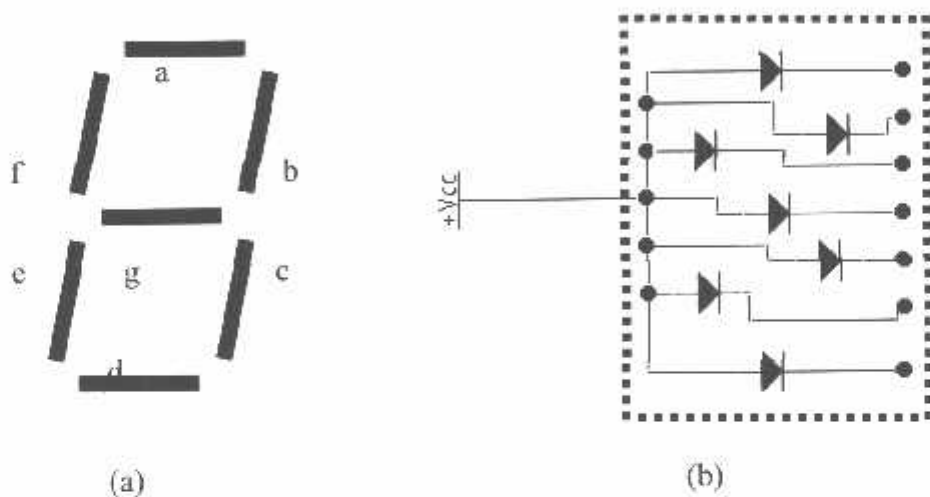
(Charles H. Townes "The first laser"(2003).)

2.10 SEVEN SEGMENT

Peraga seven segment dapat dibuat dalam berbagai cara. Tiap tujuh segmen tersebut dapat berupa filamen tipis yang berpijar. Jenis peraga ini disebut peraga pijar (*meandescence display*), dan sama dengan bola lampu biasa. Peraga jenis lain adalah LCD (*liquid crystal display*), peraga cairan, yang menghasilkan angka – angka berwarna kelabu atau putih perak. Dioda pemancar cahaya (LED, *Light Emitting Dioda*) menghasilkan cahaya kemerah – merahan. Pada peraga LED, LED membutuhkan arus khusus sebesar 20 mA. Karena berupa dioda, LED

sensitif terhadap polaritas. Katoda (K) harus dihubung ke negatif (GND) dari catu daya dan Anoda (A) dihubung ke positif dari catu daya. Seven segmen ini mempunyai 2 tipe yaitu *common anoda* dan *common katoda*. Gambar 2.13 (b) memperlihatkan catu daya yang dihubungkan ke seven segmen *common anoda*.

Peralatan keluaran yang sering digunakan dalam menampilkan bilangan adalah penampil seven segmen yang ditunjukkan pada gambar 2.13 (a). tujuh segmen tersebut dilabelkan dengan huruf a sampai g.



Gambar 2.13 (a) Tampilan Fisik LED, (b) Skema dalam LED
(Malvino, Albert Paul. 1983)

2.11 Display LCD Character 2x16

Display LCD 2x16 berfungsi sebagai penampil nilai kuat induksi medan elektromagnetik yang terukur oleh alat. LCD yang digunakan pada alat ini mempunyai lebar display 2 baris 16 kolom atau biasa disebut sebagai LCD Character 2x16, dengan 16 pin konektor, yang didefinisikan sebagai berikut:

Tabel 2.2 fungsi pinLCD character 2x16

Sumber : www.delta-elektronik.com

PIN	Nama	fungsii
1	VSS	Ground voltage
2	VCC	+5V
3	VEE	Contrast voltage
4	RS	Register Select0 = Instruction Register1 = Data Register
5	R/W	Read/ Write, to choose write or read mode 0=write mode 1 = read mode
6	E	Enable 0 = start to lacht data to LCD character 1= disable
7	DB0	LSB
8	DB1	-
9	DB2	-
10	DB3	-
11	DB4	-
12	DB5	-
13	DB6	-
14	DB7	MSB
15	BPL	Back Plane Light
16	GND	Ground voltage



Gambar 2.14 LCD character 2x16

Sumber : www.delta-elektronik.com

Display	00	01	02	03	04	05	06	07	08	09	10	11	12	13	14	15	16
Line 1	00	01	02	03	04	05	06	07	08	09	10	11	12	13	14	15	16
Line 2	40	41	42	43	44	45	46	47	48	49	4A	4B	4C	4D	4E	4F	...

Gambar 2.15 Peta memory LCD character 2x16

Sumber : www.delta-elektronik.com

Pada peta memori diatas, daerah yang berwarna biru (00 s/d 0F dan 40 s/d 4F) adalah display yang tampak. jumlahnya sebanyak 16 karakter per baris dengan dua baris. Angka pada setiap kotak adalah alamat memori yang bersesuaian dengan posisi dari layar. Dengan demikian dapat dilihat karakter pertama yang berada pada posisi baris pertama menempati alamat 00h. dan karakter kedua yang berada pada posisi baris kedua menempati alamat 40h.

Agar dapat menampilkan karakter pada display maka posisi kursor harus terlebih dahulu diset. Instruksi Set Posisi Kursor adalah 80h. dengan demikian untuk menampilkan karakter, nilai yang terdapat pada memory harus ditambahkan dengan 80h.

Sebagai contoh, jika kita ingin menampilkan huruf "B" pada baris kedua pada posisi kolom kesepuluh.maka sesuai dengan peta memory, posisi karakter pada kolom 10 dari baris kedua mempunyai alamat 4Ah, sehingga sebelum kita menampilkan huruf "B" pada LCD, kita harus mengirim instruksi set posisi kursor, dan perintah untuk instruksi ini adalah 80h ditambah dengan alamat 80h +

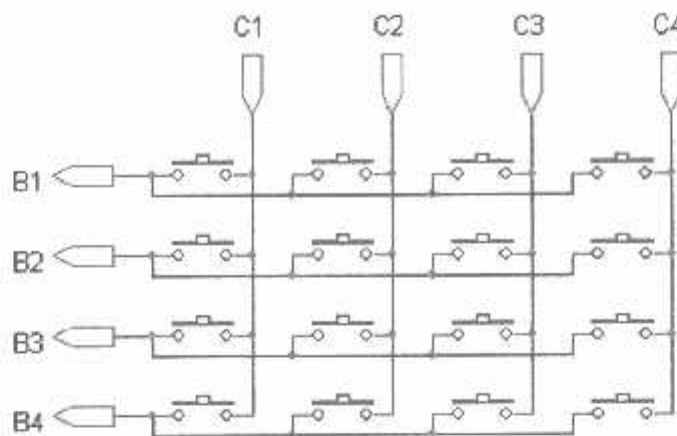
$4Ah = 0Cah$. Sehingga dengan mengirim perintah $0Cah$ ke LCD, akan menempatkan cursor pada baris kedua dan kolom ke 11.

2.12 Keypad 4x4

Keypad sesungguhnya terdiri dari sejumlah saklar, yang terhubung sebagai baris dan kolom. Agar mikrokontroller dapat melakukan *scan keypad*, maka port mengeluarkan salah satu bit dari 4 bit yang terhubung pada kolom dengan logika low “0” dan selanjutnya membaca 4 bit pada baris untuk menguji jika ada tombol yang ditekan pada kolom tersebut. Sebagai konsekuensi, selama tidak ada tombol yang ditekan, maka mikrokontroller akan melihat sebagai logika high “1” pada setiap pin yang terhubung ke baris.

Pada alat ini digunakan keypad 4×4 Keypad matriks 4×4 yang digunakan disini menggunakan sistem scanning kolom dalam melakukan pengenalan tombolnya. Sistem scanning kolom ini dikerjakan oleh oleh mikrokontroller dalam rountime program guna menyederhanakan lagi IC decoder dalam rangkaian ini.

Pada dasarnya keypad yang ada dipasaran baik yang berukuran keypad 3×3 , 3×4 atau 4×4 , hanya tersusun dari beberapa push button yang dikonfigurasikan antara kolom dengan baris. Sehingga sering disebut juga keypad matriks $n \times m$ (n =kolom m =baris). Kolom dan baris ini nantinya yang digunakan untuk pendeksiyan pencikanan tombol. Berikut adalah konfigurasi dasar untuk keypad 4×4 .



Gambar 2.16 Rangkaian Keypad 4×4.

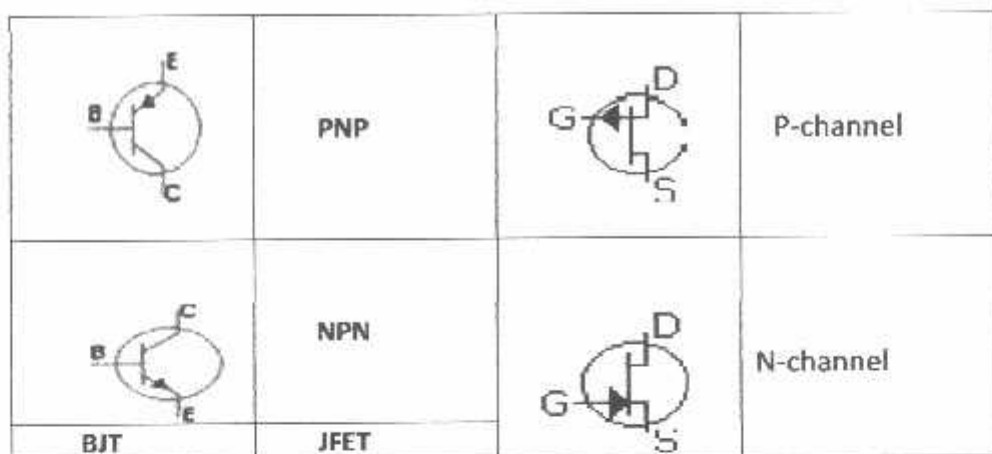
(Sumber : Protel 99 SE.)

2.13 Transistor

Transistor adalah alat semikonduktor yang dipakai sebagai penguat, sebagai sirkuit pemutus dan penyambung (switching), stabilisasi tegangan, modulasi sinyal atau sebagai fungsi lainnya. Transistor dapat berfungsi semacam kran listrik, dimana berdasarkan arus inputnya (BJT) atau tegangan inputnya (FET), memungkinkan pengaliran listrik yang sangat akurat dari sirkuit sumber listriknya.

Pada umumnya, transistor memiliki 3 terminal. Tegangan atau arus yang dipasang di satu terminalnya mengatur arus yang lebih besar yang melalui 2 terminal lainnya. Transistor adalah komponen yang sangat penting dalam dunia elektronik modern. Dalam rangkaian analog, transistor digunakan dalam amplifier (penguat). Rangkaian analog melengkapi pengeras suara, sumber listrik stabil, dan penguat sinyal radio. Dalam rangkaian-rangkaian digital, transistor digunakan sebagai saklar berkecepatan tinggi. Beberapa transistor juga dapat dirangkai sedemikian rupa sehingga berfungsi sebagai **logic gate**, memori, dan komponen-komponen lainnya.

Jenis-jenis transistor



Gambar 2.17 Simbol Transistor dari Berbagai Tipe

(Richard Blocher, Dasar Elektronika, Yogyakarta, Andi, 2004)

Secara umum, transistor dapat dibedakan berdasarkan banyak kategori:

Materi semikonduktor: Germanium, Silikon, Gallium Arsenide

Kemasan fisik: Through Hole Metal, Through Hole Plastic, Surface Mount, IC, dan lain-lain

Tipe: UJT, BJT, JFET, IGFET (MOSFET), IGBT, HBT, MISFET, VMOSFET, MESFET, HEMT, SCR serta pengembangan dari transistor yaitu IC (*Integrated Circuit*) dan lain-lain.

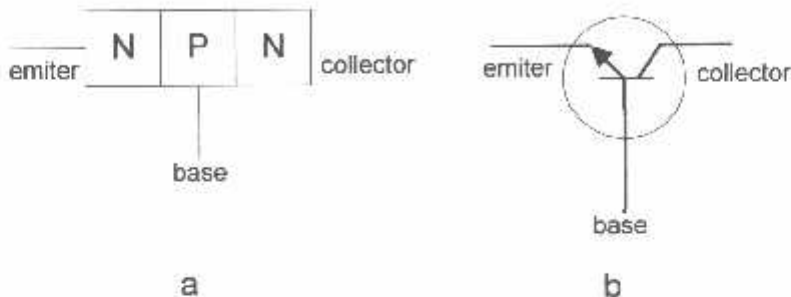
Polaritas: NPN atau N-channel, PNP atau P-channel

Maximum kapasitas daya: Low Power, Medium Power, High Power

Maximum frekwensi kerja: Low, Medium, atau High Frequency, RF transistor, Microwave, dan lain-lain

Aplikasi: Amplifier, Saklar, General Purpose, Audio, Tegangan Tinggi, dan lain-lain

2. 13.1 Transistor NPN



Gambar 2.18

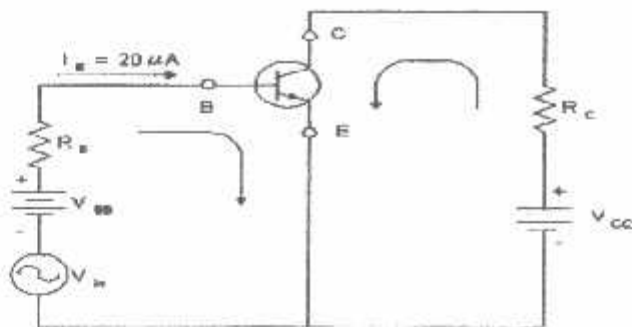
Struktur dan sinyal dari transistor NPN

(Richard Blocher, Dasar Elektronika, Yogyakarta, Andi, 2004)

Transistor dibuat dengan mendekatkan dua junction semi konduktor satu sama lain. Transistor NPN dibuat dari dua material type N dan type P seperti gambar 2.17. Satu bagian material N lainnya Emitter dan bagian tengah yaitu type P adalah Base. Arah panah terminal Emitter dalam gambar 2.18 (b) ditentukan oleh type Transistor (NPN atau PNP). Arah panah menunjukkan arah arus antara Emitter dan Base seperti halnya diode.

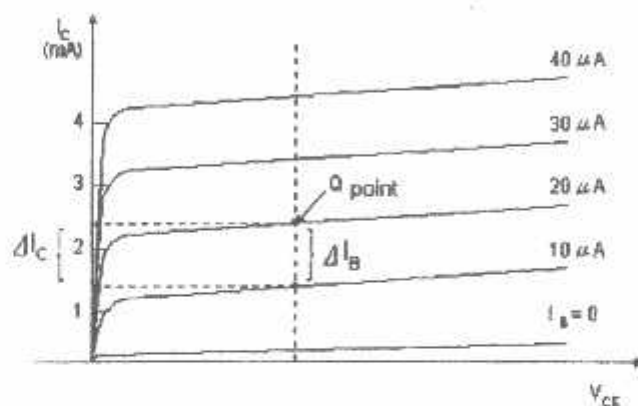
Ketika Emitter transistor menjadi terminal common antar input dan output, maka disebut Kommon Emitter (CE) dan Collector akan menjadi output terminal dan Base menjadi input terminal. Penguat (gain) arus CE adalah karakteristik utama Transistor dan ditunjukkan dengan β atau h_{FE} . Penguanan arus CE ditunjukkan dengan rumus berikut :

$$h_{FE} = \beta = \frac{I_C}{I_B}$$



Gambar 2.19 Rangkaian Commom Emmiter Input AC

(Richard Blocher, Dasar Elektronika, Yogyakarta, Andi, 2004)

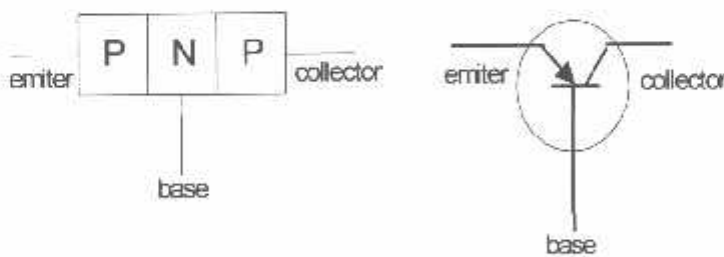


Gambar 2.20

Kurva Karakteristik Common Transistor

(Richard Blocher, Dasar Elektronika, Yogyakarta, Andi, 2004)

2.13.2 Transistor PNP



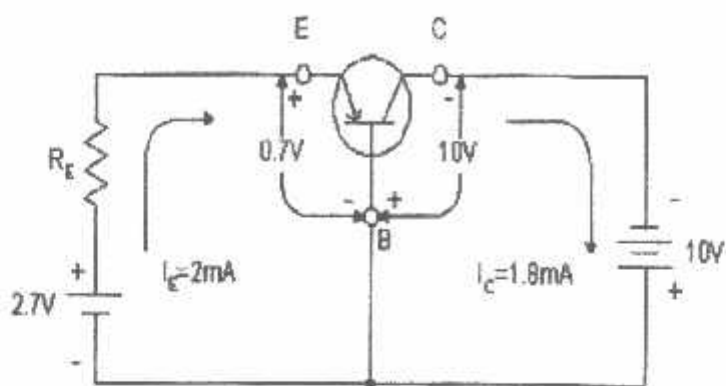
(a) Pnp struktur

(b) pnp signal

Gambar 2.21 Struktur Dan Sinyal Dari Transistor PNP

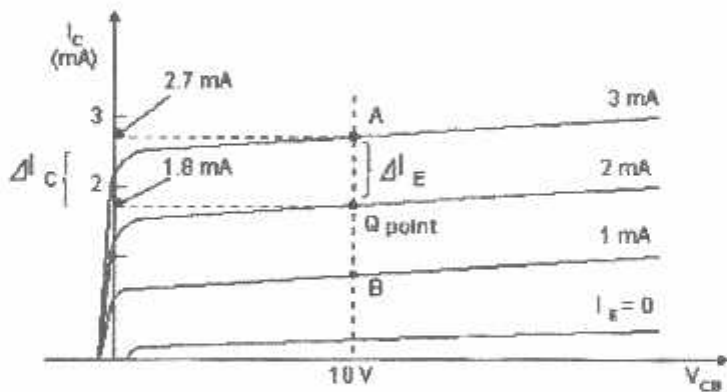
(Richard Blocher, Dasar Elektronika, Yogyakarta, Andi, 2004)

Transistor PNP dibuat dari dua material type P dan type N . Bagian material type P adalah Emitor dan collector bagian type N di tengah adalah Base.



Gambar 2.22 Rangkaian Common Base Transistor

(Richard Blocher, Dasar Elektronika, Yogyakarta, Andi, 2004)



Gambar 2.23 Karakteristik Kurva Common Base

(Richard Blocher, Dasar Elektronika, Yogyakarta, Andi, 2004)

Gambar 2.21 menunjukkan rangkaian Transistor PNP dimana junction Emitor-Base di forward bias dan junction Base-Collector di backward bias. Resistansi digunakan untuk membatasi aliran arus dalam rangkaian. Arus emitor DC (I_E) menjadi $2V/1K\Omega = 1mA$ dengan mengurangi 0.7 V_{eb} dari 2,7

V (dalam hal ini silicon). Transistor yang dirangkai seperti gamabr 2.22 sebagai type common Base (CB) dan dikarenakan Common Base-nya pada kedua sisi rangkaian. Gambar 2.23 menunjukkan kurva karakteristik dari rangkaian CB. Kurva menunjukkan hubungan antara V_{cb} dan arus collector dari beberapa nilai arus Emitor Input. Arus Emitor 2 mA ditentukan oleh kurva ini dan arus collector 1,8mA ditentukan oleh tegangan backward bias junction Base-Collector 10V.

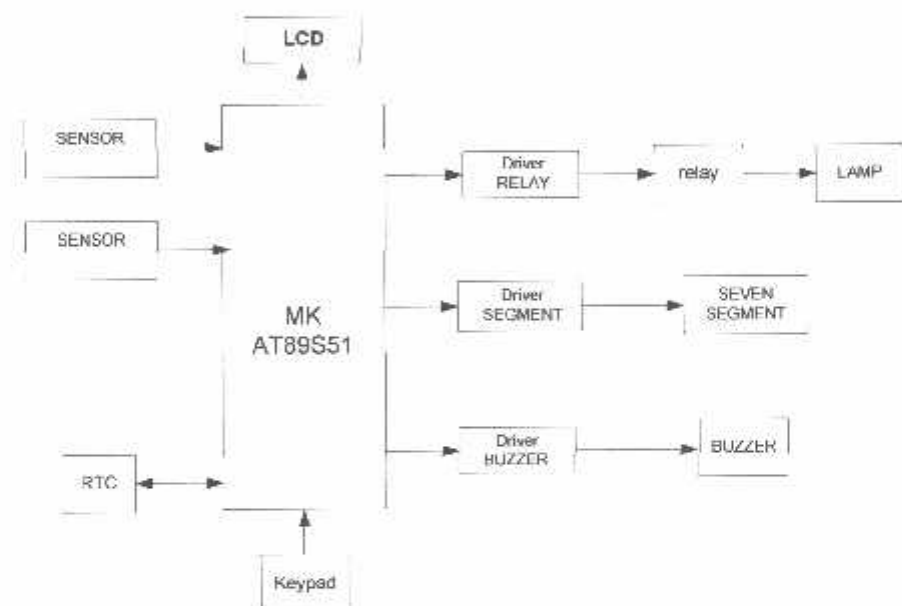


BAB III

PERENCANAAN DAN PEMBUATAN ALAT

3.1 Diagram Blok Rangkaian

Pada bab ini akan dibahas tentang perencanaan sebuah alat yang meliputi diagram blok rangkaian dan realisasi rangkaian dengan prinsip kerja dari masing-masing blok rangkaian yang digunakan pada *otomatisasi Lampu Dan Bell Dengan Pendekripsi Orang Dalam Ruangan Perkuliahan Berbasis Mikrokontroler AT 89S51*



Gambar 3.1
Blok Diagram Alat

Dari cara sistem secara keseluruhan, maka dapat diuraikan fungsi umum tiap-tiap blok rangkaian sebagai berikut:

- a. Rangkaian sensor cahaya photodioda berfungsi mendekripsi jumlah orang yang masuk dan jumlah orang yang keluar

- b. Mikrokontroler berfungsi untuk mengendalikan tampilan 7-segment, relay lampu dan mengaktifkan buzzer sebagai bell kesemuanya bekerja berdasarkan sinyal masukan dari sensor.
- c. Tampilan *7-segment* berfungsi untuk menunjukkan jumlah orang yang ada didalam ruang perkuliahan.
- d. *Relay* berfungsi untuk menghidupkan dan mematikan lampu ruangan berdasarkan ada tidaknya orang didalam ruangan perkuliahan.
- e. *Buzzer* berfungsi untuk alarm tanda bell sebagai pengingat waktu pengajaran

3.2 Perencanaan Hardware

Perencanaan perangkat keras meliputi perencanaan mikrokontroller AT89S51, Perencanaan sensor, Driver relay , RTC dan Rangkaian LCD.

3.2.1 Sensor Cahaya

Pada bagian ini sensor yang digunakan memakai sensor photodioda yang digunakan sebagai penangkap gelombang cahaya yang dipancarkan oleh laser. Besarnya tegangan atau arus listrik yang dihasilkan oleh photodioda tergantung besar kecilnya radiasi yang dipancarkan oleh laser tersebut, perbedaan intensitas inilah yang digunakan untuk medeteksi adanya orang yang melewati sensor atau tidak. Sensor ini juga berfungsi sebagai *counter* masukan dan keluaran pada pintu. Penggunaan resistor pada rangkaian ini adalah sebagai pembatas arus pada *laser*.

Rangkaian Pemancar cahaya tamapak seperti dibawah ini:



Gambar 3.2
Pemancar cahaya laser

Kebutuhan arusnya adalah 15 mA, dengan inputan high 5 volt , maka dapat dicari nilai tahanannya dengan cara sebagai berikut :

$$V = I * R \quad \dots \dots \dots \quad (3.1)$$

$$R_{IR} = V/I$$

$$= \frac{5}{0.015}$$

$$= 333,33 \Omega$$

Jadi hasil perhitungan diatas diperoleh nilai R_{IR} sebesar 333,33 Ω , namun dalam pemakaiannya dipakai $R = 330 \Omega$.

Pada rangkaian diatas digunakan sebuah Laser, dan resistor yang digunakan adalah 330 Ω sehingga arus yang mengalir pada laser adalah

$$I = \frac{V}{R} \quad \dots \dots \dots \quad (3.2)$$

$$= \frac{5}{330}$$

$$= 0,015 \text{ A}$$

$$= 15 \text{ mA}$$

Dengan besarnya arus yang mengalir ke laser, maka pancaran laser akan semakin kuat, yang mengebabkan semakin jauh.

Pancaran dari laser akan diterima oleh rangkaian photodioda, kemudian akan diolah oleh rangkaian penerima agar menghasilkan sinyal tertentu, dimana jika photodioda menerima pancaran sinar laser maka output dari rangkaian penerima ini akan mengeluarkan logika *low* (0), namun jika photodioda tidak menerima pancaran sinar laser maka output dari rangkaian akan mengeluarkan logika *high* (1).

Photodioda dioperasikan pada bias balik, dimana photodioda ini akan memiliki hambatan sekitar $15\text{ M}\Omega$ s/d $20\text{ M}\Omega$ jika tidak terkena sinar cahaya, dan hambatannya akan berubah menjadi sekitar $80\text{ K}\Omega$ s/d $300\text{ K}\Omega$ jika terkena sinar laser masuk tergantung instesitas yang mengenainya. Semakin besar instesitas cahaya, maka hambatan semakin kecil.

Pada rangkaian Keluaran Photodioda harus lebih besar dari 0,7 volt. Syarat ini akan terpenuhi jika photodioda mendapatkan sinar laser. Analisanya sebagai berikut:

Jika sinar laser yang tidak mengenai photodioda, maka hambatan pada photodioda $15 \text{ M}\Omega$, sehingga :

$$V_{O_2} = \frac{R2}{R1 + R2} \times VCC \quad (3.3)$$

$$V_0 = \frac{330.000}{15.000.000 + 330.000} \cdot 5$$

$$V_0 = 0.0215 \times 5$$

$$V_0 = 0.107 \text{ volt}$$

Jika ada sinar *laser* yang mengenai photodioda maka hambatan pada photodioda $300\text{ }\Omega$, sehingga:

$$V_O = \frac{R2}{R1 + R2} \times VCC \quad \dots \dots \dots (3.4)$$

$$V_0 = \frac{330.000}{300.000 + 330.000} \approx 5$$

$$V_0 = 0.523 \times 5$$

$$V_D = 2.619 \text{ volt}$$

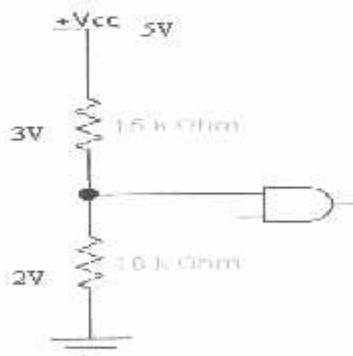
Kebutuhan arusnya adalah 0,2 mA dan, dengan inputan high 5 volt , maka dapat dicari nilai tahanannya dengan cara sebagai berikut :

$$I = \frac{V_{vcc}}{R_{tot}} - \frac{5}{15000+10000} = \frac{5}{25000} = 0,0002 \text{ A} = 0,2 \text{ mA} \quad (3.5)$$

$$R_t = V/I$$

$$= \frac{5}{0,2 \cdot 10^{-3}}$$

$$= 2,5 \cdot 10^3 = 25000 \Omega$$

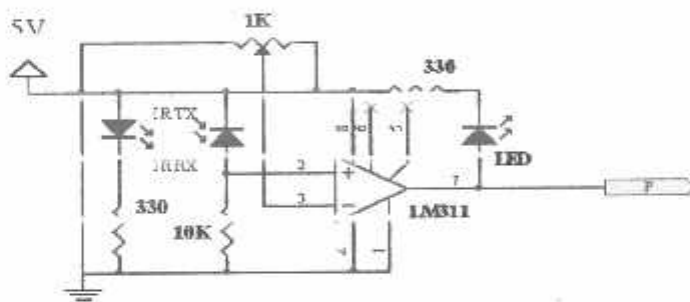


Gambar 3-3
Rangkaian perhitungan

Rangkaian komparator dengan IC LM 311 yang merupakan suatu komparator. Cara kerjanya adalah : jika tegangan pada input $V_{in} (-) = V_{ref} (+)$ maka switch didalam LM 311 akan close (ke ground) sehingga V_o LM 311 = 0 volt , jika kondisi inputnya $V_{in} (-) > V_{ref} (+)$ maka switch akan open maka berlogic 1 dengan nilai tegangan $V_o = 5$ volt.

$$V_{out} = (V_{ref} + V_{in}) \times \infty$$

Skema sensor cahaya diperlihatkan pada gambar 3-3.



Gambar 3-4
Rangkaian Sensor Cahaya

Penguatan ini dapat diatur hambatan pada pontensio atau pada trimpot. Output komparator pertama akan diperkuat lagi sampai maksimum 100 kali penguatan. Dengan demikian penguatan dapat diatur sesuai dengan yang dikehendaki.

Jadi cara kerja rangkaian diatas adalah sebagai berikut:

- Pada saat cahaya laser mengenai permukaan photodioda , nilai V1 lebih kecil atau hampir sama dengan V2 , maka ic lm311 akan mengeluarkan

logic 0). Karena ada beda potensial tegangan antara sumber 5 Vdc dengan pin 7 output dari lm 311, P3.0 menerima *logic 1*.

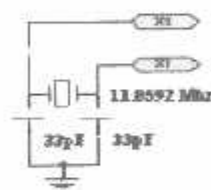
- Pada saat cahaya laser terhalang menuju ke permukaan photodioda , nilai V₁ lebih besar dari V₂, maka IC LM 311 akan mengeluarkan logic 0. Karena tidak ada beda potensial tegangan antara sumber 5 Vdc dengan pin 7/ output dari LM311, maka P3.1 menerima logic 0.

3.2.2. Hardware AT89S51

3.2.2.1 Perancangan Rangkaian Clock

Kecepatan proses yang dilakukan oleh mikrokontroller ditentukan oleh sumber *clock* yang mengendalikan mikrokontroller tersebut. Sistem yang dirancang ini menggunakan osilator internal yang telah tersedia dalam *chip* AT89S51. Untuk menentukan frekuensi osilitornya cukup dengan menghubungkan kristal dalam *Pin 19 (X1) dan Pin 18 (X2)* serta dua buah kapasitor ke *group*.

Besarnya kapasitansinya disesuaikan dengan spesifikasi dalam lembar data AT89S51 yaitu 33pF. Kristal yang digunakan adalah 12 MHz. gambar 3-2 memperlihatkan rangkaian *clock* yang dirancang.



Gambar 3-5 Rangkaian Clock untuk MCU AT89S51

Dalam sistem ini, rangkaian terdiri dari duah buah kapasitor sebesar 33 pF dan sebuah kristal sebesar 12 MHz.

3.2.2.2 Perancangan Rangkaian Reset

Pin reset pada mikrokontroler merupakan masukan aktif high (1). Pulsa transisi dari low (0) dan *high* (1) akan mereset mikrokontroler menuju alamat 0000H. pin reset dihubungkan dengan rangkaian power on reset yang diperlihatkan pada gambar 3-4.

Karena kristal yang digunakan mempunyai frekuensi 11,0592 MHz maka satu periode membutuhkan waktu sebesar:

$$T = \frac{1}{f_{K\pi AL}} = \frac{1}{11.0592 \text{ MHz}} \times 24 = 9.04^2 \times 10^{-8} \times 24$$

Sehingga waktu minimal logika tinggi yang dibutuhkan untuk melakukan reset mikrokontroller adalah :

$$\text{Reset (min)} = T \times \text{periode yang dibutuhkan}$$

$$= 9,042 \times 10^{-8} \times 24$$

$$= 217 \mu\text{s}$$

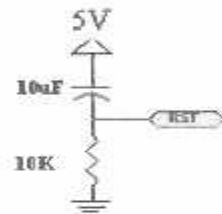
Mikrokontroller membutuhkan waktu *minimal* $2,17 \mu\text{s}$ untuk me-reset.

Waktu minimal inilah yang dijadikan pedoman untuk menentukan nilai R dan C. daripersamaan diatas dengan menentukan nilai $R=10 \text{ k } \mu\text{, maka:}$

$$= 0.357 \times 10 \times 10^{-6} \Omega \times 10 \times 10^{-6}$$

-35,7 mS

Jadi dengan nilai komponen $R = 10 \text{ k}\Omega$ dan $c = 10 \mu\text{F}$ dapat memenuhi syarat minimal untuk waktu yang dibutuhkan oleh mikrokontroller.



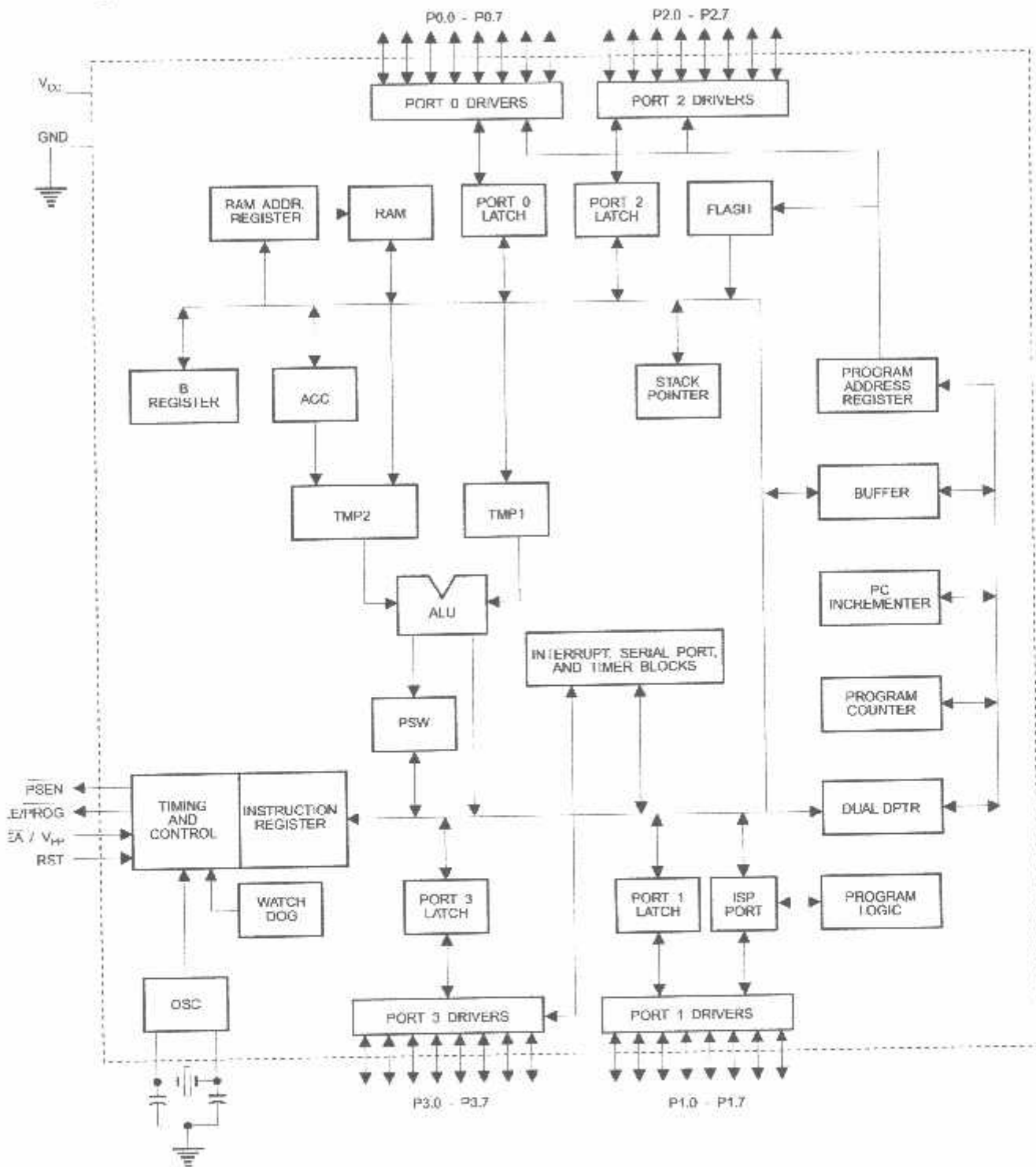
Gambar 3-6 Rangkaian Reset untuk MCU AT89S51

Tabel 3 – 1 berikut ini merupakan tabel dari pemasangan pin – pin mikrokontroller yang dipakai pada alat *pengontrol Lampu, bell dan Pendeksi Orang Dalam Ruangan Perkulihan Secara Otomatis Berbasis mikrokontroler AT89S51*.

Tabel 3 – 1 Pemasangan Pin-Pin Pada Mikrokontroller

Pin	In / Out	Fungsi
1 – 8	Input	Keypad
9	Input	Reset
10-11	Input	Tidak dipakai
12-15	Input	sensor photodioda
16-17	Input	RTC (Real Time Clock)
18-19	-	Oscilator Kristal 12 Mhz
20	0 V	Ground
21-22	Out Put	Keluaran untuk buzzer
23	Out put	Tidak dipakai
24-26	Out put	Keluaran Ke tampilan 7-Segment
29	-	Tidak terpakai (program strong enable)
30	-	<i>Address Latch Enable</i>
31	5 V	<i>External Access Enable</i>
32-39	Out put	Keluaran Ke tampilan LCD dan 7-Segment
40	5 V	Vcc

Block Diagram



Port Pin	Alternate Functions
P3.0	RXD (serial input port)
P3.1	TXD (serial output port)
P3.2	INT0 (external interrupt 0)
P3.3	INT1 (external interrupt 1)
P3.4	T0 (timer 0 external input)
P3.5	T1 (timer 1 external input)
P3.6	WR (external data memory write strobe)
P3.7	RD (external data memory read strobe)

RESET

Reset input. A high on this pin for two machine cycles while the oscillator is running resets the device. This pin drives High for 98 oscillator periods after the Watchdog times out. The DISRTO bit in SFR AUXR (address 8EH) can be used to disable this feature. In the default state of bit DISRTO, the RESET HIGH out feature is enabled.

ALE/PROG

Address Latch Enable (ALE) is an output pulse for latching the low byte of the address during accesses to external memory. This pin is also the program pulse input (PROG) during Flash programming.

In normal operation, ALE is emitted at a constant rate of 1/6 the oscillator frequency and may be used for external timing or clocking purposes. Note, however, that one ALE pulse is skipped during each access to external data memory.

If desired, ALE operation can be disabled by setting bit 0 of SFR location 8EH. With the bit set, ALE is active only during a MOVX or MOVC instruction. Otherwise, the pin is weakly pulled high. Setting the ALE-disable bit has no effect if the microcontroller is in external execution mode.

EN

Program Store Enable (PSEN) is the read strobe to external program memory.

When the AT89S51 is executing code from external program memory, PSEN is activated twice each machine cycle, except that two PSEN activations are skipped during each access to external data memory.

NPP

External Access Enable. EA must be strapped to GND in order to enable the device to fetch code from external program memory locations starting at 0000H up to FFFFH. Note, however, that if lock bit 1 is programmed, EA will be internally latched on reset.

EA should be strapped to V_{CC} for internal program executions.

This pin also receives the 12-volt programming enable voltage (V_{PP}) during Flash programming.

AL1

Input to the inverting oscillator amplifier and input to the internal clock operating circuit.

AL2

Output from the inverting oscillator amplifier

Special Function Registers



A map of the on-chip memory area called the Special Function Register (SFR) space is shown in Table 1.

Note that not all of the addresses are occupied, and unoccupied addresses may not be implemented on the chip. Read accesses to these addresses will in general return random data, and write accesses will have an indeterminate effect.

Table 1. AT89S51 SFR Map and Reset Values

0F8H									0FFH
0F0H	B 00000000								0F7H
0E8H									0EFH
0E0H	ACC 00000000								0E7H
1D8H									0DFH
1D0H	PSW 00000000								0D7H
1C8H									0CFH
1C0H									0C7H
1B8H	IP XXJ0U000								0BFH
1B0H	P3 11111111								0B7H
1A8H	IE 0X000000								0AFH
1A0H	P2 11111111		AUXR1 XXXXXXX0				WDTRST XXXXXXXX		0A7H
9B1	SCON 00000000	SBUF XXXXXXXX							9FH
9CH	P1 11111111								97H
88H	TCON 00000000	TMOD 00000000	TL0 00000000	TL1 00000000	TH0 00000000	TH1 00000000	AUXR XXX00XX0		BFH
80H	PC 11111111	SP 00000111	DPOL 00000000	DP0H 00000000	DP1L 00000000	DP1H 00000000		PCON 0XXX0000	87H

User software should not write 1s to these unlisted locations, since they may be used in future products to invoke new features. In that case, the reset or inactive values of the new bits will always be 0.

Interrupt Registers: The individual interrupt enable bits are in the IE register. Two priorities can be set for each of the five interrupt sources in the IP register.

Table 2. AUXR: Auxiliary Register

AUXR		Address = 8EH								Reset Value = XXX00XX0B	
		Not Bit Addressable									
Bit		-	-	-	WDIDLE	DISRTO	-	-	DISALE		
	7	6	5	4	3	2	1	0			
-		Reserved for future expansion									
DISALE		Disable/Enable ALE									
		DISALE									
		Operating Mode									
	0	ALE is emitted at a constant rate of 1/6 the oscillator frequency									
	1	ALE is active only during a MOVX or MOVC instruction									
DISRTO		Disable/Enable Reset out									
		DISRTO									
	0	Reset pin is driven High after WDT times out									
	1	Reset pin is input only									
WDIDLE		Disable/Enable WDT in IDLE mode									
		WDIDLE									
	0	WDT continues to count in IDLE mode									
	1	WDT halts counting in IDLE mode									

Dual Data Pointer Registers: To facilitate accessing both internal and external data memory, two banks of 16-bit Data Pointer Registers are provided: DP0 at SFR address locations 82H-83H and DP1 at 84H-85H. Bit DPS = 0 in SFR AUXR1 selects DP0 and DPS = 1 selects DP1. The user should always initialize the DPS bit to the appropriate value before accessing the respective Data Pointer Register.



Power Off Flag: The Power Off Flag (POF) is located at bit 4 (PCON.4) in the PCON SFR. POF is set to "1" during power up. It can be set and rest under software control and is not affected by reset.

Table 3. AUXR1: Auxiliary Register 1

AUXR1															
Address = A2H															
Reset Value = XXXXXXXX0B															
Not Bit Addressable															
<table border="1"> <tr> <td>Bit</td><td>7</td><td>6</td><td>5</td><td>4</td><td>3</td><td>2</td><td>1</td> </tr> </table>								Bit	7	6	5	4	3	2	1
Bit	7	6	5	4	3	2	1								
— Reserved for future expansion															
DPS	Data Pointer Register Select														
DPS															
0	Selects DPTR Registers DP0L, DP0H														
1	Selects DPTR Registers DP1L, DP1H														

Memory Organization

Program Memory

MCS-51 devices have a separate address space for Program and Data Memory. Up to 64K bytes each of external Program and Data Memory can be addressed.

If the EA pin is connected to GND, all program fetches are directed to external memory.

On the AT89S51, if EA is connected to V_{CC}, program fetches to addresses 0000H through FFFFH are directed to internal memory and fetches to addresses 1000H through FFFFH are directed to external memory.

Data Memory

The AT89S51 implements 128 bytes of on-chip RAM. The 128 bytes are accessible via direct and indirect addressing modes. Stack operations are examples of indirect addressing, so the 128 bytes of data RAM are available as stack space.

Watchdog Timer One-time Enabled with Set-out)

The WDT is intended as a recovery method in situations where the CPU may be subjected to software upsets. The WDT consists of a 14-bit counter and the Watchdog Timer Reset (WDTRST) SFR. The WDT is defaulted to disable from exiting reset. To enable the WDT, a user must write 01EH and 0E1H in sequence to the WDTRST register (SFR location 0A6H). When the WDT is enabled, it will increment every machine cycle while the oscillator is running. The WDT timeout period is dependent on the external clock frequency. There is no way to disable the WDT except through reset (either hardware reset or WDT overflow reset). When WDT overflows, it will drive an output RESET HIGH pulse at the RST pin.

Enabling the WDT

To enable the WDT, a user must write 01EH and 0E1H in sequence to the WDTRST register (SFR location 0A6H). When the WDT is enabled, the user needs to service it by writing 01EH and 0E1H to WDTRST to avoid a WDT overflow. The 14-bit counter overflows when it reaches 16383 (3FFFH), and this will reset the device. When the WDT is enabled, it will increment every machine cycle while the oscillator is running. This means the user must reset the WDT at least every 16383 machine cycles. To reset the WDT the user must write 01EH and 0E1H to WDTRST. WDTRST is a write-only register. The WDT counter cannot be read or written. When WDT overflows, it will generate an output RESET pulse at the RST pin. The RESET pulse duration is 98xTOSC, where TOSC=1/FOSC. To make the best use of the WDT, it

AT89S51

should be serviced in those sections of code that will periodically be executed within the time required to prevent a WDT reset.

DT During Power-down and Idle

In Power-down mode the oscillator stops, which means the WDT also stops. While in Power-down mode, the user does not need to service the WDT. There are two methods of exiting Power-down mode: by a hardware reset or via a level-activated external interrupt, which is enabled prior to entering Power-down mode. When Power-down is exited with hardware reset, servicing the WDT should occur as it normally does whenever the AT89S51 is reset. Exiting Power-down with an interrupt is significantly different. The interrupt is held low long enough for the oscillator to stabilize. When the interrupt is brought high, the interrupt is serviced. To prevent the WDT from resetting the device while the interrupt pin is held low, the WDT is not started until the interrupt is pulled high. It is suggested that the WDT be reset during the interrupt service for the interrupt used to exit Power-down mode.

To ensure that the WDT does not overflow within a few states of exiting Power-down, it is best to reset the WDT just before entering Power-down mode.

Before going into the IDLE mode, the WDIDLE bit in SFR AUXR is used to determine whether the WDT continues to count if enabled. The WDT keeps counting during IDLE (WDIDLE bit = 0) as the default state. To prevent the WDT from resetting the AT89S51 while in IDLE mode, the user should always set up a timer that will periodically exit IDLE, service the WDT, and reenter IDLE mode.

With WDIDLE bit enabled, the WDT will stop to count in IDLE mode and resumes the count upon exit from IDLE.

UART

The UART in the AT89S51 operates the same way as the UART in the AT89C51. For further information on the UART operation, refer to the ATMEL Web site (<http://www.atmel.com>). From the home page, select 'Products', then '8051-Architecture Flash Microcontroller', then 'Product Overview'.

Timer 0 and 1

Timer 0 and Timer 1 in the AT89S51 operate the same way as Timer 0 and Timer 1 in the AT89C51. For further information on the timers' operation, refer to the ATMEL Web site (<http://www.atmel.com>). From the home page, select 'Products', then '8051-Architecture Flash Microcontroller', then 'Product Overview'.

Interrupts

The AT89S51 has a total of five interrupt vectors: two external interrupts (INT0 and INT1), two timer interrupts (Timers 0 and 1), and the serial port interrupt. These interrupts are all shown in Figure 1.

Each of these interrupt sources can be individually enabled or disabled by setting or clearing a bit in Special Function Register IE. IE also contains a global disable bit, EA, which disables all interrupts at once.

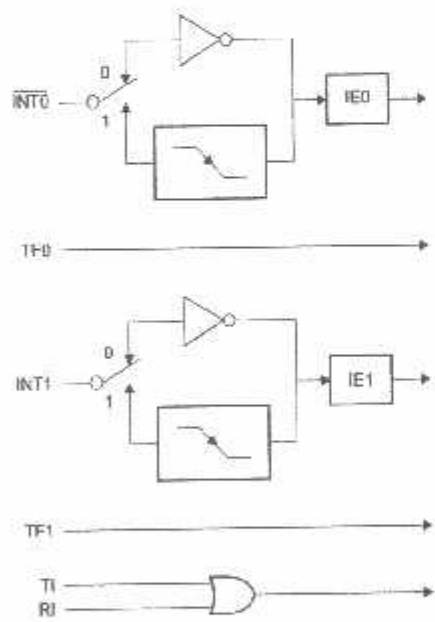
Note that Table 4 shows that bit position IE.6 is unimplemented. In the AT89S51, bit position IE.5 is also unimplemented. User software should not write 1s to these bit positions, since they may be used in future AT89 products.

The Timer 0 and Timer 1 flags, TF0 and TF1, are set at S5P2 of the cycle in which the timers overflow. The values are then polled by the circuitry in the next cycle.

Table 4. Interrupt Enable (IE) Register

(MSB)				(LSB)			
EA	-	-	ES	ET1	EX1	ET0	FX0
Enable Bit = 1 enables the interrupt.							
Enable Bit = 0 disables the interrupt.							
Symbol	Position	Function					
EA	IE.7	Disables all interrupts. If EA = 0, no interrupt is acknowledged. If EA = 1, each interrupt source is individually enabled or disabled by setting or clearing its enable bit.					
-	IE.6	Reserved					
-	IE.5	Reserved					
ES	IE.4	Serial Port interrupt enable bit					
ET1	IE.3	Timer 1 interrupt enable bit					
EX1	IE.2	External interrupt 1 enable bit					
ET0	IE.1	Timer 0 interrupt enable bit					
EX0	IE.0	External Interrupt 0 enable bit					

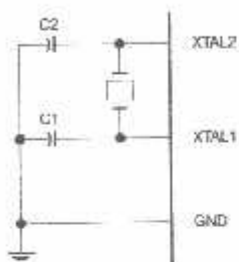
User software should never write 1s to reserved bits, because they may be used in future AT89 products.

Figure 1. Interrupt Sources

Oscillator Characteristics

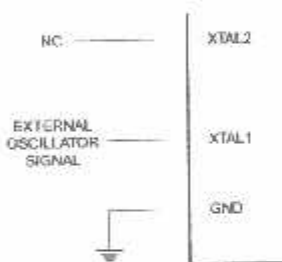
XTAL1 and XTAL2 are the input and output, respectively, of an inverting amplifier that can be configured for use as an on-chip oscillator, as shown in Figure 2. Either a quartz crystal or ceramic resonator may be used. To drive the device from an external clock source, XTAL2 should be left unconnected while XTAL1 is driven, as shown in Figure 3. There are no requirements on the duty cycle of the external clock signal, since the input to the internal clocking circuitry is through a divide-by-two flip-flop, but minimum and maximum voltage high and low time specifications must be observed.

Figure 2. Oscillator Connections



Note: C1, C2 = 30 pF ± 10 pF for Crystals = 40 pF ± 10 pF for Ceramic Resonators

Figure 3. External Clock Drive Configuration



Idle Mode

In idle mode, the CPU puts itself to sleep while all the on-chip peripherals remain active. The mode is invoked by software. The content of the on-chip RAM and all the special function registers remain unchanged during this mode. The idle mode can be terminated by any enabled interrupt or by a hardware reset.

Note that when idle mode is terminated by a hardware reset, the device normally resumes program execution from where it left off, up to two machine cycles before the internal reset algorithm takes control. On-chip hardware inhibits access to internal RAM in this event, but access to the port pins is not inhibited. To eliminate the possibility of an unexpected write to a port pin when idle mode is terminated by a reset, the instruction following the one that invokes idle mode should *not* write to a port pin or to external memory.

Power-down Mode

In the Power-down mode, the oscillator is stopped, and the instruction that invokes Power-down is the last instruction executed. The on-chip RAM and Special Function Registers retain their values until the Power-down mode is terminated. Exit from Power-down mode can be initiated either by a hardware reset or by activation of an enabled external interrupt into INT0 or INT1. Reset redefines the SFRs but does not change the on-chip RAM. The reset should not be activated before V_{CC} is restored to its normal operating level and must be held active long enough to allow the oscillator to restart and stabilize.

Table 5. Status of External Pins During Idle and Power-down Modes

Mode	Program Memory	ALE	PSEN	PORT0	PORT1	PORT2	PORT3
Idle	Internal	1	1	Data	Data	Data	Data
Idle	External	1	1	Float	Data	Address	Data
Power-down	Internal	0	0	Data	Data	Data	Data
Power-down	External	0	0	Float	Data	Data	Data

Programming Memory Lock Bits

The AT89S51 has three lock bits that can be left unprogrammed (U) or can be programmed (P) to obtain the additional features listed in the following table.

Table 6. Lock Bit Protection Modes

Program Lock Bits				Protection Type
	LB1	LB2	LB3	
1	U	U	U	No program lock features
2	P	U	U	MOV C instructions executed from external program memory are disabled from fetching code bytes from internal memory, EA is sampled and latched on reset, and further programming of the Flash memory is disabled
3	P	P	U	Same as mode 2, but verify is also disabled
4	P	P	P	Same as mode 3, but external execution is also disabled

When lock bit 1 is programmed, the logic level at the EA pin is sampled and latched during reset. If the device is powered up without a reset, the latch initializes to a random value and holds that value until reset is activated. The latched value of EA must agree with the current logic level at that pin in order for the device to function properly.

Programming Flash – Parallel Mode

The AT89S51 is shipped with the on-chip Flash memory array ready to be programmed. The programming interface needs a high-voltage (12-volt) program enable signal and is compatible with conventional third-party Flash or EPROM programmers.

The AT89S51 code memory array is programmed byte-by-byte.

Programming Algorithm: Before programming the AT89S51, the address, data, and control signals should be set up according to the Flash programming mode table and Figures 13 and 14. To program the AT89S51, take the following steps:

1. Input the desired memory location on the address lines.
2. Input the appropriate data byte on the data lines.
3. Activate the correct combination of control signals.
4. Raise EA/V_{PP} to 12V.
5. Pulse ALE/PROG once to program a byte in the Flash array or the lock bits. The byte-write cycle is self-timed and typically takes no more than 50 µs. Repeat steps 1 through 5, changing the address and data for the entire array or until the end of the object file is reached.

Data Polling: The AT89S51 features Data Polling to indicate the end of a byte write cycle. During a write cycle, an attempted read of the last byte written will result in the complement of the written data on P0.7. Once the write cycle has been completed, true data is valid on all outputs, and the next cycle may begin. Data Polling may begin any time after a write cycle has been initiated.

Ready/Busy: The progress of byte programming can also be monitored by the RDY/BSY output signal. P3.0 is pulled low after ALE goes high during programming to indicate BUSY. P3.0 is pulled high again when programming is done to indicate READY.

Program Verify: If lock bits LB1 and LB2 have not been programmed, the programmed code data can be read back via the address and data lines for verification. The status of the individual lock bits can be verified directly by reading them back.

Reading the Signature Bytes: The signature bytes are read by the same procedure as a normal verification of locations 000H, 100H, and 200H, except that P3.6 and P3.7 must be pulled to a logic low. The values returned are as follows.

- (000H) = 1EH indicates manufactured by Atmel
- (100H) = 51H indicates 89S51
- (200H) = 06H

Chip Erase: In the parallel programming mode, a chip erase operation is initiated by using the proper combination of control signals and by pulsing ALE/PROG low for a duration of 200 ns - 500 ns.

In the serial programming mode, a chip erase operation is initiated by issuing the Chip Erase instruction. In this mode, chip erase is self-timed and takes about 500 ms.

During chip erase, a serial read from any address location will return 00H at the data output.

Programming Flash – Serial Mode

The Code memory array can be programmed using the serial ISP interface while RST is pulled to V_{CC}. The serial interface consists of pins SCK, MOSI (input) and MISO (output). After RST is set high, the Programming Enable instruction needs to be executed first before other operations can be executed. Before a reprogramming sequence can occur, a Chip Erase operation is required.

The Chip Erase operation turns the content of every memory location in the Code array into FFH.

Either an external system clock can be supplied at pin XTAL1 or a crystal needs to be connected across pins XTAL1 and XTAL2. The maximum serial clock (SCK) frequency should be less than 1/16 of the crystal frequency. With a 33 MHz oscillator clock, the maximum SCK frequency is 2 MHz.

Serial Programming Algorithm

To program and verify the AT89S51 in the serial programming mode, the following sequence is recommended:

1. Power-up sequence:
Apply power between VCC and GND pins.
Set RST pin to "H".
If a crystal is not connected across pins XTAL1 and XTAL2, apply a 3 MHz to 33 MHz clock to XTAL1 pin and wait for at least 10 milliseconds.
2. Enable serial programming by sending the Programming Enable serial instruction to pin MOSI/P1.5. The frequency of the shift clock supplied at pin SCK/P1.7 needs to be less than the CPU clock at XTAL1 divided by 16.
3. The Code array is programmed one byte at a time in either the Byte or Page mode.
The write cycle is self-timed and typically takes less than 0.5 ms at 5V.
4. Any memory location can be verified by using the Read instruction that returns the content at the selected address at serial output MISO/P1.6.
5. At the end of a programming session, RST can be set low to commence normal device operation.

Power-off sequence (if needed):

Set XTAL1 to "L" (if a crystal is not used).

Set RST to "L".

Turn V_{CC} power off.

Data Polling: The Data Polling feature is also available in the serial mode. In this mode, during a write cycle an attempted read of the last byte written will result in the complement of the MSB of the serial output byte on MISO.

Serial Programming Instruction Set

Programming Interface – Parallel Mode

Every code byte in the Flash array can be programmed by using the appropriate combination of control signals. The write operation cycle is self-timed and once initiated, will automatically time itself to completion.

All major programming vendors offer worldwide support for the Atmel microcontroller series. Please contact your local programming vendor for the appropriate software revision.

Table 7. Flash Programming Modes

Mode	V _{CC}	RST	PSEN	ALE/ PROG	EA/ V _{PP}	P2.6	P2.7	P3.3	P3.6	P3.7	P0.7-0 Data	P2.3-0	P1.7-0
											Address		
Write Code Data	5V	H	L	(2)	12V	L	H	H	H	H	D _N	A11-8	A7-0
Read Code Data	5V	H	L	H	H	L	L	L	H	H	D _{OUT}	A11-8	A7-0
Write Lock Bit 1	5V	H	L	(3)	12V	H	H	H	H	H	X	X	X
Write Lock Bit 2	5V	H	L	(3)	12V	H	H	H	L	L	X	X	X
Write Lock Bit 3	5V	H	L	(3)	12V	H	L	H	H	L	X	X	X
Read Lock Bits 1, 3	5V	H	L	H	H	H	H	L	H	L	P0.2, P0.3, P0.4	X	X
Chip Erase	5V	H	I	(4)	12V	H	L	H	L	L	X	X	X
Read Atmel ID	5V	H	L	H	H	L	L	L	L	L	1EH	00C0	03H
Read Device ID	5V	H	L	H	H	L	L	L	L	L	51H	00B1	00H
Read Device ID	5V	H	L	H	H	I	L	L	L	L	06H	0010	00H

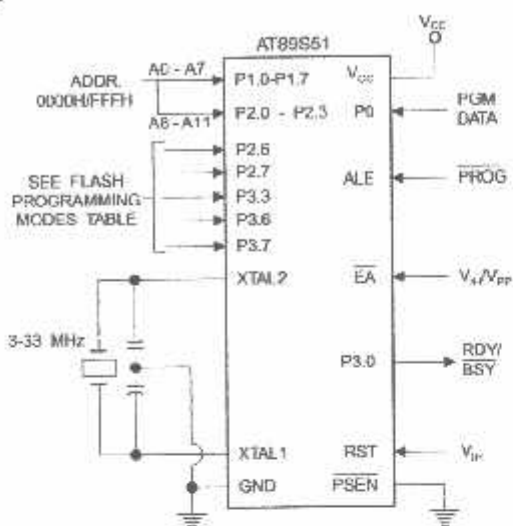
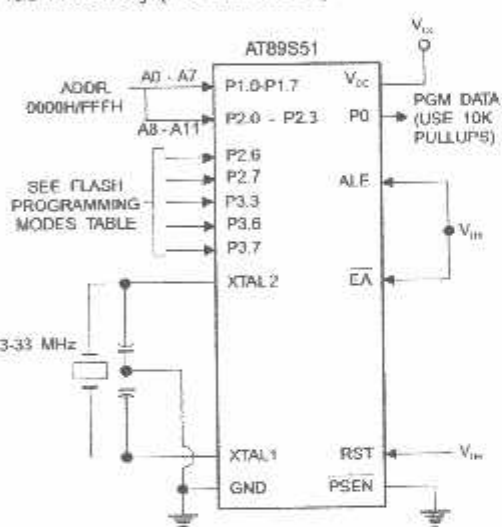
Notes: 1. Each PROG pulse is 200 ns - 500 ns for Chip Erase.

2. Each PROG pulse is 200 ns - 500 ns for Write Code Data.

3. Each PROG pulse is 200 ns - 500 ns for Write Lock Bits.

4. RDY/BSY signal is output on P3.0 during programming.

5. X = don't care.

Figure 4. Programming the Flash Memory (Parallel Mode)**Figure 5.** Verifying the Flash Memory (Parallel Mode)

Flash Programming and Verification Characteristics (Parallel Mode)= 20°C to 30°C, $V_{CC} = 4.5$ to 5.5V

Symbol	Parameter	Min	Max	Units
t_{AVS}	Programming Supply Voltage	11.5	12.5	V
i_{AVS}	Programming Supply Current	—	10	mA
i_{VCC}	V_{CC} Supply Current	—	30	mA
f_{CLK}	Oscillator Frequency	3	33	MHz
t_{ASL}	Address Setup to PROG Low	—	$48t_{CLCL}$	
t_{AHL}	Address Hold After PROG	—	$48t_{CLCL}$	
t_{DSL}	Data Setup to PROG Low	—	$48t_{CLCL}$	
t_{DHX}	Data Hold After PROG	—	$48t_{CLCL}$	
t_{PHS}	P2.7 (ENABLE) High to V_{PP}	—	$48t_{CLCL}$	
t_{VPS}	V_{PP} Setup to PROG Low	10	—	μs
t_{VPH}	V_{PP} Hold After PROG	10	—	μs
t_{PWL}	PROG Width	0.2	1	μs
t_{ADV}	Address to Data Valid	—	$48t_{CLCL}$	
t_{EVD}	ENABLE Low to Data Valid	—	$48t_{CLCL}$	
t_{DFL}	Data Float After ENABLE	0	$48t_{CLCL}$	
t_{PHL}	PROG High to BUSY Low	—	1.0	μs
t_{BWC}	Byte Write Cycle Time	—	50	μs

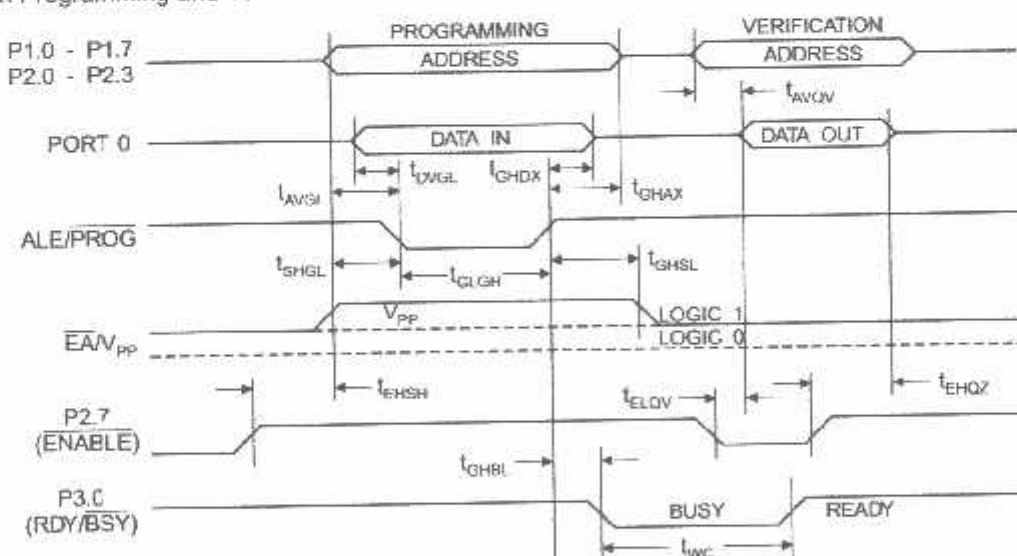
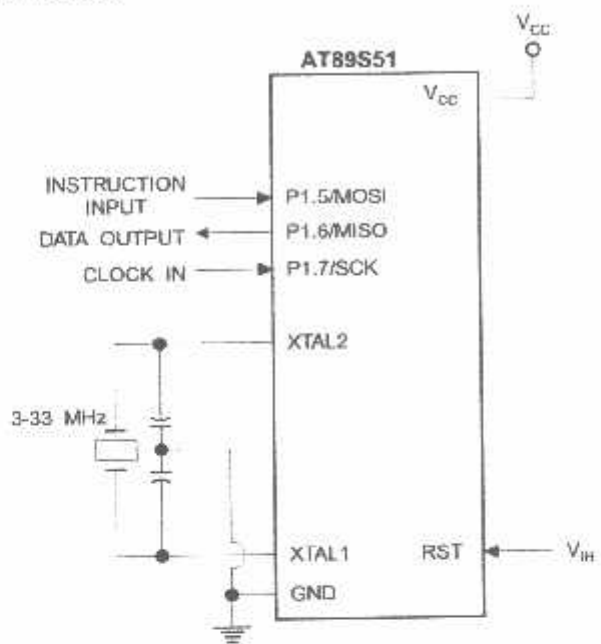
Figure 6. Flash Programming and Verification Waveforms – Parallel Mode

Figure 7. Flash Memory Serial Downloading



Flash Programming and Verification Waveforms – Serial Mode

Figure 8. Serial Programming Waveforms

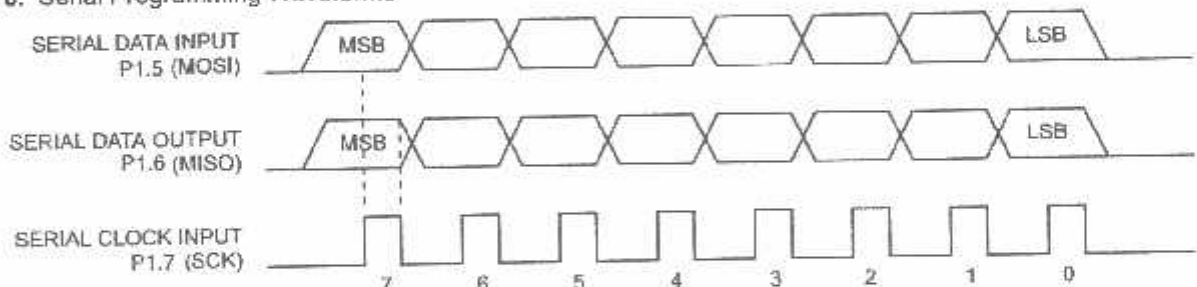


Table 8. Serial Programming Instruction Set

Instruction	Instruction Format				Operation
	Byte 1	Byte 2	Byte 3	Byte 4	
Serial Programming Enable	1010 1100	0101 0011	xxxx xxxx	xxxx xxxx 0110 1001 (Output)	Enable Serial Programming while RST is high
Chip Erase	1010 1100	100x xxxx	xxxx xxxx	xxxx xxxx	Chip Erase Flash memory array
Read Program Memory Byte Mode ⁽¹⁾	0010 0000	xxxx A ¹⁰⁰⁰ _{A₁A₂A₃A₄}	R ⁰⁰⁰⁰ ₀₀₀₀ ₀₀₀₀ ₀₀₀₀	R ⁰⁰⁰⁰ ₀₀₀₀ ₀₀₀₀ ₀₀₀₀	Read data from Program memory in the byte mode
Write Program Memory Byte Mode ⁽¹⁾	0100 0000	xxxx A ¹⁰⁰⁰ _{A₁A₂A₃A₄}	W ⁰⁰⁰⁰ ₀₀₀₀ ₀₀₀₀ ₀₀₀₀	W ⁰⁰⁰⁰ ₀₀₀₀ ₀₀₀₀ ₀₀₀₀	Write data to Program memory in the byte mode
Write Lock Bits ⁽²⁾	1010 1100	1110 00 B ¹ ₂	XXXX xxxx	XXXX xxxx	Write Lock bits. See Note (2).
Read Lock Bits	0010 0100	xxxx xxxx	xxxx xxxx	XX ⁰ ₁ ₂ ₃ ₄ XX ₅ ₆ ₇ ₈	Read back current status of the lock bits (a programmed lock bit reads back as a '1')
Read Signature Bytes ⁽³⁾	0010 1000	XXX A ¹⁰⁰⁰ _{A₁A₂A₃A₄}	XXX xxxx	XXX xxxx	Signature Byte
Read Program Memory Page Mode ⁽⁴⁾	0011 0000	xxxx A ¹⁰⁰⁰ _{A₁A₂A₃A₄}	Byte 0	Byte 1... Byte 255	Read data from Program memory in the Page Mode (256 bytes)
Write Program Memory Page Mode ⁽⁴⁾	0101 0000	xxxx A ¹⁰⁰⁰ _{A₁A₂A₃A₄}	Byte 0	Byte 1... Byte 255	Write data to Program memory in the Page Mode (256 bytes)

Note: 1. The signature bytes are not readable in Lock Bit Modes 3 and 4.

- 2. B1 = 0, B2 = 0 → Mode 1, no lock protection
- B1 = 0, B2 = 1 → Mode 2, lock bit 1 activated
- B1 = 1, B2 = 0 → Mode 3, lock bit 2 activated
- B1 = 1, B2 = 1 → Mode 4, lock bit 3 activated

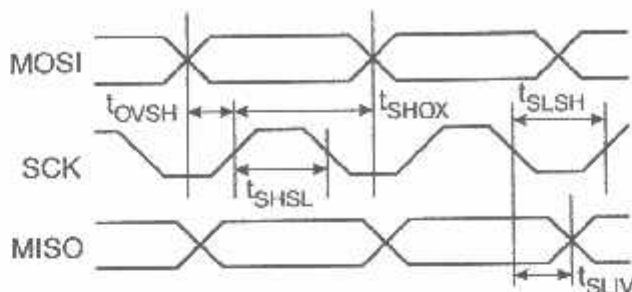
Each of the lock bits needs to be activated sequentially before Mode 4 can be executed.

After Reset signal is high, SCK should be low for at least 64 system clocks before it goes high to clock in the enable data bytes. No pulsing of Reset signal is necessary. SCK should be no faster than 1/16 of the system clock at XTAL 1.

For Page Read/Write, the data always starts from byte 0 to 255. After the command byte and upper address byte are latched, each byte thereafter is treated as data until all 256 bytes are shifted in/out. Then the next instruction will be ready to be decoded.

Serial Programming Characteristics

Figure 9. Serial Programming Timing

Table 9. Serial Programming Characteristics, $T_A = -40^\circ\text{C}$ to 85°C , $V_{CC} = 4.0$ - 5.5V (Unless Otherwise Noted)

Symbol	Parameter	Min	Typ	Max	Units
t_{CLCL}	Oscillator Frequency	0		33	MHz
t_{CLCL}	Oscillator Period	30			ns
t_{SHSL}	SCK Pulse Width High	$8 t_{CLCL}$			ns
t_{SLIV}	SCK Pulse Width Low	$8 t_{CLCL}$			ns
t_{OVSH}	MOSI Setup to SCK High	t_{CLCL}			ns
t_{SHOX}	MOSI Hold after SCK High	$2 t_{CLCL}$			ns
t_{SLIV}	SCK Low to MISO Valid	10	16	32	ns
t_{ERASF}	Chip Erase Instruction Cycle Time			500	ms
t_{SWC}	Serial Byte Write Cycle Time			$64 t_{CLCL} + 400$	μs

Absolute Maximum Ratings*

Operating Temperature.....	-55°C to +125°C
Storage Temperature.....	-65°C to +150°C
Voltage on Any Pin With Respect to Ground.....	-1.0V to +7.0V
Maximum Operating Voltage.....	6.6V
Output Current.....	15.0 mA

*NOTICE: Stresses beyond those listed under "Absolute Maximum Ratings" may cause permanent damage to the device. This is a stress rating only and functional operation of the device at these or any other conditions beyond those indicated in the operational sections of this specification is not implied. Exposure to absolute maximum rating conditions for extended periods may affect device reliability.

Characteristics

values shown in this table are valid for $T_A = -40^\circ\text{C}$ to 85°C and $V_{CC} = 4.0\text{V}$ to 5.5V , unless otherwise noted.

Symbol	Parameter	Condition	Min	Max	Units
	Input Low Voltage	(Except EA)	-0.5	0.2 V_{CC} to 0.1	V
	Input Low Voltage (EA)		-0.5	0.2 V_{CC} to 0.3	V
	Input High Voltage	(Except XTAL1, RST)	0.2 V_{CC} to 0.9	V_{CC} to 0.5	V
	Input High Voltage	(XTAL1, RST)	0.7 V_{CC}	V_{CC} to 0.5	V
	Output Low Voltage ⁽¹⁾ (Ports 1,2,3)	$I_{OL} = 1.6 \text{ mA}$		0.45	V
	Output Low Voltage ⁽¹⁾ (Port 0, ALE, PSEN)	$I_{OL} = 3.2 \text{ mA}$		0.45	V
		$I_{OH} = -60 \mu\text{A}, V_{CC} = 5\text{V} \pm 10\%$	2.4		V
		$I_{OH} = -25 \mu\text{A}$	0.75 V_{CC}		V
		$I_{OH} = -10 \mu\text{A}$	0.9 V_{CC}		V
		$I_{OH} = -800 \mu\text{A}, V_{CC} = 5\text{V} \pm 10\%$	2.4		V
		$I_{OH} = -300 \mu\text{A}$	0.75 V_{CC}		V
		$I_{OH} = -80 \mu\text{A}$	0.9 V_{CC}		V
	Logical 0 Input Current (Ports 1,2,3)	$V_{IN} = 0.45\text{V}$		-50	μA
	Logical 1 to 0 Transition Current (Ports 1,2,3)	$V_{IN} = 2\text{V}, V_{CC} = 5\text{V} \pm 10\%$		-650	μA
	Input Leakage Current (Port 0, EA)	$0.45 < V_{IN} < V_{CC}$		± 10	μA
ST	Reset Pulldown Resistor		50	300	K Ω
	Pin Capacitance	Test Freq. = 1 MHz, $T_A = 25^\circ\text{C}$		10	pF
		Active Mode, 12 MHz		25	mA
	Power Supply Current	Idle Mode, 12 MHz		6.5	mA
	Power-down Mode ⁽²⁾	$V_{CC} = 5.5\text{V}$		50	μA

- 5. 1. Under steady state (non-transient) conditions, I_{OL} must be externally limited as follows:
 Maximum I_{OL} per port pin: 10 mA
 Maximum I_{OL} per 8-bit port:
 Port 0: 26 mA Ports 1, 2, 3: 15 mA
 Maximum total I_{OL} for all output pins: 71 mA
 If I_{OL} exceeds the test condition, V_{OL} may exceed the related specification. Pins are not guaranteed to sink current greater than the listed test conditions.
 2. Minimum V_{CC} for Power-down is 2V.

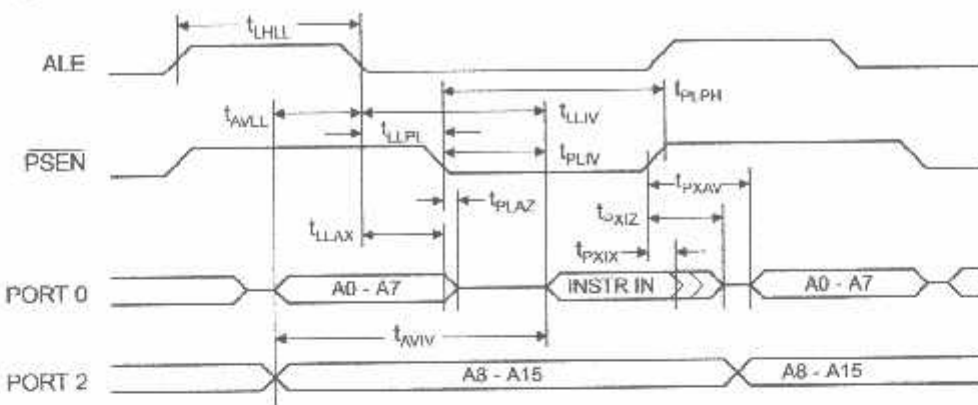
Characteristics

For operating conditions, load capacitance for Port 0, ALE/PROG, and PSEN = 100 pF; load capacitance for all other outputs = 80 pF.

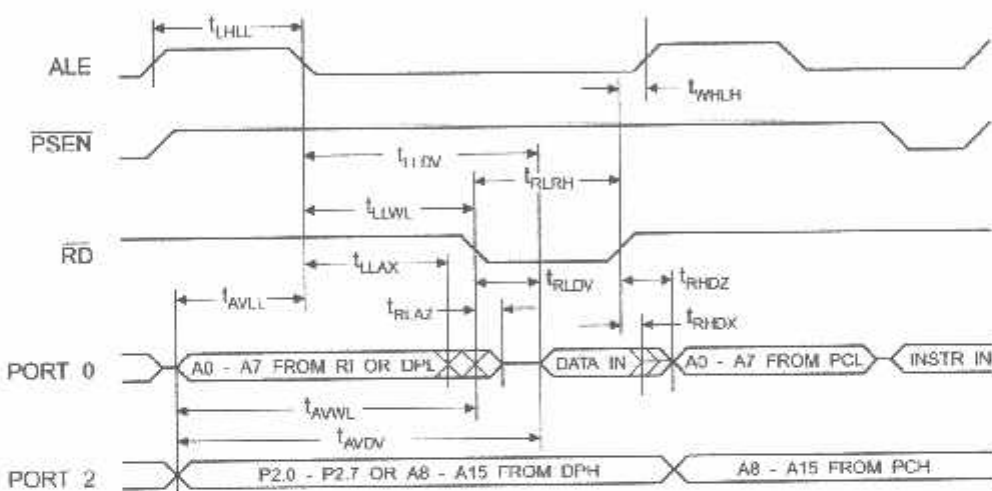
External Program and Data Memory Characteristics

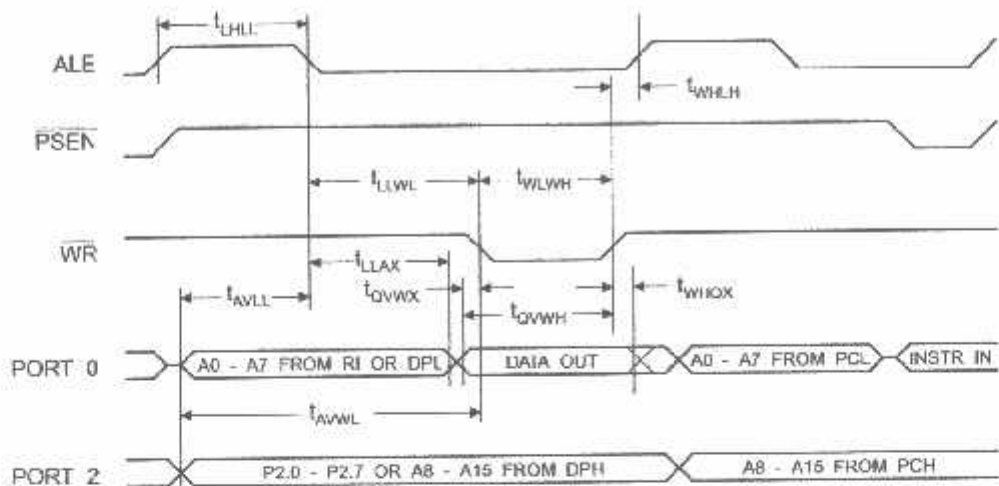
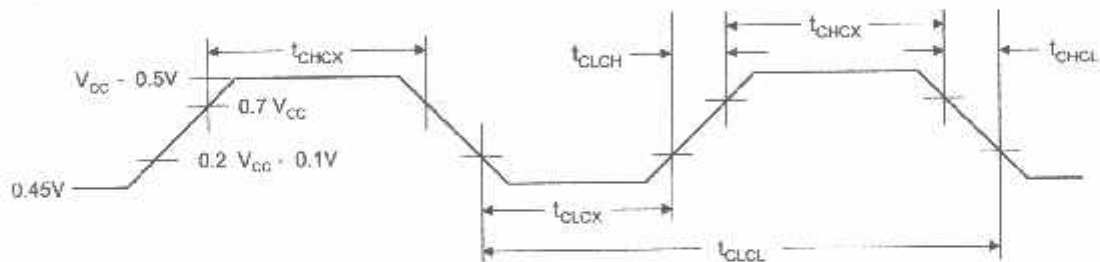
Symbol	Parameter	12 MHz Oscillator		Variable Oscillator		Units
		Min	Max	Min	Max	
t _{CLCL}	Oscillator Frequency			0	33	MHz
t _{LL}	ALE Pulse Width	127		2t _{CLCL} -40		ns
t _{VL}	Address Valid to ALE Low	43		t _{CLCL} -25		ns
t _{AX}	Address Hold After ALE Low	48		t _{CLCL} -25		ns
t _{IV}	ALE Low to Valid Instruction In		233		4t _{CLCL} -65	ns
t _{PL}	ALE Low to PSEN Low	43		t _{CLCL} -25		ns
t _{PH}	PSEN Pulse Width	205		3t _{CLCL} -45		ns
t _{IV}	PSEN Low to Valid Instruction In		145		3t _{CLCL} -60	ns
t _X	Input Instruction Hold After PSEN	0		0		ns
t _Z	Input Instruction Float After PSEN		59		t _{CLCL} -25	ns
t _{AV}	PSEN to Address Valid	75		t _{CLCL} -8		ns
t _{IV}	Address to Valid Instruction In		312		5t _{CLCL} -80	ns
t _Z	PSEN Low to Address Float		10		10	ns
t _{RH}	RD Pulse Width	400		6t _{CLCL} -100		ns
t _{WH}	WR Pulse Width	400		6t _{CLCL} -100		ns
t _W	RD Low to Valid Data In		252		5t _{CLCL} -90	ns
t _{DX}	Data Hold After RD	0		0		ns
t _{DZ}	Data Float After RD		97		2t _{CLCL} -28	ns
t _W	ALE Low to Valid Data In		517		8t _{CLCL} -150	ns
t _{YV}	Address to Valid Data In		585		9t _{CLCL} -165	ns
t _{AL}	ALE Low to RD or WR Low	200	300	3t _{CLCL} -60	3t _{CLCL} +50	ns
t _{ML}	Address to RD or WR Low	203		4t _{CLCL} -75		ns
t _{WX}	Data Valid to WR Transition	23		t _{CLCL} -30		ns
t _{WH}	Data Valid to WR High	433		7t _{CLCL} -130		ns
t _{QX}	Data Hold After WR	33		t _{CLCL} -25		ns
t _Z	RD Low to Address Float		0		0	ns
t _{IH}	RD or WR High to ALE High	43	123	t _{CLCL} -25	t _{CLCL} +25	ns

Internal Program Memory Read Cycle



Internal Data Memory Read Cycle



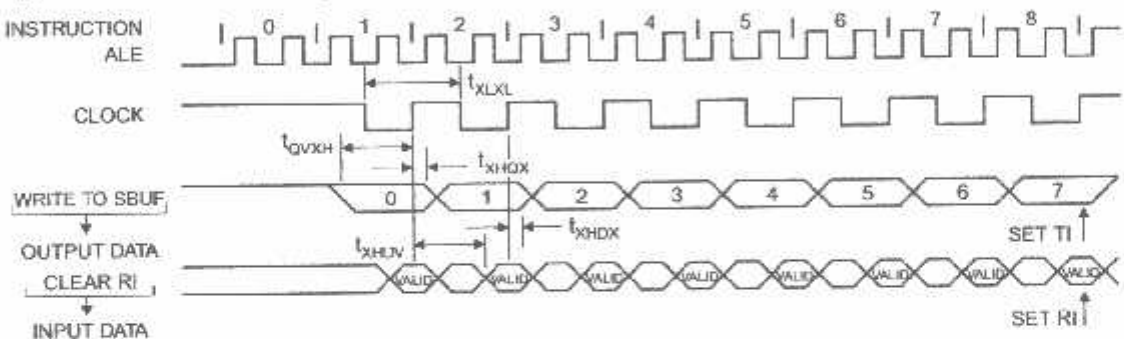
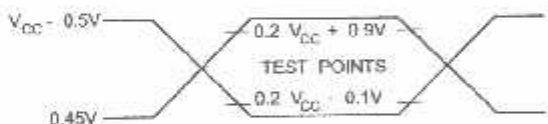
Internal Data Memory Write Cycle**Internal Clock Drive Waveforms****Internal Clock Drive**

Symbol	Parameter	Min	Max	Units
t_{CL}	Oscillator Frequency	0	33	MHz
t_L	Clock Period	30		ns
t_X	High Time	12		ns
t_X	Low Time	12		ns
t_H	Rise Time		5	ns
t_L	Fall Time	1	5	ns

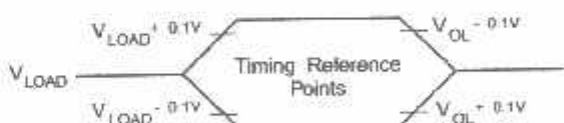
Serial Port Timing: Shift Register Mode Test Conditions

Values in this table are valid for $V_{CC} = 4.0V$ to $5.5V$ and Load Capacitance = 80 pF .

Symbol	Parameter	12 MHz Osc		Variable Oscillator		Units
		Min	Max	Min	Max	
t_{XL}	Serial Port Clock Cycle Time	1.0		$12t_{CLCL}$		μs
t_{QXH}	Output Data Setup to Clock Rising Edge	700		$10t_{CLCL}-133$		ns
t_{DXH}	Output Data Hold After Clock Rising Edge	50		$2t_{CLCL}-80$		ns
t_{IDX}	Input Data Hold After Clock Rising Edge	0		0		ns
t_{DV}	Clock Rising Edge to Input Data Valid		700		$10t_{CLCL}-133$	ns

Shift Register Mode Timing Waveforms**Testing Input/Output Waveforms⁽¹⁾**

- AC Inputs during testing are driven at $V_{CC} - 0.5V$ for a logic 1 and $0.45V$ for a logic 0. Timing measurements are made at V_H min. for a logic 1 and V_L max. for a logic 0.

Load Waveforms⁽¹⁾

- For timing purposes, a port pin is no longer floating when a 100 mV change from load voltage occurs. A port pin begins to float when a 100 mV change from the loaded V_{OH}/V_{OL} level occurs.

Ordering Information

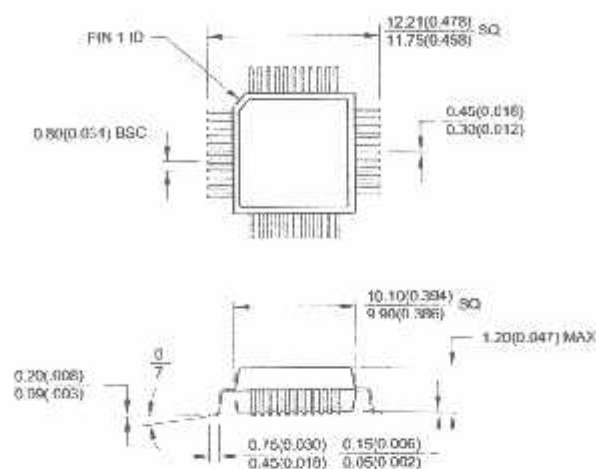
Speed (MHz)	Power Supply	Ordering Code	Package	Operation Range
24	4.0V to 5.5V	AT89S51-24AC	44A	Commercial (0°C to 70°C)
		AT89S51-24JC	44J	
		AT89S51-24PC	40P6	
		AT89S51-24AI	44A	Industrial (-40°C to 85°C)
		AT89S51-24JI	44J	
		AT89S51-24PI	40P6	
33	4.5V to 5.5V	AT89S51-33AC	44A	Commercial (0°C to 70°C)
		AT89S51-33JC	44J	
		AT89S51-33PC	40P6	

 = Preliminary Availability

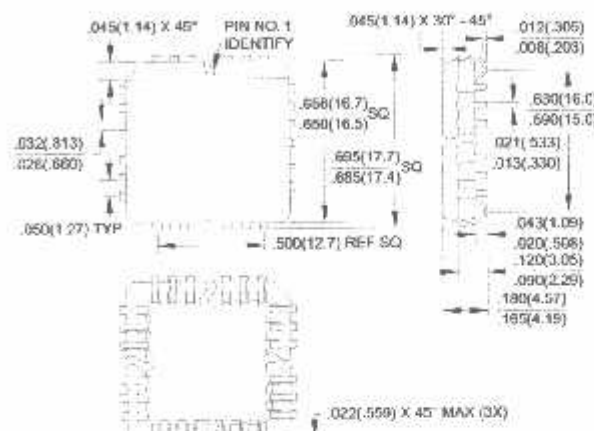
Package Type	
1	44-lead, Thin Plastic Gull Wing Quad Flatpack (TQFP)
6	44-lead, Plastic J-leaded Chip Carrier (PLCC)
6	40-pin, 0.600" Wide, Plastic Dual Inline Package (PDIP)

Packaging Information

44A, 44-lead, Thin (1.0 mm) Plastic Gull Wing Quad Flat Package (TQFP)
Dimensions in Millimeters and (Inches)*



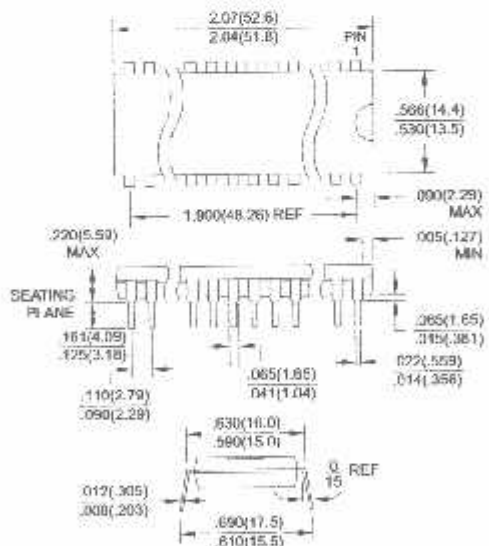
44J, 44-lead, Plastic J-leaded Chip Carrier (PLCC)
Dimensions in Inches and (Millimeters)



*Controlling dimension; millimeters

40P6, 40-pin, 0.600" Wide, Plastic Dual Inline Package (PDIP)
Dimensions in Inches and (Millimeters)

JEDEC STANDARD MS-017 AC



AT89S51

2487A-10/01



Atmel Headquarters

Corporate Headquarters
2325 Orchard Parkway
San Jose, CA 95131
TEL (408) 441-0311
FAX (408) 487-2600

Europe
Atmel Srl
Route des Arsenaux 41
Casa Postale 80
CH-1705 Fribourg
Switzerland
TEL (41) 26-426-5555
FAX (41) 26-426-5500

Asia
Atmel Asia, Ltd.
Room 1219
Chinachem Golden Plaza
7 Mody Road Tsimshatsui
East Kowloon
Hong Kong
TEL (852) 2721-9778
FAX (852) 2722-1369

Japan
Atmel Japan K.K.
F, Tonetsu Shinkawa Bldg.
24-8 Shinkawa
Chuo-ku, Tokyo 104-0033
Japan
TEL (81) 3-3523-3551
FAX (81) 3-3523-7581

Atmel Product Operations

Atmel Colorado Springs
1150 E. Cheyenne Mtn. Blvd.
Colorado Springs, CO 80906
TEL (719) 576-3300
FAX (719) 540-1759

Atmel Grenoble
Avenue de Rochepleine
BP 123
38521 Saint-Egreve Cedex, France
TEL (33) 4-7658-3000
FAX (33) 4-7658-3480

Atmel Heilbronn
Theresienstrasse 2
POB 3535
D-74025 Heilbronn, Germany
TEL (49) 71 31 67 25 94
FAX (49) 71 31 67 24 23

Atmel Nantes
La Chantrerie
BP 70602
44306 Nantes Cedex 3, France
TEL (33) 0 2 40 18 18 18
FAX (33) 0 2 40 18 19 60

Atmel Rousset
Zone Industrielle
13106 Rousset Cedex, France
TEL (33) 4-4253-6000
FAX (33) 4-4253-6001

Atmel Smart Card ICs
Scottish Enterprise Technology Park
East Kilbride, Scotland G75 0QR
TEL (44) 1355-357-000
FAX (44) 1355-242-743

e-mail
literature@atmel.com

Web Site
<http://www.atmel.com>

Atmel Corporation 2001.

Atmel Corporation makes no warranty for the use of its products, other than those expressly contained in the Company's standard warranty as detailed in Atmel's Terms and Conditions located on the Company's web site. The Company assumes no responsibility for any errors which may appear in this document, reserves the right to change devices or specifications detailed herein at any time without notice, and does not make any commitment to update the information contained herein. No licenses to patents or other intellectual property of Atmel are granted by the Company in connection with the sale of Atmel products, expressly or by implication. Atmel's products are not authorized for use as critical components in life support devices or systems.

Intel® is the registered trademark of Intel.

Intel® is the registered trademark of Intel Corporation. Terms and product names in this document may be trademarks of others.

Printed on recycled paper.

2487A-10/01/XM

www.maxim-ic.com

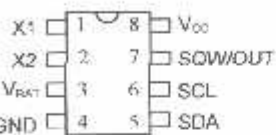
FEATURES

Real-time clock (RTC) counts seconds, minutes, hours, date of the month, month, day of the week, and year with leap-year compensation valid up to 2100
 56-byte, battery-backed, nonvolatile (NV) RAM for data storage
 Two-wire serial interface
 Programmable squarewave output signal
 Automatic power-fail detect and switch circuitry
 Consumes less than 500nA in battery backup mode with oscillator running
 Optional industrial temperature range:
 -40°C to +85°C
 Available in 8-pin DIP or SOIC
 Underwriters Laboratory (UL) recognized

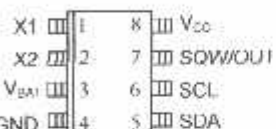
ORDERING INFORMATION

DS1307	8-Pin DIP (300-mil)
DS1307Z	8-Pin SOIC (150-mil)
DS1307N	8-Pin DIP (Industrial)
DS1307ZN	8-Pin SOIC (Industrial)

PIN ASSIGNMENT



DS1307 8-Pin DIP (300-mil)



DS1307 8-Pin SOIC (150-mil)

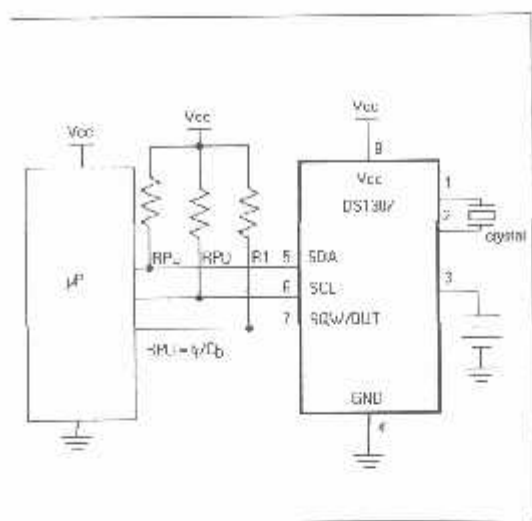
PIN DESCRIPTION

V _{CC}	- Primary Power Supply
X1, X2	- 32.768kHz Crystal Connection
V _{BAT}	- +3V Battery Input
GND	- Ground
SDA	- Serial Data
SCL	- Serial Clock
SQW/OUT	- Square Wave/Output Driver

DESCRIPTION

The DS1307 Serial Real-Time Clock is a low-power, full binary-coded decimal (BCD) clock/calendar with 56 bytes of NV SRAM. Address and data are transferred serially via a 2-wire, bi-directional bus. The clock/calendar provides seconds, minutes, hours, day, date, month, and year information. The end of month date is automatically adjusted for months with fewer than 31 days, including corrections for leap year. The clock operates in either the 24-hour or 12-hour format with AM/PM indicator. The DS1307 has a built-in power sense circuit that detects power failures and automatically switches to the battery supply.

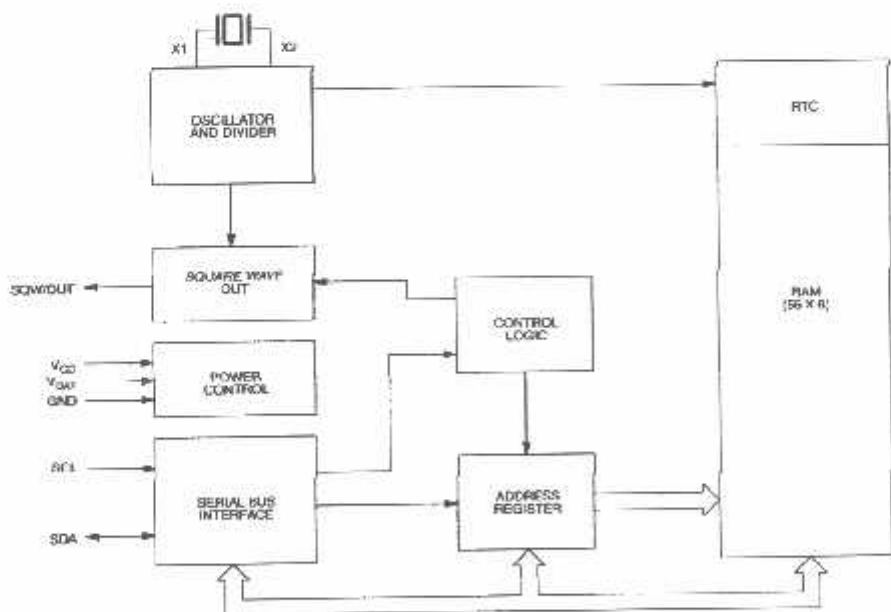
YPICAL OPERATING CIRCUIT



PERATION

The DS1307 operates as a slave device on the serial bus. Access is obtained by implementing a START condition and providing a device identification code followed by a register address. Subsequent registers can be accessed sequentially until a STOP condition is executed. When V_{CC} falls below $1.25 \times V_{BAT}$ the device terminates an access in progress and resets the device address counter. Inputs to the device will not be recognized at this time to prevent erroneous data from being written to the device from an out-of- tolerance system. When V_{CC} falls below V_{BAT} the device switches into a low-current battery backup mode. Upon power-up, the device switches from battery to V_{CC} when V_{CC} is greater than $V_{BAT} + 0.2V$ and recognizes inputs when V_{CC} is greater than $1.25 \times V_{BAT}$. The block diagram in Figure 1 shows the main elements of the serial RTC.

51307 BLOCK DIAGRAM Figure 1



SIGNAL DESCRIPTIONS

V_{CC}, GND – DC power is provided to the device on these pins. V_{CC} is the +5V input. When 5V is applied within normal limits, the device is fully accessible and data can be written and read. When a 3V battery is connected to the device and V_{CC} is below 1.25 x V_{BAT}, reads and writes are inhibited. However, the timekeeping function continues unaffected by the lower input voltage. As V_{CC} falls below V_{BAT} the RAM and timer are switched over to the external power supply (nominal 3.0V DC) at V_{BAT}.

V_{BAT} – Battery input for any standard 3V lithium cell or other energy source. Battery voltage must be held between 2.0V and 3.5V for proper operation. The nominal write protect trip point voltage at which access to the RTC and user RAM is denied is set by the internal circuitry as 1.25 x V_{BAT} nominal. A lithium battery with 48mAhr or greater will back up the DS1307 for more than 10 years in the absence of power at 25°C. UL recognized to ensure against reverse charging current when used in conjunction with a lithium battery.

See "Conditions of Acceptability" at <http://www.maxim-ic.com/TechSupport/QA/ntr1.htm>.

SCL (Serial Clock Input) – SCL is used to synchronize data movement on the serial interface.

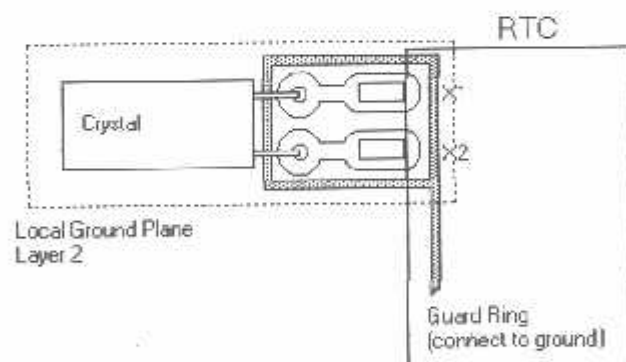
SDA (Serial Data Input/Output) – SDA is the input/output pin for the 2-wire serial interface. The SDA pin is open drain which requires an external pullup resistor.

SQW/OUT (Square Wave/Output Driver) – When enabled, the SQWE bit set to 1, the SQW/OUT pin outputs one of four square wave frequencies (1Hz, 4kHz, 8kHz, 32kHz). The SQW/OUT pin is open drain and requires an external pull-up resistor. SQW/OUT will operate with either V_{CC} or V_{BAT} applied.

X1, X2 – Connections for a standard 32.768kHz quartz crystal. The internal oscillator circuitry is designed for operation with a crystal having a specified load capacitance (CL) of 12.5pF.

For more information on crystal selection and crystal layout considerations, please consult Application Note 58, "Crystal Considerations with Dallas Real-Time Clocks." The DS1307 can also be driven by an internal 32.768kHz oscillator. In this configuration, the X1 pin is connected to the external oscillator terminal and the X2 pin is floated.

RECOMMENDED LAYOUT FOR CRYSTAL



LOCK ACCURACY

The accuracy of the clock is dependent upon the accuracy of the crystal and the accuracy of the match between the capacitive load of the oscillator circuit and the capacitive load for which the crystal was immed. Additional error will be added by crystal frequency drift caused by temperature shifts. External circuit noise coupled into the oscillator circuit may result in the clock running fast. See Application Note 3, "Crystal Considerations with Dallas Real-Time Clocks" for detailed information.

Please review Application Note 95, "Interfacing the DS1307 with a 8051-Compatible Microcontroller" for additional information.

TC AND RAM ADDRESS MAP

The address map for the RTC and RAM registers of the DS1307 is shown in Figure 2. The RTC registers are located in address locations 00h to 07h. The RAM registers are located in address locations 08h to 3Fh. During a multi-byte access, when the address pointer reaches 3Fh, the end of RAM space, it wraps around to location 00h, the beginning of the clock space.

S1307 ADDRESS MAP Figure 2

00H	SECONDS
	MINUTES
	HOURS
	DAY
	DATE
	MONTH
	YEAR
07H	CONTROL
08H	RAM 58 x 8
3FH	

LOCK AND CALENDAR

The time and calendar information is obtained by reading the appropriate register bytes. The RTC registers are illustrated in Figure 3. The time and calendar are set or initialized by writing the appropriate register bytes. The contents of the time and calendar registers are in the BCD format. Bit 7 of register 0 is the clock halt (CH) bit. When this bit is set to a 1, the oscillator is disabled. When cleared to a 0, the oscillator is enabled.

Please note that the initial power-on state of all registers is not defined. Therefore, it is important to enable the oscillator (CH bit = 0) during initial configuration.

The DS1307 can be run in either 12-hour or 24-hour mode. Bit 6 of the hours register is defined as the 12- or 24-hour mode select bit. When high, the 12-hour mode is selected. In the 12-hour mode, bit 5 is the AM/PM bit with logic high being PM. In the 24-hour mode, bit 5 is the second 10 hour bit (20-hours).

After a 2-wire START, the current time is transferred to a second set of registers. The time information is read from these secondary registers, while the clock may continue to run. This eliminates the need to read the registers in case of an update of the main registers during a read.

IS1307 TIMEKEEPER REGISTERS Figure 3

								BIT7									BIT0	
00H								CH	10 SECONDS			SECONDS					00-69	
								0	10 MINUTES			MINUTES					00-59	
								0	12	24	A/P	10 HR	10 HR					00-23
								0	0	0	0	0	HOURS					01-12
								0	0	0	0	0	DAY					00-31
								0	0	0	0	0	DATE					01-31
								0	0	0	0	0	MONTH					01-12
								10 YEAR			YEAR					00-99		
07H								OUT	0	0	SQWE	0	0	RS1	RS0			

ONTROL REGISTER

The DS1307 control register is used to control the operation of the SQW/OUT pin.

BIT 7	BIT 6	BIT 5	BIT 4	BIT 3	BIT 2	BIT 1	BIT 0
OUT	C	0	SQWE	0	0	RS1	RS0

UT (Output control): This bit controls the output level of the SQW/OUT pin when the square wave output is disabled. If SQWE = 0, the logic level on the SQW/OUT pin is 1 if OUT = 1 and is 0 if OUT = 0.

QWE (Square Wave Enable): This bit, when set to a logic 1, will enable the oscillator output. The frequency of the square wave output depends upon the value of the RS0 and RS1 bits. With the square wave output set to 1Hz, the clock registers update on the falling edge of the square wave.

S (Rate Select): These bits control the frequency of the square wave output when the square wave output has been enabled. Table 1 lists the square wave frequencies that can be selected with the RS bits.

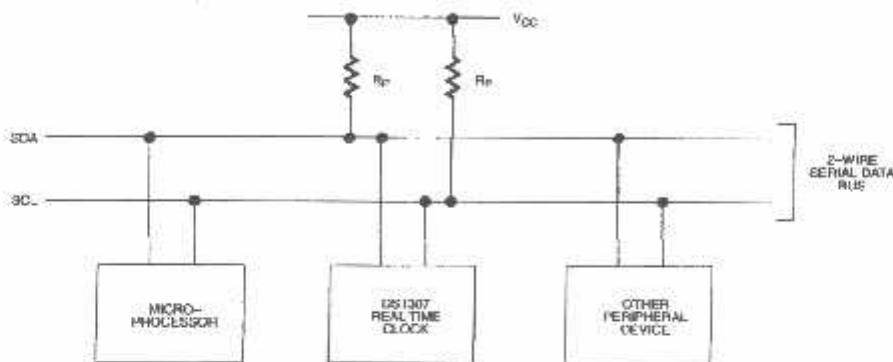
QUAREWAVE OUTPUT FREQUENCY Table 1

RS1	RS0	SQW OUTPUT FREQUENCY
0	0	1Hz
0	1	4.096kHz
1	0	8.192kHz
1	1	32.768kHz

2-WIRE SERIAL DATA BUS

The DS1307 supports a bi-directional, 2-wire bus and data transmission protocol. A device that sends data onto the bus is defined as a transmitter and a device receiving data as a receiver. The device that controls the message is called a master. The devices that are controlled by the master are referred to as slaves. The bus must be controlled by a master device that generates the serial clock (SCL), controls the bus access, and generates the START and STOP conditions. The DS1307 operates as a slave on the 2-wire bus. A typical bus configuration using this 2-wire protocol is shown in Figure 4.

TYPICAL 2-WIRE BUS CONFIGURATION Figure 4



Figures 5, 6, and 7 detail how data is transferred on the 2-wire bus.

- Data transfer may be initiated only when the bus is not busy.
- During data transfer, the data line must remain stable whenever the clock line is HIGH. Changes in the data line while the clock line is high will be interpreted as control signals.

Accordingly, the following bus conditions have been defined:

Bus not busy: Both data and clock lines remain HIGH.

Start data transfer: A change in the state of the data line, from HIGH to LOW, while the clock is HIGH, defines a START condition.

Stop data transfer: A change in the state of the data line, from LOW to HIGH, while the clock line is HIGH, defines the STOP condition.

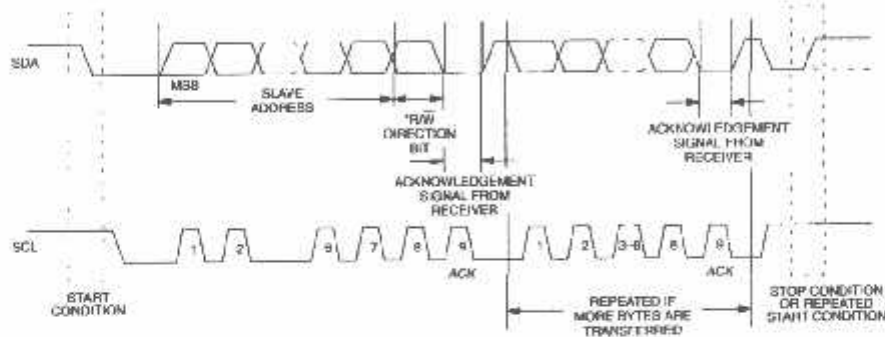
Data valid: The state of the data line represents valid data when, after a START condition, the data line is stable for the duration of the HIGH period of the clock signal. The data on the line must be changed during the LOW period of the clock signal. There is one clock pulse per bit of data.

Each data transfer is initiated with a START condition and terminated with a STOP condition. The number of data bytes transferred between START and STOP conditions is not limited, and is determined by the master device. The information is transferred byte-wise and each receiver acknowledges with a ninth bit. Within the 2-wire bus specifications a regular mode (100kHz clock rate) and a fast mode (400kHz clock rate) are defined. The DS1307 operates in the regular mode (100kHz) only.

Acknowledge: Each receiving device, when addressed, is obliged to generate an acknowledge after the reception of each byte. The master device must generate an extra clock pulse which is associated with his acknowledge bit.

A device that acknowledges must pull down the SDA line during the acknowledge clock pulse in such a way that the SDA line is stable LOW during the HIGH period of the acknowledge related clock pulse. Of course, setup and hold times must be taken into account. A master must signal an end of data to the slave by not generating an acknowledge bit on the last byte that has been clocked out of the slave. In this case, the slave must leave the data line HIGH to enable the master to generate the STOP condition.

DATA TRANSFER ON 2-WIRE SERIAL BUS Figure 5



Depending upon the state of the R/W bit, two types of data transfer are possible:

Data transfer from a master transmitter to a slave receiver. The first byte transmitted by the master is the slave address. Next follows a number of data bytes. The slave returns an acknowledge bit after each received byte. Data is transferred with the most significant bit (MSB) first.

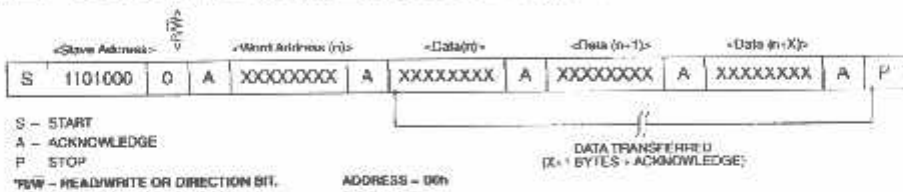
Data transfer from a slave transmitter to a master receiver. The first byte (the slave address) is transmitted by the master. The slave then returns an acknowledge bit. This is followed by the slave transmitting a number of data bytes. The master returns an acknowledge bit after all received bytes other than the last byte. At the end of the last received byte, a "not acknowledge" is returned.

The master device generates all of the serial clock pulses and the START and STOP conditions. A transfer is ended with a STOP condition or with a repeated START condition. Since a repeated START condition is also the beginning of the next serial transfer, the bus will not be released. Data is transferred with the most significant bit (MSB) first.

The DS1307 may operate in the following two modes:

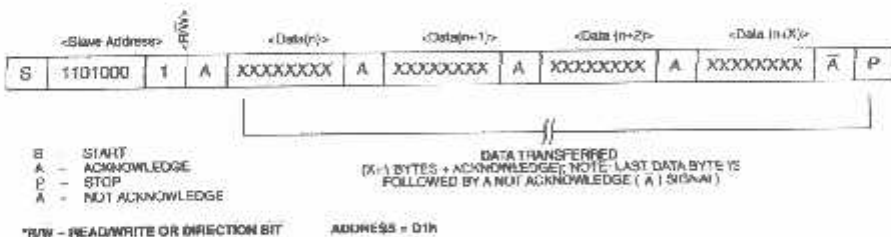
- Slave receiver mode (DS1307 write mode):** Serial data and clock are received through SDA and SCL. After each byte is received an acknowledge bit is transmitted. START and STOP conditions are recognized as the beginning and end of a serial transfer. Address recognition is performed by hardware after reception of the slave address and *direction bit (See Figure 6). The address byte is the first byte received after the start condition is generated by the master. The address byte contains the 7 bit DS1307 address, which is 1101000, followed by the *direction bit (R/W) which, for a write, is a 0. After receiving and decoding the address byte the device outputs an acknowledge on the SDA line. After the DS1307 acknowledges the slave address + write bit, the master transmits a register address to the DS1307. This will set the register pointer on the DS1307. The master will then begin transmitting each byte of data with the DS1307 acknowledging each byte received. The master will generate a stop condition to terminate the data write.

DATA WRITE – SLAVE RECEIVER MODE Figure 6



- Slave transmitter mode (DS1307 read mode):** The first byte is received and handled as in the slave receiver mode. However, in this mode, the *direction bit will indicate that the transfer direction is reversed. Serial data is transmitted on SDA by the DS1307 while the serial clock is input on SCL. START and STOP conditions are recognized as the beginning and end of a serial transfer (See Figure 7). The address byte is the first byte received after the start condition is generated by the master. The address byte contains the 7-bit DS1307 address, which is 1101000, followed by the *direction bit (R/W) which, for a read, is a 1. After receiving and decoding the address byte the device inputs an acknowledge on the SDA line. The DS1307 then begins to transmit data starting with the register address pointed to by the register pointer. If the register pointer is not written to before the initiation of a read mode the first address that is read is the last one stored in the register pointer. The DS1307 must receive a "not acknowledge" to end a read.

DATA READ – SLAVE TRANSMITTER MODE Figure 7



ABSOLUTE MAXIMUM RATINGS*

Voltage on Any Pin Relative to Ground	-0.5V to +7.0V
Storage Temperature	-55°C to +125°C
Soldering Temperature	260°C for 10 seconds DIP
	See JPC/JEDEC Standard J-STD-020A for Surface Mount Devices

*This is a stress rating only and functional operation of the device at these or any other conditions above those indicated in the operation sections of this specification is not implied. Exposure to absolute maximum rating conditions for extended periods of time may affect reliability.

Range	Temperature	V _{CC}
Commercial	0°C to +70°C	4.5V to 5.5V V _{CC1}
Industrial	-40°C to +85°C	4.5V to 5.5V V _{CC1}

RECOMMENDED DC OPERATING CONDITIONS

(Over the operating range*)

PARAMETER	SYMBOL	MIN	TYP	MAX	UNITS	NOTES
Supply Voltage	V _{CC}	4.5	5.0	5.5	V	
Logic 1	V _{IH}	2.2		V _{CC} + 0.3	V	
Logic 0	V _{IL}	-0.5		+0.8	V	
V _{BAT} Battery Voltage	V _{BAT}	2.0		3.5	V	

Unless otherwise specified.

IC ELECTRICAL CHARACTERISTICS

(Over the operating range*)

PARAMETER	SYMBOL	MIN	TYP	MAX	UNITS	NOTES
Input Leakage (SCL)	I _{L1}			1	µA	
/O Leakage (SDA & SQW/OUT)	I _{LO}			1	µA	
Logic 0 Output (I _{OL} = 5mA)	V _{OL}			0.4	V	
Active Supply Current	I _{CCA}			1.5	mA	7
Standby Current	I _{CCS}			200	µA	1
Battery Current (OSC ON); SQW/OUT OFF	I _{BAT1}		300	500	nA	2
Battery Current (OSC ON); SQW/OUT ON (32kHz)	I _{BAT2}		480	800	nA	
Power-Fail Voltage	V _{PF}	1.216 x V _{BAT}	1.25 x V _{BAT}	1.284 x V _{BAT}	V	8

Unless otherwise specified.

AC ELECTRICAL CHARACTERISTICS

(Over the operating range*)

PARAMETER	SYMBOL	MIN	TYP	MAX	UNITS	NOTES
SCL Clock Frequency	f_{SCL}	0		100	kHz	
Bus Free Time Between a STOP and START Condition	t_{BLF}	4.7			μs	
Hold Time (Repeated) START Condition	$t_{HLD STA}$	4.0			μs	3
LOW Period of SCL Clock	t_{LOW}	4.7			μs	
HIGH Period of SCL Clock	t_{HIGH}	4.0			μs	
Set-up Time for a Repeated START Condition	$t_{SU STA}$	4.7			μs	
Data Hold Time	$t_{HD DAT}$	0			μs	4,5
Data Set-up Time	$t_{SU DAT}$	250			ns	
Rise Time of Both SDA and SCL Signals	t_R			1000	ns	
Fall Time of Both SDA and SCL Signals	t_F			300	ns	
Set-up Time for STOP Condition	$t_{SU STO}$	4.7			μs	
Capacitive Load for each Bus Line	C_B			400	pF	6
	C_{IO}		10		pF	
Output Capacitance ($T_A = 25^\circ C$)						
Crystal Specified Load Capacitance ($T_A = 25^\circ C$)			12.5		pF	

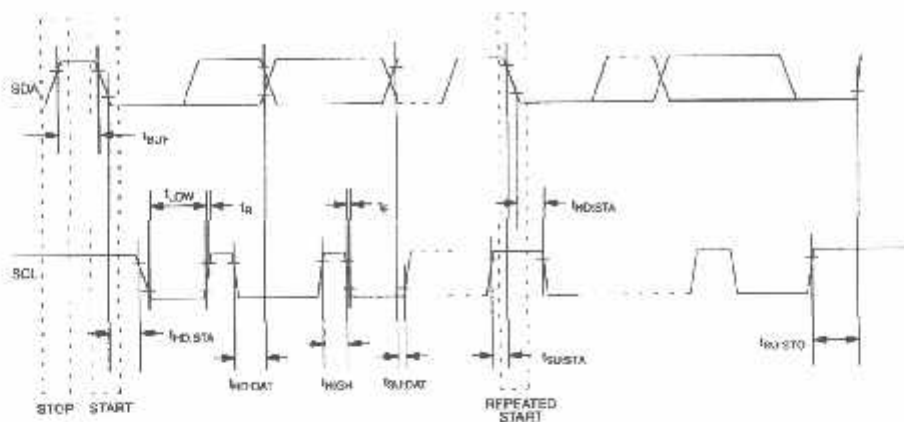
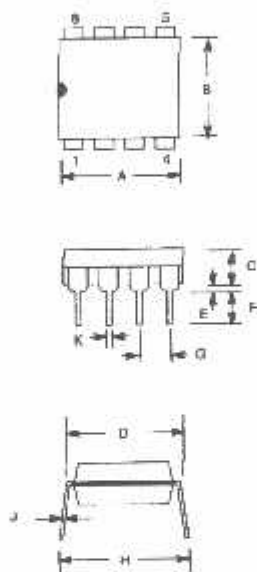
Unless otherwise specified.

NOTES:I_{CCS} specified with V_{CC} = 5.0V and SDA, SCL = 5.0V.V_{CC} = 0V, V_{BAT} = 3V.

After this period, the first clock pulse is generated.

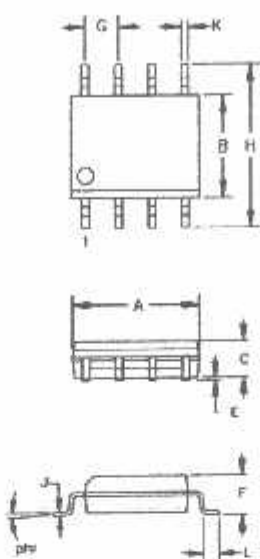
A device must internally provide a hold time of at least 300ns for the SDA signal (referred to the V_{HLMIN} of the SCL signal) in order to bridge the undefined region of the falling edge of SCL.The maximum t_{HD DAT} has only to be met if the device does not stretch the LOW period (t_{LOW}) of the SCL signal.C_B – Total capacitance of one bus line in pF.I_{CCA} – SCL clocking at max frequency = 100kHz.V_{PF} measured at V_{BAT} = 3.0V.

TIMING DIAGRAM Figure 8

DS1307 64 X 8 SERIAL REAL-TIME CLOCK
8-PIN DIP MECHANICAL DIMENSIONS

PKG	8-PIN		
	DIM	MIN	MAX
A IN. MM	0.360 9.14	0.400 10.16	
B IN. MM	0.240 6.10	0.260 6.60	
C IN. MM	0.120 3.05	0.140 3.56	
D IN. MM	0.300 7.62	0.325 8.26	
E IN. MM	0.015 0.38	0.040 1.02	
F IN. MM	0.120 3.04	0.140 3.56	
G IN. MM	0.090 2.29	0.110 2.79	
H IN. MM	0.320 8.13	0.370 9.40	
J IN. MM	0.008 0.20	0.012 0.30	
K IN. MM	0.015 0.38	0.021 0.53	

**DS1307Z 64 X 8 SERIAL REAL-TIME CLOCK
3-PIN SOIC (150-MIL) MECHANICAL DIMENSIONS**

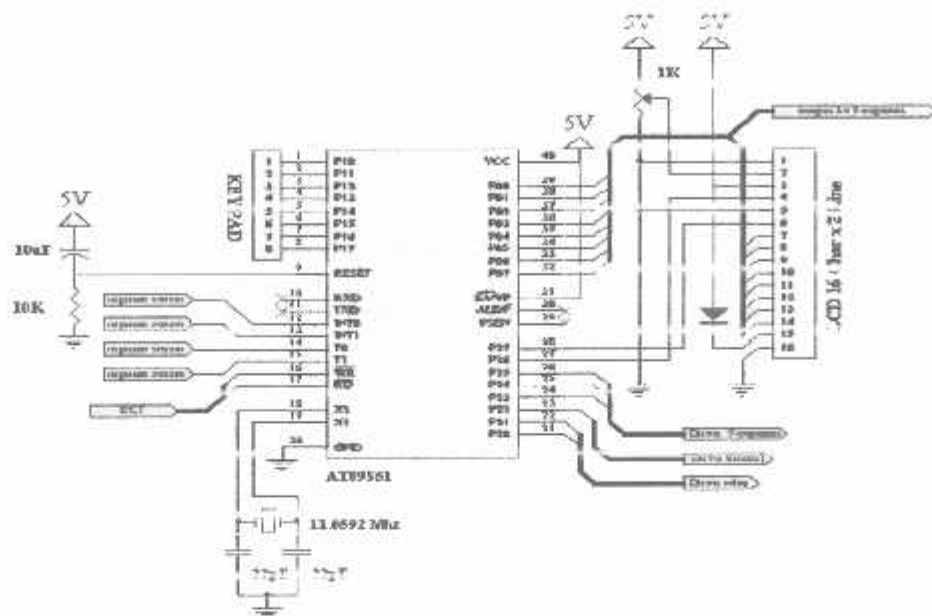


PKG	8-PIN (150 MIL.)		
	DIM	MIN	MAX
A IN. MM	0.188 4.78	0.196 4.98	
B IN. MM	0.150 3.81	0.158 4.01	
C IN. MM	0.048 1.22	0.062 1.57	
E IN. MM	0.004 0.10	0.010 0.25	
F IN. MM	0.053 1.35	0.069 1.75	
G IN. MM	0.050 BSC 1.27 BSC		
H IN. MM	0.230 5.84	0.244 6.20	
J IN. MM	0.007 0.18	0.011 0.28	
K IN. MM	0.012 0.30	0.020 0.51	
L IN. MM	0.016 0.41	0.050 1.27	
phi	0° 8°		

56-G2008-001







Gambar 3 – 7Rangkaian Minimum System AT89S51

3.2.3 Tampilan 7-segment

Tampilan 7-segment pada alat ini berfungsi untuk menampilkan jumlah orang yang berada dalam ruangan perkuliahan, mikrokontroler akan mengerimkan output berupa tegangan pada 7-segment, yaitu kondisi high dan low . Jenis 7-segment yang dipakai pada project ini adalah 7-segment common anod, dimana bagian anoda dihubungkan menjadi satu (common) dengan vcc 5volt. Untuk menyalakan led pada 7-segment digunakan teknik scanning (bergantian) . pertama port 0.0-0.7digunakan untuk mengirim data karakter yang akan ditampilkan pada 7-segment sedangkan port2 (p2.7, p2.6 dan p2.5) sebagai saklar untuk ke 3 buah 7-segment , untuk mengaktifkan saklar kondisi (on) maka port 2 memberikan logic low.

Terdapat arus yang mengalir kebagian transistor pada waktu *Port 2* memberikan *logic low* dimana $I_b = I_{b(sat)}$. Diketahui dari data sheet transistor 9012 besarnya $I_c = 50 \text{ mA}$, $h_{fe} = 120$, $V_{bc} = 0,7 \text{ Volt}$, sehingga :

$$I_B = \frac{I_C}{hfe}$$

$$I_B = \frac{50 \text{ mA}}{120}$$

Maka R_B adalah :

$$R_B = \frac{V_{CC} - V_{BE}}{I_B} \quad \dots \quad (3.10)$$

$$R_E = \frac{5 - 0.7}{0.416 \text{ mA}}$$

$$= \frac{5 - 0.7}{0.416 \text{ mA}}$$

$$= \frac{4,3}{0,416mA}$$

$$= 10.33\Omega \times 10^3\Omega$$

Jadi dari hasil diatas diperoleh nilai R_B sebesar $10,33 \times 10^3 \Omega$ maka R yang digunakan bernilai $10 K\Omega$.

Penggunaan resistor 330 ohm adalah sebagai pembatas arus pada 7-Segment. Kebutuhan arusnya adalah 15 mA, dengan inputan high 5 volt dari mikro, maka dapat dicari nilai tahanannya dengan cara sebagai berikut :

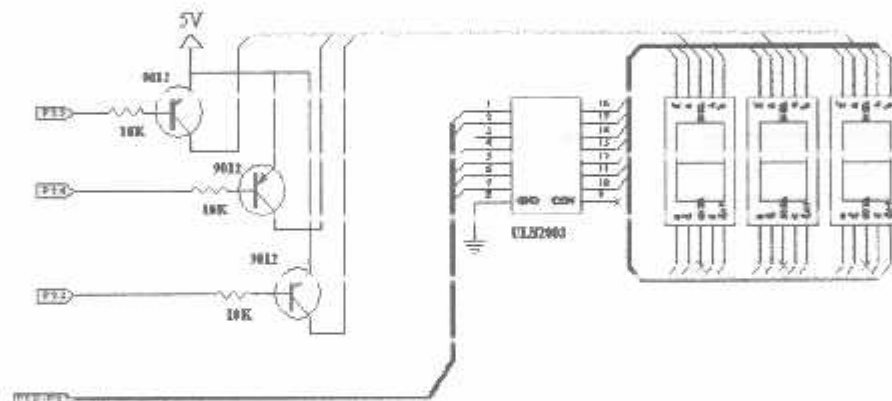
$$V = I^* R \dots \quad (3.11)$$

$$R = \frac{V}{I}$$

$$= \frac{5}{0.015} \\ = 333,33 \Omega$$

Jadi hasil perhitungan diatas diperoleh nilai R_B sebesar $333,33 \Omega$, namun dalam pemakaiannya dipakai $R = 330 \Omega$.

Ada tiga buah tampilan 7-segment saling berjejer, sebelah kanan menunjukkan pendektsian jumlah orang dengan nilai *satuhan*, bagian tengah menampilkan jumlah orang nilai *puluhan*, dan paling kiri menunjukkan jumlah orang dengan nilai *ratusan*. Konfigurasi saklar memakai transistor 9012 dengan rangkaian 7-segment diperlihatkan pada gambar 3-6



Gambar 3-8 rangkaian driver 7-segment

3.2.4. Rangkaian Driver Relay Pengontrol Lampu.

Rangkaian driver relay memberikan responsif berupa arus penyulut pada relay, yang digunakan untuk "ON" dan "OFF" lampu dalam ruangan pamcran. Bahwa rangkaian driver relay bekerja berdasarkan perintah dari Port 2.1.

Diketahui dari data sheet transistor 9012 besarnya $I_C = 50 \text{ mA}$, $h_{FE} = 120$, $V_{BE} = 0,7 \text{ Volt}$, sehingga :

$$I_B = \frac{I_C}{hfe}$$

$$I_B = \frac{50 \text{ mA}}{120}$$

Maka R_B adalah :

$$R_B = \frac{V_{CC} - V_{BE}}{I_B} \dots \dots \dots (3.13)$$

$$R_B = \frac{5 - 0.7}{0.416 \text{ mA}}$$

$$= \frac{5 - 0,7}{0,416 \text{ mA}}$$

$$= \frac{4,3}{0,416mA}$$

$$= 10.33\Omega \times 10^3\Omega$$

Jadi dari hasil perhitungan diatas diperoleh nilai sebesar $10,33 \Omega$ atau disederhanakan menjadi $10 K\Omega$.

Sedangkan dari data sheet transistri 9013 besarnya $I_C = 500 \text{ mA}$, $h_{FE} = 125$, dan $\beta = 0,7$, sehingga:

$$I_B = \frac{I_C}{nfe} \quad \dots \dots \dots \quad (3.13)$$

$$I_B = \frac{I_C}{hfc}$$

$$I_B = \frac{50\text{ mA}}{125} = 4\text{ mA}$$

Maka R_B adalah :

$$R_B = \frac{V_{CC} - V_{BE}}{I_B}, \quad \dots \dots \dots \quad (3.14)$$

$$R_B = \frac{5 - 0.7}{0.416 \text{ mA}}$$

$$= \frac{4,3}{4}$$

= 1,075

$$= 1k\Omega$$

Jadi dari hasil perhitungan diatas diperoleh nilai sebesar $1,075 \Omega$ atau disederhanakan menjadi $1 \text{ K}\Omega$.

Relay yang digunakan adalah relay DC 5 ampere yang berguna untuk menghidupkan atau mengontakkan pada beban .

Diketahui :

Sesuai data sheet tahanan dimiliki relay sebesar $XL = 165\Omega$

-12 Volt

$$= 165 \Omega$$

$$I_C = \frac{V_{CC} - V_{REon}}{R_C} \quad \dots \dots \dots \quad (3.15)$$

$$= \frac{12 - 0.2}{R165c}$$

= 71.5 mA

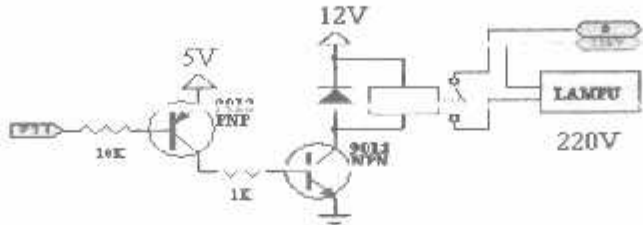
Jadi arus beban terdapat pada relay sebesar 71,5 mA

Penggunaan dioda IN4001 dipasang secara paralel dengan relay berfungsi untuk menghubungkan singkat tegangan GGL(gaya gerak listrik) yang timbul pada kumparan Relay. Karena Relay mempunyai polaritas yang berlawanan dengan catu tegangan menghindari kemungkinan arus yang tidak diinginkan ke transistor

(*feedback*)

Driver relay ini menggunakan Transistor 9012 dan transistor 9013.

Rangkaiannya seperti pada Gambar 3-7 dibawah ini :



Gambar 3.9
Rangkaian Driver Relay

3.2.5. Driver Buzzer

Rangkaian driver relay memberikan responsive berupa arus penyulut pada relay, yang digunakan untuk “ON” dan “OFF” lampu dalam ruangan pameran. Bawa rangkaian driver relay bekerja berdasarkan perintah dari Port 2.1.

Diketahui dari data sheet transistor 9012 besarnya $I_c = 50 \text{ mA}$, $h_{fe} = 120$,

$V_{BL} = 0,7$ Volt, sehingga :

$$I_B = \frac{t_C}{hf\epsilon}$$

$$I_B = \frac{50 \text{ mA}}{120}$$

Maka R_{13} adalah :

$$R_B = \frac{V_{CC} - V_{BE}}{I_B} \quad \dots \dots \dots \quad (3.17)$$

$$R_B = \frac{5 - 0,7}{0,416 \text{ mA}}$$

$$= \frac{5 - 0.7}{0.416 \text{ mA}}$$

$$= \frac{4,3}{0,416mA}$$

$$= 10,33\Omega \times 10^3\Omega$$

Jadi dari hasil perhitungan diatas diperoleh nilai sebesar $10,33\Omega$ atau disederhanakan menjadi $10\text{ K}\Omega$.

Sedangkan dari data sheet transisti 9013 besarnya = 500 mA, hfe -125, =

0,7, sehingga:

$$J_B = \frac{j_c}{hf_B} \quad \dots \dots \dots \quad (3.18)$$

$$I_B = \frac{I_C}{hfe}$$

$$I_R = \frac{50\text{ mA}}{125} = 4\text{ mA}$$

Maka R_B adalah :

$$R_B = \frac{V_{CC} - V_{BE}}{I_B}, \quad \dots \dots \dots \quad (3.19)$$

$$R_B = \frac{5 - 0.7}{0.416 \text{ mA}}$$

$$= \frac{4.3}{4}$$

= 1,075

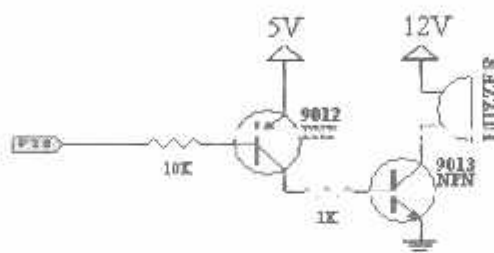
$= 1k\Omega$

Jadi dari hasil perhitungan diatas diperoleh nilai sebesar $1,075 \Omega$ atau disederhanakan menjadi $1 \text{ K}\Omega$.

Penggunaan dioda IN4001 dipasang secara paralel dengan relay berfungsi untuk menghubungkan singkat tegangan GGI (gaya gerak listrik) yang timbul pada kumparan Relay. Karena Relay mempunyai polaritas yang berlawanan dengan catu tegangan menghindari kemungkinan arus yang tidak diinginkan ke transistor

(feedback)

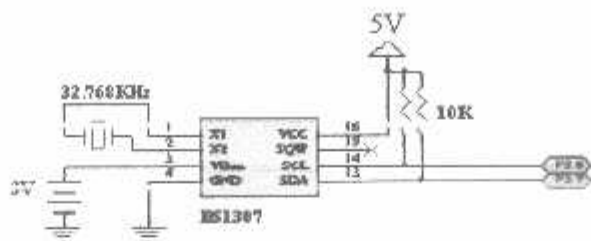
Driver ini menggunakan transistor 9012 dan transistor 9013. Rangkaian seperti ditunjukkan pada gambar di bawah ini :



Gambar 3.10
Rangkaian Driver Buzzer

3.2.6. Real Time Clock (RTC)

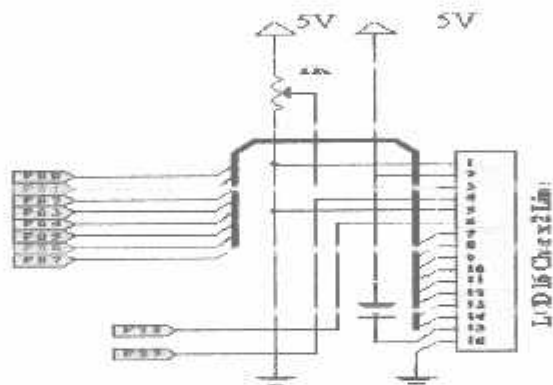
RTC merupakan suatu chip (IC) yang memiliki fungsi sebagai penyimpan waktu dan tanggal. IC RTC yaitu DS1307 yang memiliki register yg dapat menyimpan data detik, menit, jam, tanggal, bulan dan tahun. sirkuit terpadu yang berfungsi sebagai pemelihara waktu.



Gambar 3.11
Rangkaian Driver Relay

3.2.7. Rangkaian LCD

LCD berfungsi untuk menampilkan data yang diinginkan dalam system ini digunakan untuk menampilkan jam pembelajaran .



Gambar 3.12
Rangkaian LCD

3.2.8. Rangkaian Catu Daya

Untuk tegangan 12 volt, outputan dari trafo yang masih berupa AC di searahkan memakai dioda silikon IN4001 dan difilter dengan kapasitor $100\mu\text{A}/16\text{V}$. Untuk menghitung besar tegangan dipakai rumusan :

Diketahui :

$V_{max} = 12$ volt

$$F = 50 \text{ Hz}$$

C = 100µA/16 Volt

I_{dc} = 5 μA; sesuai data sheet IN4001

Maka nilai dari V_{dc} adalah ik

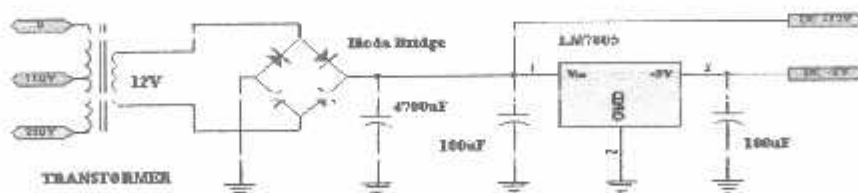
$$Vdc = 12 - \frac{5 \cdot 10^{-6}}{4.50.100 \cdot 10^{-6}}$$

$$= 12 - 0.0025$$

= 11.9975 Volt

Pada tegangan 5 volt dipakai IC *Regulator LM 7805* untuk menurunkan tegangan dari supply 12 volt DC karena karakteristik dari IC *Regulator LM7805* outputan selalu tetap atau linie. Outputan dari IC regulator difilte lagi sama kapasitor 100 μ A/16V agar tegangan makin linier.

Rangkaian catu daya digunakan trafo step down sebagai penyuplai kebutuhan tegangan dari tiap rangkaian yaitu 12 V dan 5 Volt.

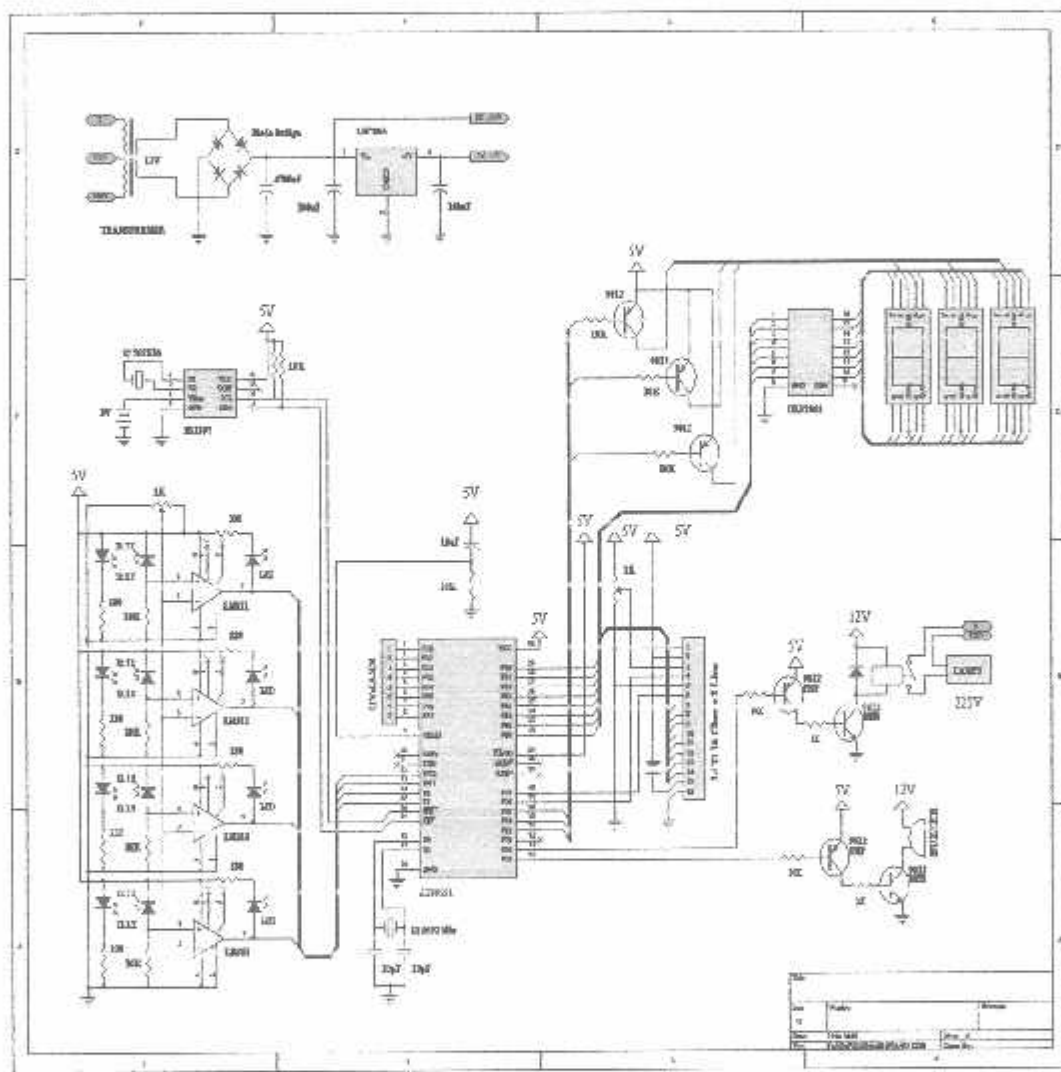


Gambar 3 – 13 Skema Rangkaian catu Daya

Trafo yang digunakan kapasitas 1 ampere karena I_{total} keseluruhan rangkaian :

- I Sensor cahaya saat aktif = $5\mu A * 4 = 20 \mu A$
- I rangkaian seven segment = 15 mA
- I relay = 71,5mA
- I LCD= 80 mA

Jadi total arus keseluruhan : $20 \mu A + 15 \text{ mA} + 71,5\text{mA} + 80\text{mA} = 166,7 \text{ mA}$



Gambar 3 – 14 Skema Rangkaian Keseluruhan

3.2.9. Prinsip Kerja Rangkaian Keseluruhan

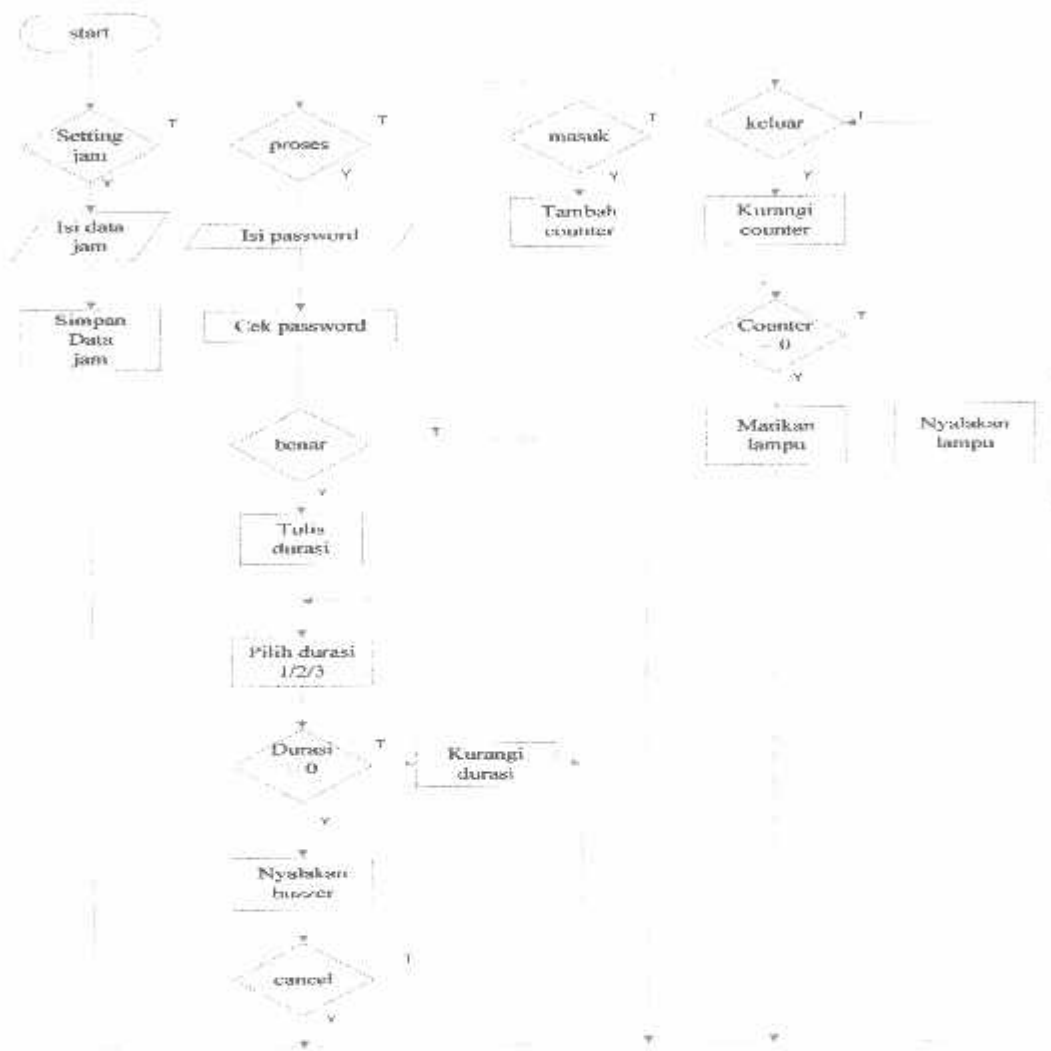
1. Alat ini bekerja menambah atau mengurangi jumlah orang dalam ruangan perkuliahan dan bila sensor cahaya yang diletakkan di pintu mendekripsi inputan dan penekananan keypad untuk pengaturan jam pengajaran.
2. Cara kerjanya ketika sensor 1 memberikan logic 1 ke mikro keadaannya masih mengambang 1 (float) jadi untuk mengkoneksikan atau pendekripsi itu bekerja harus diaktifkan oleh sensor 2 yang juga harus berlogic 1 kemudian mikro mengolah dengan *Counter Up* (menambah) dan seven segment menampilkan pengkondisian ini. Sedangkan proses pengurangan dimana prinsipnya kebalikan dari proses penambahan jadi sensor 2 memberikan logic 1 ke mikro dan sensor 1 juga memberikan logic 1 maka mikro Counter Down (mengurangi) dan seven segment menampilkan pengkondisian ini.
3. Seven segment (*Common Anoda*) akan menampilkan jumlah orang yang terdeteksi. Port 0.0 – 0.7 memberikan data yang berlogic 0 ke 7 –*Segment* untuk menampilkan angka karena common anoda jadi untuk menghidupkan Led pada 7-*Segment* harus didrive tegangan 5 volt melalui pensaklaran elektrik transistor 9012 bertipe PNP yang diolah atau diatur keluarannya oleh *Port 2.5 Port 2.4 dan Port 2.3*.
4. Pada driver buzzer keluaran dari RTC yang disampaikan pada mikrokontroler prinsip kerja rangkaian keluaran dari Port 2.1 berlogic *low* guna mendrive transistor 9012, lalu arus mengalir ke bagian basis transistor 9013 guna pensaklaran elektrik. Maka tegangan suplay 12 volt

bisa mengalir ke buzzer yang menghasilkan bunyi sebagai pertanda bell pengajara sudah habis.

5. Untuk driver relay sebagai pengontrol lampu ruangan prinsip kerja rangkaian inputan dari Port 2.2 berlogic *low* guna mendrive transistor 9012, lalu arus mengalir ke bagian basis transistor 9013 guna pensaklaran elektrik. Maka tegangan suplay 12 volt bisa mengalir kebagian seloid relay yang menghasilkan elektromagnetik lalu mengaktifkan saklar dan lampu pun menyala.
6. Konsisi lampu menyala ketika ada orang di dalam ruangan bila ada orang relay aktif menyalakan lampu sedangkan saat tidak terdapat orang diruangan maka relay no aktif jadi lampu tidak menyala / (padam).
7. Sensor ditempatkan saling berpasangan dengan posisi dipintu masuk dan pintu keluar, jarak antara kedua sensor tersebut sekitar 5-6 cm agar kinerja sensor lebih efektif.

3.2.10. Flow Chart Alat Pengontrol Lampu , Bell Dengan Absensi Otomatis

Untuk memudahkan dalam perencanaan program mikrokontroller AT89S51 dapat dilihat dalam flow chart perencanaan dan pembuatan pengontrol lampu , bell dengan absensi secara otomatis.



Gambar 3.9 Flow Chart

BAB IV

PENGUJIAN DAN ANALISA ALAT

4.1 Pengujian Alat Per Blok Rangkaian

Dalam implementasi alat ‘*Otomatisasi Lampu dan Bell dengan Pendekripsi Orang Dalam Ruangan Perkuliahuan Berbasis AT89S51 Dengan Tampilan Seven Segment*’ akan menguji setiap sinyal masukan dan sinyal keluaran dari tiap-tiap blok rangkaian diuji satu – persatu. Pengujian dilakukan tiap blok rangkaian meliputi :

1. Photodioda
2. Mikrokontroler AT89S51
3. Tampilan 7-Segment.
4. Relay
5. Catu daya

4.2 Pengujian photodioda (sensor cahaya)

4.2.1 Tujuan

Untuk mengetahui berapa tegangan saat kondisi photodioda tidak terkena cahaya dan terkena cahaya.

4.2.2 Peralatan Yang Digunakan

1. Rangkaian sensor cahaya (photodioda dan LM311)
2. Avometer digital
3. Catu daya sebesar + 5 Volt

4.2.3 Langkah Pengujian

Pengujian dilakukan dengan cara mengukur tegangan output Photodioda, yaitu :

- Port 3.2 terhadap ground untuk photodioda yang pertama.
- Port 3.3 terhadap ground untuk photodioda yang kedua.



Gambar 4 – 1 Foto Pengukuran Tegangan saat Photodioda

Tidak terkena cahaya laser



Gambar 4 –2 Pengukuran Tegangan saat Photodioda

terkena cahaya laser

4.2.4 Hasil pengukuran rangkaian sensor:

Dengan menggunakan Vreferensi atau V2 sebesar 0,1 V, didapatkan hasil pengujian Rangkaian Sensor Cahaya sebagai berikut :

Tabel 4-1 Hasil Pengujian sensor cahaya

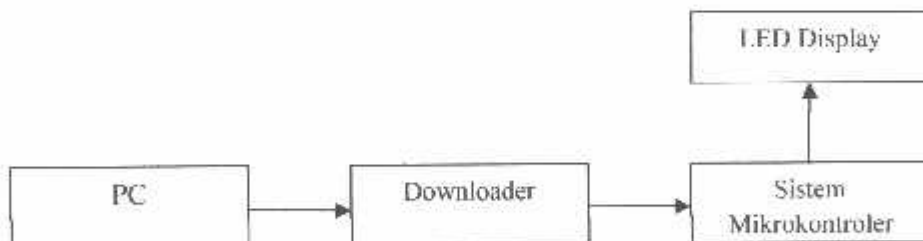
Perhitungan pengukuran				kondisi
sensor	Vin	Vref	Vout	
0,107	0,03	1,35	0,16	Terhalang
2,619	2,92	1,35	4,96	Tidak Terhalang

4.3. Pengujian Mikrokontroler AT89S51

4.3.1 Tujuan

Untuk mengetahui kondisi awal dari Mikrokontrolere apakah sudah sesuai yang direncanakan.

4.3.2 Prosedur Pengujian



Gambar 4-3. Diagram Blok Pengujian Mikrokontroler

1. Rangkaian dibuat seperti gambar 4 – 5

2. Memberikan catu daya 5 volt.
3. Membuat program yang akan digunakan dalam pengujian mikrokontroler.

Program yang akan digunakan dalam pengujian mikrokontroler ini merupakan program yang sederhana yang meletakkan 0FFH dan F0H pada Accumulator secara bergantian kemudian membandingkannya pada Port 1 AT8951. Program yang dibuat adalah sebagai berikut :

ORG 00H

JMP START

START: MOV A, #0FH

MOV P0,A

CALL TUNDA

MOV A, #0F0H

MOV P0, A

JMP START

TUNDA: MOV R1,#0FFH

TUNDA1: MOV R2, #0FFH

DJNZ R2,\$

DJNZ R1, TUNDA 1

RET

END

4. Download Program diatas
5. Mengamati keluaran pada LED Display.

4.3.3 Hasil Pengujian

Tabel 4-2. Hasil Pengujian Sistem Mikrokontroler

Kondisi	Keluaran pada LED Display							
	P0.7	P0.6	P0.5	P0.4	P0.3	P0.2	P0.1	P0.0
0F ₁₆	1	1	1	1	0	0	0	0
OF ₁₆	0	0	0	0	1	1	1	1

4.3.4. Analisis Hasil Pengujian

Dari hasil pengujian dalam tabel 4-2 dapat dilihat bahwa mikro memberikan outputan logika 0F₁₆ dan +0₁₆ secara bergantian sesuai dengan isi program.

4.4. Pengujian Tampilan Seven Segment

4.4.1. Tujuan

Untuk memperoleh tabel kebenaran pada rangkaian tampilan 7-Segment.

4.4.2. Peralatan

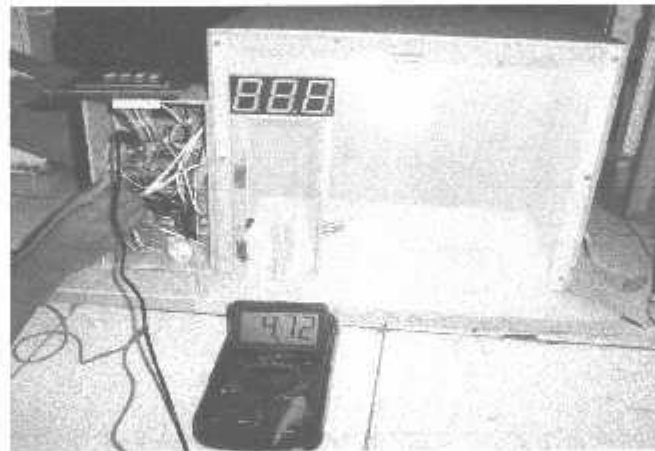
1. Rangkaian Seven segment
2. Catu Daya 5 Volt.
3. Digital Multimeter.

4.4.3. Langkah Pengujian

1. Menghubungkan Rangkaian Seven segment dengan Catu Daya 5 Volt.
2. Berikan logic data pada Port 0.0 – 0.7 secara bergantian.
3. Mengukur nilai tegangan saat kondisi high dan low
4. Mencatat hasil tegangan dan data outputan dari seven segment



Gambar 4-4 Foto arus basis pada transistor 9012.



Gambar 4-5 Foto Tegangan 7-segment waktu menyala.

4.4.4. Hasil Pengukuran

Tabel 4-3 Perbandingan hasil pengukuran dan perhitungan driver transistor.

Keterangan	Perhitungan	Pengukuran	Error (%)	Keterangan
Arus (Ib) 9012 (mA)	0,416	0,45	7,5	Transistor
Tegangan 7-segment(V)	5	4,72	5,93	aktif

Dengan menggunakan perhitungan,

$$Selisih = \frac{|V_{outSensorPerhitungan} - V_{outSensorPengukuran}|}{V_{outSensorPengukuran}}$$

$$Error \% = \frac{Selisih}{V_{outSensorPengukuran}}$$

4.4.5. Analisa Pengukuran

Pengujian tampilan 7-segment dilakukan dengan memberikan sinyal ‘low’ atau 0 Volt ke Port 0 (sebagai data karakter) dan Port 2 (sebagai saklar), karena menggunakan teknik scanning (bergantian) agar ada arus yang mengalir dari Vcc ke CA maka Port 2 diberi sinyal ‘low’ atau 0 volt sehingga transistor menjadi ON (kondisi jenuh) dan mengalirkan Vcc ke CA. Data tampilan 7-segment dikirimkan melalui Port 0, karena konfigurasi 7-segment CA(*common Anoda*) maka untuk menyalakan LED 7-segment harus diberi logic ‘low’. Hasil pengujian tampilan 7-segment diperlihatkan pada tabel 4-4.

Table 4-4 Hasil Pengujian Tampilan 7-segment

Tampilan angka	H	G	F	E	D	C	B	A	Heksa
0	1	0	0	0	0	0	0	1	081
1	1	0	1	1	1	0	1	1	0BB
2	1	1	0	0	0	0	1	0	0C2
3	1	0	0	1	0	0	1	0	092
4	1	0	1	1	1	0	0	0	0B8
5	1	0	0	1	0	1	0	0	094
6	1	0	0	0	0	1	0	0	084
7	1	0	1	1	0	0	1	1	0B3
8	1	0	0	0	0	0	0	0	080
9	1	0	0	1	0	0	0	0	090

4.5 Pengujian Relay sebagai pengontrol lampu.

4.5.1 Tujuan

Untuk mengetahui berapa tegangan dan arus kerja untuk mendriver relay sebagai pengontrol lampu ruangan.

4.5.2 Peralatan

1. Rangkaian Driver Relay.
2. Catu Daya 5 Volt dan 12 Volt
3. Digital Multimeter

4.5.3 Langkah Pengujian

1. Menghubungkan Rangkaian driver relay dengan Catu Daya 5 Volt
2. Dan catu daya 12 volt ke kontak relay
3. Mengukur nilai tegangan pada port 2.0, bagian driver (Transistor) dan Relay
4. Mencatat hasil pengukuran.



Gambar 4-6 Foto pengukuran Arus basis (Ib) pada Transistor 9012.



Gambar 4-7 Foto Arus basis (Ib) pada Transistor 9013.



Gambar 4-8 Foto Tegangan Relay saat aktif

4.5.4 Hasil Pengukuran

Tabel 4-5. Perbandingan Nilai Arus Dan Tegangan Pada Transistor Relay

Keterangan	Arus(Ib) Tr.9012 (mA)	Arus(Ib) Tr.9013 (mA)	Tegangan Relay (V)	Penjelasan
Perhitungan	0,416	1,67	12	
Pengukuran	0,45	1,46	11,83	Relay Aktif
Error (%)	7,5	14,3	1,4	

4.5.5 Analisa pengujian

Pengujian dilakukan dengan cara memberikan sinyal ‘low’ atau 0 volt pada Port 2.0, tujuannya adalah untuk menguji apakah transistor sebagai saklar untuk mengaktifkan relay dan sebaliknya apabila diberikan sinyal ‘high’ atau + 5 Volt., transistor tidak bekerja maka relay non aktif, pengujian tersebut dilakukan pada IC AT89S51 belum terpasang.

4.6 Pengujian Buzzer

4.6.1 Tujuan

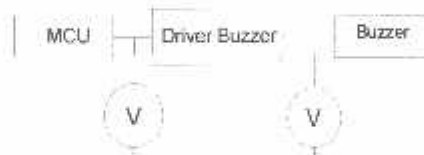
Pada pengujian driver buzzer ini bertujuan untuk mengetahui buzzer dapat bekerja sesuai dengan perintah atau tidak.

4.6.2 Peralatan

1. Rangkain driver buzzer.
2. 2 buah Voltmeter.
3. Catu daya 5V.

4.6.3 Prosedur Pengujian

- Merangkai pengujian pengukuran seperti pada gambar dibawah ini

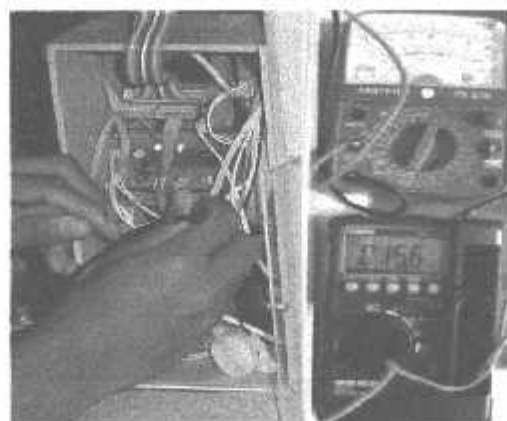


Gambar 4.9
Diagram Blok Penguji Driver Buzzer

4.6.4 Hasil pengujian rangkain busser

Tabel 4.6
Pengujian Rangkain Busser

Logic	V Logic	V Driver	V Busser	Ket
0	00,11	15,6	01,62	ON
1	04,92	13,21	13,32	OFF



Gambar 4.10
Pengujian driver Buzzer

4.6 Penguji Rangkaian LCD

Untuk mengetahui LCD dapat berfungsi dengan baik maka diperlukan pengujian .Pada pengujian ini MCU ini di program untuk mengontrol LCD agar dapat menampilkan karakter jam. Awal dari proses waktu pengajaran ketik untuk memulainya pemilihan waktu pengajaran menurut nomer induk pengajar sebagai password pengajaran dan juga proses pemilihan jam pengajaran berlangsung yaitu 1sks/2sks/3sks untuk LCD sebagai indikator waktu saat pengajaran berlangsung.



Gambar 4.11
Pengujian LCD

4.7 Pengujian Catu Daya

4.7.1 Tujuan

Untuk mengetahui berapa tegangan outputan pada supplay regulator.

4.7.2 Peralatan

- Rangkaian catu daya
- Digital Multimeter
- Tegangan AC 220 Volt

4.7.3 Langkah Pengujian

- Untuk tegangan 12 Volt ukur nilai tegangan outputan setelah melalui kapasitor.
- Pada tegangan 5 volt maka ukur nilai tegangannya setelah melalui IC LM7805 dan kapasitor.

Sesuai dengan rangkaian dibawah ini, pengukuran tegangan regulator:



Gambar 4 – 12 Pengukuran Tegangan regulator



Gambar 4 – 13Foto arus total rangkaian

4.7.4 Pengukuran

Tabel 4 – 7 Perbandingan hasil perhitungan dan hasil pengukuran pada catudaya

Keterangan	Tegangan (12V)	Tegangan (5V)	Arus total (mA)	daya (mW)	Penjelasan
Perhitungan	11,99	5	166,73		
Pengukuran	12	5	162,78	833,65	Alat aktif
Error (%)	0,83	0	4,74		

4.7.5 Analisa Pengujian

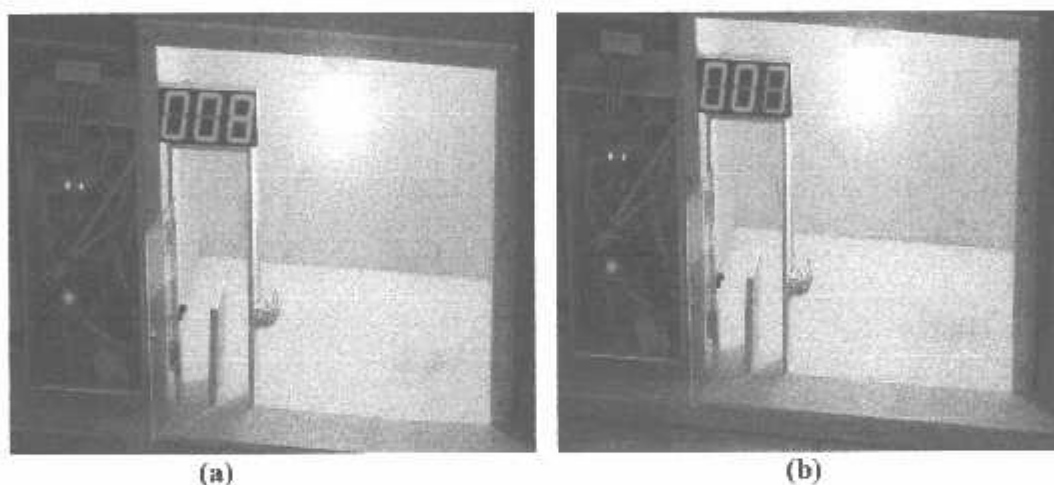
Pengujian pada tegangan 12 volt hasilnya adalah 12 volt jadi outputan tegangan sesuai dengan apa yang diinginkan. Untuk tegangan 5 volt mengukur keluaran tegangan pada kaki output IC LM7805 (Voltage Regulator) dengan menggunakan multimeter digital hasil pengukuran tersebut menunjukkan bahwa keluaran tegangan adalah 5 Volt DC dari hasil pengukuran tersebut dapat diambil kesimpulan bahwa rangkaian catu daya sudah memiliki keluaran tegangan sesuai yang dibutuhkan dan diharapkan.

4.8 Pengujian Alat Secara Keseluruhan

Untuk pengujian Rangkaian secara keseluruhan, pertama IC AT89S51 dipasang pada rangkaian, terus kesemua sistem diberi supply tegangan. Kondisi keadaan belum ada orang didalam ruangan tampilan 7-Segment menunjukkan menunjukkan angka “ 000 ”, diartikan belum ada orang yang masuk di ruangan pameran. Ketika sensor cahaya terhalang adanya orang masuk maka relay aktif menyalaakan lampu dan tampilan 7-segment menunjukkan digit angka sesuai jumlah orang yang masuk dalam ruangan pameran. Selanjutnya jumlah orang masuk maupun keluar akan tercatat di 7-semen, saat tidak ada orang maka relay akan memutuskan arus pada lampu sehingga lampu off selanjutnya 7-segment menunjukkan posisi awal “ 000 ”. Sesuai dengan pengujian bahwa alat ini mengalami *counter error* (hasilnya bisa mendeteksi counter up atau *counter down*) ketika terdeteksi orang terdeteksi orang disensor masuk dan sensor keluar secara bersamaan. Hasil pengujian alat secara keseluruhan diperlihatkan pada Tabel 4 – 8.

Tabel 4-8. Hasil Pengujian Alat Secara Keseluruhan

Orang masuk	Orang keluar	Tampilan 7-segment	Relay	Kondisi
-	-	0	Tidak aktif	Padam
1	-	1	Aktif	Nyala
3	-	4	Aktif	Nyala
4	-	8	Aktif	Nyala
-	2	6	Aktif	Nyala
-	3	3	Aktif	Nyala
-	3	0	Tidak aktif	Padam

**Gambar 4-15 a.** Kondisi alat saat Counter Up**Gambar 4-15 b.** Kondisi alat saat Counter Down

Dari hasil pengujian alat secara keseluruhan tersebut maka dapat diambil kesimpulan bahwa alat sistem pengontrol lampu , bell dan pendekksi orang dalam

ruangan perkuliahan berbasis AT89S51 bekerja sesuai dengan apa yang direncanakan dari perhitungan dan pengukuran.

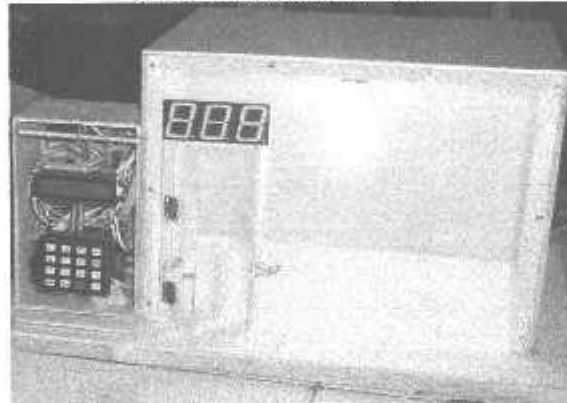
4.9 Spesifikasi Alat

Spesifikasi alat pengontrol lampu , bell dan pendetksi orang dalam ruangan perkuliahan berbasis AT89S51 dengan tampil Seven segment yaitu

Gmbr . Alat saat tidak aktif/ "off" Gmbr . Alat saat stanby



Gmbr . Alat saat aktif/ "ON"



Gambar 4-16 Kondisi Alat Saat Aktif dan Non Aktif

- Dimensi Alat : - panjang = 34,5 cm
 - Lebar = 25 cm
 - Tinggi = 21 cm

- Tegangan keseluruhan sistem = 5 volt dan 12 volt
- Daya keseluruhan sistem = 833,65 mW
- Sensor pendeksi meliputi komponen photodioda dan IC LM311
- Minimum sistem menggunakan AT89S51
- Driver relay dan seven segment digunakan transistor 9012 jenis PNP dan transistor 9013 jenis NPN.
- Seven segment (common anoda) dan relay SPDT kapasitas 5A/240 V
- Real Time Clock (RTC) memakai IC DS1307
- Catu daya menggunakan IC LM 7805.

BAB V

PENUTUP

5.1. Kesimpulan

Selama dalam perencanaan dan pengujian dari keseluruhan sistem yang telah di buat maka dapat ditarik beberapa kesimpulan antara lain :

1. Kepekaan sensor cahaya tergantung dari presisi laser mengenai permukaan photodioda namun harus mengatur resistor variabelnya pada kaki 3 IC *LM311* agar V_2 bernilai sama dengan V_1 waktu photodioda terhalang yaitu 0,1 Volt.
2. 7-segment (*Common Anoda*) akan menampilkan jumlah orang yang terdeteksi, dengan menerima data mikro sebanyak 7 bit ke seven segment karena common anoda jadi untuk menghidupkan harus didrive tegangan 5 volt yang diolah atau diatur keluarannya oleh transistor 9012 bertipe PNP.
3. Untuk driver relay sebagai pengontrol lampu prinsip kerja rangkaianya, inputan dari mikro berlogic low mendrive transistor 9012 dengan arus basis sebesar ($I_B = 0,416 \text{ mA}$), maka tegangan $V_{ce}=4,33$ Volt kemudian tegangan mengalir ke bagian basis transistor 9013. Supaya transistor bekerja switching harus dipenuhi arus basis ($I_B = 1,67 \text{ mA}$) jadi tegangan supply 12 volt bisa mengalir kebagian seloidrelay yang menghasilkan elektromagnetik lalu mengaktifkan saklar dan lampu ON.
4. Total arus keseluruhan rangkaian dari alat ini adalah 166,73 mA dengan berpatokan jumlah total arus maka kami gunakan Transformator pencatudaya kapasitas 1 Ampere.

5. Sesuai dengan program bahwa alat ini pada sistem sensor cahaya terdiri dari dua sensor dimana satu dipintu masuk dan satu lagi pintu keluar, rangkaian sensor bekerja apabila cahaya sensor dipintu masuk terhalang orang dan kemudian sensor dipintu keluar terhalang juga maka sensor akan memberikan inputan yang terhalang berlogika high namun keadaannya masih (float) mengambang untuk sensor dipintu keluar kebalikan dari sensor pada saat masuk, sensor dipintu keluar digunakan program *counter down* proses pengolahan pengurangan jumlah orang. Akan tetapi saat dalam pengujian kedua sensor terhalang bersamaan nilai 7-segment mengalami *counter down*.

5.2. Saran – saran

Alat ini merupakan rangkaian sederhana yang berdasarkan hasil karya ilmiah dan dikembangkan berdasarkan pengetahuan yang diajarkan aktu perkuliahan , karya ini memberikan saran supaya nantinya bisa dibuat lebih inovatif, kreatif dan meningkat lagi. Sehingga perkembangan teknologi listrik dan elektronika saling berpadu dengan baik dan pesat di Indonesia, khususnya di Institut Teknologi Nasional Malang.

Mungkin untuk kedepannya alat ini bisa dirancang lebih canggih lagi, seperti :

1. Dipasangkan pengaturan intensitas cahaya lampu saat gelap dan terang menurut keadaan dalam ruangan.
2. Dirancangkan sebuah absensi sidik jari untuk kehadiran dosen dan mahasiswa yang ada dalam ruangan perkuliahan.

3. Dipakai kamera otomatis yang diletakkan dipintu masuk agar yang masuk ruangan lebih spesifikasi atau pendektsian ruangan dikhususkan untuk monitoring mahasiswa serta pengajarnya yang dalam ruangan perkuliahan dan sekitarnya .
4. Penambahan *sensor gerak* yang dihubungkan dengan pintu masuk jadi saat sensor mendeteksi gerakan dipintu masuk akan membuka pintu secara otomatis dan saat akan keluar maka pintu tutup menutup dengan sendiri..

DAFTAR PUSTAKA

1. *Richard Blocher, Dasar Elektronika, Yogyakarta, Andi, 2004*
2. Susanto,WK.Seven-segmen, 2007
3. D Sharon, dkk "sensor" ,1982,.
4. A.E Putra, "Memori program untuk AT89S51", 2002
5. Malik, "MCS – 51 Family " , (1997).
6. Charles H. Townes "The first laser"(2003)
7. *Rodwell International Corporation, 1999*
8. Datasheet AT89S51(Anonymous, 1997).
9. Anonymous Sumber : www.atmel.com
10. Anonymous Sumber : <http://www.maxim-ic.com//datasheet//RTC DS 1307>
11. Anonymous Sumber: <http://www.national.com// datasheet//IC lm311>)
12. Anonymous Sumber:<http://www.spectrum cahaya.com//datasheet>
13. Anonymous Sumber: www.delta-elektronik.com//

LAMPIRAN



LEMBAR ASISTENSI BIMBINGAN TUGAS AKHIR

Sesuai permohonan dari mahasiswa :

Nama : Ahmad Fajar Wijaya

Nim : 08.52.002

Program Studi : Teknik Listrik D-III

Judul Tugas Akhir : Otomatisasi Lampu, Bell Dan Pendekripsi Orang
Dalam Ruang Perkuliahan Berbasis Mikrokontroler
AT 89S51

NO	TANGGAL	MATERI	PARAF
1	7/7/2011	Abstrak, Bab. I	Si
2.	14/7/2011	Bab. II	Si
3.	21/7/2011	Bab. III, Bab. IV	Si
4.	28/7/2011	Bab. V, Daftar Pustaka	Si
5	4/8/2011	Lampiran	Si

Malang, 20 Juni 2011

Mengetahui,

Dosen Pembimbing

Ir. Eko Nurcahyo
NIP. V 1028700172



PERSETUJUAN PERBAIKAN TUGAS AKHIR

Dari hasil ujian Tugas Akhir Teknik Listrik Diploma Tiga (D-III) yang diselenggarakan pada:

Hari : Kamis
Tanggal : 18 Agustus 2011

Telah dilakukan perbaikan tugas akhir oleh :

1. Nama : Ahmad Fajar Wijaya
2. NIM : 0852002
3. Program Studi : Teknik Listrik D III
4. Judul Tugas : Otomatisasi Dan Lampu, Bell dengan Pendekripsi Orang Dalam Ruang Perkuliahan Berbasis Mikrokontroler AT 89S51

Perbaikan meliputi :

NO	Materi Perbaikan	Paraf
1	Abstrak Disempurnakan	
2	Kesimpulan Disempurnakan	

Dosen Pembimbing

Ir. Eko Nurcahyo
NIP.Y. 1028400082

Dosen Pengaji I

Bamhang Prio Hartono, ST, MT
NIP.Y. 1028700172



PERSETUJUAN PERBAIKAN TUGAS AKHIR

Dari hasil ujian Tugas Akhir Teknik Listrik Diploma Tiga (D-III) yang diselenggarakan pada:

Hari : Kamis
Tanggal : 18 Agustus 2011

Telah dilakukan perbaikan tugas akhir oleh :

- 1 Nama : Ahmad Fajar Wijaya
2 NIM : 0852002
3 Program Studi : Teknik Listrik D III
4 Judul Tugas : Otomatisasi Dan Lampu, Bell dengan Pendekripsi Orang Dalam Ruang Perkuliahan Berbasis Mikrokontroler AT 89S51

Perbaikan meliputi :

NO	Materi Perbaikan	Paraf
1	Bab III , desain Dilakukan Perencanaan Bukan Hasil Dari Kebiasaan	✓
2	Bab IV , Hasil Dari Pengujian Disesuaikan Dengan Data Riel	✓
3	Kesimpulan	✓

Dosen Pembimbing

Ir. Eko Nurcahyo
NIP.Y. 1028400082

Dosen Penguji 11

Yoseph deddy irawan,ST,MT
NIP. 132315178



INSTITUT TEKNOLOGI NASIONAL
Jl. Bendungan Sigura-gura No. 2
MALANG

LEMBAR PERBAIKAN TUGAS AKHIR

NAMA
NIM
JURUSAN
PROGRAM STUDI
HARI / TANGGAL

Ahmed Fajars Wijaya

• 0652002

TEKNIK ELKTRO D- III

TEKNIK ELEKTRO D- III
ENERGI LISTRIK / ELEKTRONIKA *)

18-8-2011

MATERI PERBAIKAN

HARI / TANGGAL	15 - 6 - 2011
MATERI PERBAIKAN	
NO.	
<ul style="list-style-type: none"> - Abstrak Disempurnakan - Kisi-kisi Disempurnakan 	
 23/8/2011	
Dosen Penguji	

NOSEN PENGUJI



INSTITUT TEKNOLOGI NASIONAL
Jl. Bendungan Sigura-gura No. 2
MALANG

LEMBAR PERBAIKAN TUGAS AKHIR

NAMA
NIM
JURUSAN
PROGRAM STUDI
HARI / TANGGAL

AHMAD FAJAR WIJAYA
08.52.002
TEKNIK ELKTRO D-III
ENERGI LISTRIK / ELEKTRONIKA "

No.	MATERI PERBAIKAN
1	<p>BAB III</p> <p>•) DESAIN DILAKUKAN PENYESUAIAN → BUKAN HASIL DARI KEBUTUHAN</p>
2	<p>BAB IV</p> <p>•) HASIL DARI PENGEMBANGAN → DISERTAI DENGAN DATA RINGKAS</p>
3	<p>LAMPIRAN</p>

DOSEN PENGUJI

eatures

Compatible with MCS-51™ Products

4K Bytes of In-System Programmable (ISP) Flash Memory

- Endurance: 1000 Write/Erase Cycles

4.0V to 5.5V Operating Range

Fully Static Operation: 0 Hz to 33 MHz

Three-level Program Memory Lock

128 x 8-bit Internal RAM

32 Programmable I/O Lines

Two 16-bit Timer/Counters

Six Interrupt Sources

Full Duplex UART Serial Channel

Low-power Idle and Power-down Modes

Interrupt Recovery from Power-down Mode

Watchdog Timer

Dual Data Pointer

Power-off Flag

Fast Programming Time

Flexible ISP Programming (Byte and Page Mode)

escription

The AT89S51 is a low-power, high-performance CMOS 8-bit microcontroller with 4K bytes of in-system programmable Flash memory. The device is manufactured using Atmel's high-density nonvolatile memory technology and is compatible with the industry-standard 80C51 instruction set and pinout. The on-chip Flash allows the program memory to be reprogrammed in-system or by a conventional nonvolatile memory programmer. By combining a versatile 8-bit CPU with in-system programmable Flash on a monolithic chip, the Atmel AT89S51 is a powerful microcontroller which provides a highly-flexible and cost-effective solution to many embedded control applications.

The AT89S51 provides the following standard features: 4K bytes of Flash, 128 bytes of RAM, 32 I/O lines, Watchdog timer, two data pointers, two 16-bit timer/counters, a five-vector two-level interrupt architecture, a full duplex serial port, on-chip oscillator, and clock circuitry. In addition, the AT89S51 is designed with static logic for operation down to zero frequency and supports two software selectable power saving modes. The Idle Mode stops the CPU while allowing the RAM, timer/counters, serial port, and interrupt system to continue functioning. The Power-down mode saves the RAM contents but freezes the oscillator, disabling all other chip functions until the next external interrupt or hardware reset.



8-bit Microcontroller with 4K Bytes In-System Programmable Flash

AT89S51

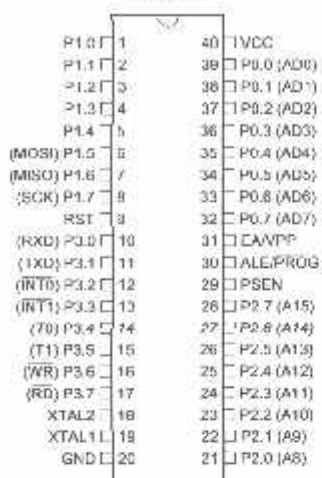
Rev. 2487A-10/01



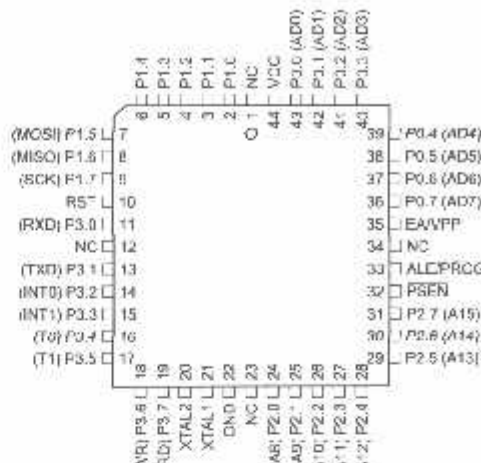


in Configurations

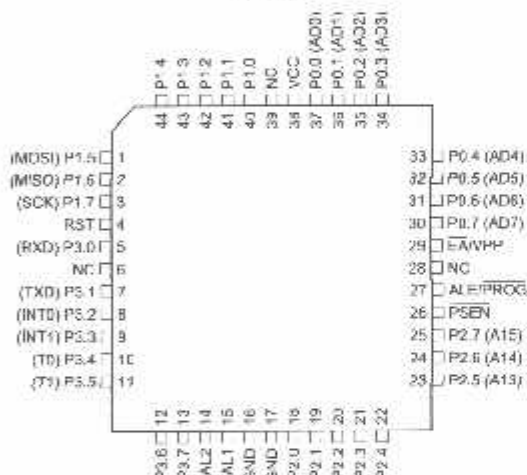
PDIP



PLCC



TQFP



AT89S51

2487A-10/01